الجمهورية الجزائرية الديمقراطية الشعبية République Algérienne Démocratique et Populaire وزارة التعليم العالي والبحث العلمي Ministère de l'Enseignement Supérieur et de la Recherche Scientifique

#### Centre Universitaire AbdelhafidBoussouf -Mila

Institut des Sciences et de Technologie

Département de de génie civil et d'hydraulique



NºRef :.....

# Projet de Fin d'Etude préparéEn vue de l'obtention du diplôme deMASTER

Spécialité : Génie Civil Option : Structure

# Etude d'un bâtiment (R+8) à usage d'habitation

Réalisé par :

- BOULAHDOUR Ismahane

Soutenu devant le jury :

M<sup>r</sup>. LECHEHEB Mostefa

M<sup>r</sup>. BENZAID Mehdi M<sup>r</sup>. BRAHIM Abdelkader Président (Examinateur 1)

Examinateur 2 Promoteur

Année universitaire: 2020/2021

# Remerciement

« La connaissance est la seule chose qui s'accroit lorsqu' on la partage »

En premier lieu, Je tiens en premier à remercier « ALLAH » le tout puissant
de m'avoir donné le courage, lavolonté, l'amour du savoir et surtout la patience
je tien à présente mes vifsremerciements et exprimer mon gratitude à tous ceux
qui ont participés de prés ou de loin à sa réalisation.

J'exprime mes vifs remerciements :

A mon encadreur**Dr. Abdelkader BRAHIM** pour son soutien inconditionnel qui a permis la réalisation de ce travail dans les meilleures conditions.

Nous remercions les membres de jury qui nous font l'honneur de présider et d'examiner ce modeste travail.

Ainsi que tous nos professeurs qui nous ont enseigné durant nos études à la faculté des sciences et technologies à tous les membres de ma famille qui ma

Et enfin je remercier les enseignants du département de génie civil et d'hydraulique

soutenu tout au long de cette étude.

et mes collègues de promotion 2020/2021. Et enfin à tous les membres de ma famille qui ma soutenu tout au long de cette étude.

# Dédicace

Avec l'aide de dieu, j'ai pu réaliser ce modeste travail que je dédie:

A ma fleur de mes espérances, la source de la tendresse à la plus personne, à ma mère, je te dis que tu resteras toujours la plus adorable dans ma vie.

A la mémoire de mon très cher père dont je regrette son absence en ce jour si important pour moi.

A mes chers frères Hicham, Hamza, Abdelmalek, Ayoub, Rida, Salah et leur famme Firouze

A ma belle soeurWardaPour son soutien moral.

A mon fiençé et tous leur familles

A mes amies plus chèresNaziha Lina NouhaAichaManalNadjla et bouchera

A toute personne ayant participé de prés ou de loin à la
réalisation de ce projet.



Ismahane

#### Liste des symboles

A Coefficient d'accélération de zone, Aire d'une section.

**A**<sub>n</sub> Coefficient de minoration

**B** Facteur de comportement de la structure, aire d'une section de béton.

BAEL Béton armé à l'état limite.Br Section réduite du béton.

 $\begin{array}{ll} C & \text{Centre de flexion, Amortissement.} \\ C_d & \text{Coefficient de pression dynamique.} \\ C_{pe} & \text{Coefficient de pression extérieur.} \\ C_{pi} & \text{Coefficient de pression intérieur.} \end{array}$ 

Coefficient de frottement de l'élément de surface « j ».

**D** Facteur d'amplification dynamique moyen.

**D**<sub>i</sub> Facteur d'amplification dynamique.

E Module d'élasticité longitudinale (module de YOUNG).

 $E_{ij}$  Module de déformation instantanée du béton.  $E_{vi}$  Module de déformation différée du béton.

**Es** Module d'élasticité de l'acier.

ELS Etat limite de service.
ELU Etat limite ultime.

e Epaisseur, excentricitéFP Fissuration préjudiciable.FPN Fissuration peu nuisible.

**FTP** Fissuration très préjudiciables.

G Charge permanente, module d'élasticité transversale, Module de cisaillement.

**G**<sub>0</sub> Module initial de cisaillement.

**g** Largeur de la marche.

**H** Hauteur totale du bâtiment.

 $egin{array}{ll} I & & & & & & \\ Moment d'inertie. \\ I_e & & & & & & \\ Inertie équivalente. \\ i & & & & & & \\ Inertie du linteau & & & \\ \end{array}$ 

Inertie des voiles longitudinaux.
 Inertie des voiles transversaux.

 $\mathbf{j}_{\theta}$  Inertie polaire.

**K** Rigidité.

**K**<sub>s</sub> Coefficient du site.

L Portée.

M Moment, masse

M<sub>t</sub> Moment en travée de la poutre considérée.

Map Moment sur appuis.Mu Moment ultime.

N<sub>G</sub> Effort normal développé par les charges permanentes.
 N<sub>O</sub> Effort normal développé par les charges d'exploitation.

N<sub>u</sub> Effort normal ultime.N Nombre de niveaux.

P, W Poids

Q Charge d'exploitation, facteur de qualité.

**Q** Densité de charge répartie.

R Réaction.

**RPA** Règlement parasismique Algérien.

Surface de l'élément considéré, force sismique, moment statique.

St Espacement entre armatures.
 SSI Interaction Sol-Structure
 T Effort tranchant, période.

V Effort tranchant, vitesse, action sismique à la base

**Z** Bras de levier entre les aciers et le béton.

d' Distance du barycentre des aciers comprimés à la fibre extrême la plus

comprimée

**d** Distance du barycentre des aciers tendus à la fibre extrême la plus comprimée.

a Côte du poteau carré.b Largeur de la poutre .

**f**<sub>bu</sub> Contrainte admissible de flambement.

 $\mathbf{f}_{ei}$  Résistance à la compression.

 $\begin{array}{ll} f_{tj} & \text{R\'esistance \`a la traction.} \\ f_e & \text{Limite \'elastique de l'acier.} \\ l_f & \text{Longueur du flambement.} \end{array}$ 

α Coefficient de sécurité ou flambement, angle, coefficient de participation.

γ Poids volumique,

β Coefficient de majoration dynamique.

 $\gamma_b$  Coefficient de sécurité à prendre pour le béton .  $\gamma_s$  Coefficient de sécurité à prendre pour l'acier.

δ Coefficient de dimension, déplacement.
 ε Déformation relative du béton comprimé

ε<sub>b</sub> Déformation relative de l'acier tendu.

η Coefficient de fissuration, Facture de correction d'amortissement critique

fonction du matériau constitutif

λ Coefficient d'élancement.

 $\mu_r$  Moment résistant.  $\sigma$  Contrainte normale.

 $\sigma_{bc}$  Contrainte de compression de béton.  $\overline{\sigma}_{bc}$  Contrainte limite de service du béton

 $\sigma_s$  Contrainte dans l'acier.

 $\overline{\sigma}_s$  Contrainte limite de service de l'acier.

 $\sigma_{s10}$  Contrainte dans l'acier correspondant à un allongement relatif de 10‰.

τ Contrainte de cisaillement.

v Coefficient de poisson.

 $\Phi_1$  Diamètre des armatures longitudinales.

 $\Phi_t$  Diamètre des armatures transversales.

#### **SOMMAIRE**

Introduction Général01
ChapitreI: Présentation de projet et caractéristique des matériaux
I.1 Introduction04
I.2 Présentation de l'ouvrage
I.3 Caractéristiques géométriques du bâtiment07
I.4 Caractéristiques géométriques du sol
I.5 Description de l'ossature
I.6 Règles et hypothèses de calcul
I .6.1 Réglés Parasismique Algérienne (RPA99 version 2003)09
I.6.2 Règlement (BAEL 91)09
I.6.3 Nature des actions
I .6.4 Combinaison d'action
I .7 Caractéristiques mécaniques des matériaux
I .7.1 Béton
I.7.1.1 Principaux caractéristiques et avantages et inconvénient du béton
Armé
I .7.1.2 Dosage du béton
I.7.1.3 Caractéristique mécanique de béton selon (CBA93)
I.7.2 Acier
I.7.2.1Caractères mécaniques
I.8 Conclusion
Chapitre II:Pré dimensionnement des éléments de structures et évaluation des charges
II.1 Introduction
II.2 Pré dimensionnements des éléments non structuraux
II 2.1 Planchers 21

II.2.1.1 Planchers à corps creux
II.2.1.2 Dalles pleine
II.2.2Évaluation des charges
II.3Prédimensionnement des éléments structuraux
II.3.1 Poutres
II.3.2 Poteaux
II.3.2 .1Descente de charges
II.3.3Voile
II.4 Conclusion
Chapitre III: Calcul des éléments secondaires
III.1Introduction
III.2Calcul de l'acrotère
III.2.1Sollicitations
III.2.2 Ferraillage
III.3 Calcul des balcons
III.3.1 Introduction
III.3.1 Sollicitations
III.4Calcul des escaliers
III.4.1 Définition
III.4.2Charges et surcharges
III.4.3Combinaisons des charges
III.4.4. Calcul de ferraillage
III.5 Etude de la poutre palière
III.5.1 Définition
III.5.2 Pré dimensionnement
III.5.3 Evaluation des charges

III.5.4. Calcule la section d'armature à la flexion simple			
III.6 Calcul du plancher			
III.6.1 Définition			
III.6.2 Calcul des planchers(poutrelles)			
III.6.2.1Méthode forfaitaire			
III.6.2.2Méthode Caquot			
III.6.2.3Ferraillage			
III.6.2.4Vérification des conditions de la méthode forfaitaire71			
III.6.2.5 Evaluation des charges			
III.6.2.6Combinaisons d'action			
III.6.3Détermination des sollicitations des planchées			
III.6.3.1 Plancher terrasse			
III.6.4 Ferraillage des poutrelles			
III.7-Etude de la table de compression			
III.7-Etude de la table de compression			
III.7-Etude de la table de compression			
III.7-Etude de la table de compression			
III.7-Etude de la table de compression			
III.7-Etude de la table de compression			
III.7-Etude de la table de compression			
III.7-Etude de la table de compression			
III.7-Etude de la table de compression			
III.7-Etude de la table de compression			
III.7-Etude de la table de compression			

IV.5.2 Analyse de la structure87
IV.6 Calcule les actions sismiques89
IV.6.1 La période empirique T89
IV.6.2 Calcul facteur d'amplification89
IV.6.3 Calcule La force sismique totale V90
IV.7 Vérification nécessaires
IV.7 .1Vérification de masse participant90
IV.7 .2Vérification des déplacements : (vérification de l'article 5.10 RPA2003)
IV.7.3 Vérification de l'effet $P - \Delta$
IV.7.4 . Vérification de l'excentricité accidentelle93
IV.7.5 Justification vis-à-vis de l'équilibre d'ensemble
IV.7.6Vérification de l'effort normal réduit
IV.8 Conclusion87
Chapitre V: Calcul des éléments résistants
V.1. Introduction
V.2Etude des poteaux
V.3 Vérification nécessaires
V.4 Ferraillage des poutres
V.4.1 Recommandations du RPA99/2003110
V.4.2 Ferraillage Poutre principale
V.4.3 Ferraillage Poutre secondaires
V.5 Étude des voiles
V.5.1 Introduction
V.5.2 Stabilité des constructions vis-à-vis des charges latérales
V.5.3 Rôle de contreventement

V.5.4 Les avantages des voiles
V.5.5Les Combinaisons des actions
V.5.6 Les recommandations du RPA99
V.5.7 Règles communes
V.5.8 Ferraillage des voiles
V.6 Conclusion
Chapitre VI :Etude des Fondations.
VI.1 Introduction
VI.2 Calcification des fondations
VI.3 Chois de type de fondation
VI.4 Caractéristique du sol
VI.5 Chois des fondations
VI.6 vérification de la Semelle isolée
VI.6.1Dimensionnement de la semelle isolée ELS
VI.7 Semelles Filantes sous poteau
VI.7.1 calcul de ferraillage
VI.8 Semelle filant sous viole
VI.8.1Dimensionnement de la semelle filant ELS
VI.8.2 Ferraillage de la semelle
VI.9 Longrine
VI.9.1 Dimensionnement de la longrine
VI.9.2 Calcul le ferraillage
VI.10. Le voile périphérique
VI.10.1. Pré-dimensionnement
VI.10.2 Evaluation des charges et surcharges
VI.10.3.Calcul du ferraillage

VI.11Conclusion	143
Conclusion Générale	144
Référence	145
Annexes	148

# LISTE DES TABLEAUX

Tableau I.1: Caractéristiques mécaniques des aciers	17
Tableau II.1: Charge pour plancher terrasse (inaccessible)	25
Tableau II.2: Charge pour plancher courant (accessible)	25
Tableau II.3 : Evaluation des charges des cloisons extérieures	25
Tableau II.4 : Evaluation des charges des cloisons extérieures	25
Tableau II.5:Evaluation des charges du palier	28
Tableau II.6 :Evaluation des charges de la volée (la paillasse)	28
Tableau II.7:Evaluation des charges du balcon	28
Tableau II.8:Évaluation des poids propres des poteaux	33
Tableau II.9: Dégression des charges d'exploitation	34
Tableau II.10:Descente de charge du poteau	34
Tableau III.1:Combinaisons des charges l'escalier	51
Tableau III.2:         Tableau récapitulatif des sollicitations	51
Tableau III.3: Vérification des contraintes à l'ELS	54
Tableau IV.1 : Coefficient d'Accélération de Zone A	84
Tableau IV.2: Valeurs du coefficient de comportement R	84
Tableau IV.3: Valeur de facteur de qualité	85
Tableau IV.4: Valeurs du coefficient d'amortissement suivant le système	
structurel	85
Tableau IV.5 : Période et taux de participation	87
Tableau IV.6: Vérification de l'effort tranchant à la base	90
Tableau IV.7: Les déplacements horizontaux à chaque niveau selon les deux	sens91
<b>Tableau IV.8</b> : La valeur $d'$ effort tranchant d'étage au niveau k x-x	91
Tableau IV.9: La valeur effort tranchant d'étage au niveau k y-y	92
<b>Tableau IV.10 :</b> Vérification à L'effet P-Δ selon x-x	92
<b>Tableau IV.11:</b> Vérification à L'effet P -Δ selon y-y	93
Tableau IV-12 : centre de masse et centre de torsion	94
Tableau IV.13 : Vérification de l'excentricité accidentelle	94
Tableau IV.14: Le moment de renversement provoqué par effort sismique se	ens
X-X	95
Tableau IV.15: Le moment de renversement provoqué par effort sismique se	ens
Y-Y	96

Tableau IV.16:    Vérification de l'effort normal réduit	96
Tableau V.1: Vérification des nouveaux poteaux sous les sollicitations normales	s101
Tableau V.2: sollicitations dans les poteaux	101
Tableau V.3: ferraillage du poteau	106
Tableau V.4 : Sollicitations de la poutre principale	111
Tableau V.5: Ferraillage des poutres principales	112
Tableau V.6 : Vérification a l'ELS de la poutre principale	116
Tableau V.7: Ferraillage des poutres secondaires	117
Tableau V.8 : Vérification a l'ELS de la poutre secondaire	120
Tableau V.9 : Vérification de la compression du béton	121
<b>Tableau V.10:</b> Sollicitations et ferraillage du voile ( $L = 4.55m$ )	125
<b>Tableau V.11:</b> Sollicitations et ferraillage du voile (L = 4.55 m)	126
Tableau VI. 1 : Charge due sur la semelle	132
Tableaux VI.2: Valeur de coefficients μx, μy etv	138
Tableau VI.3: Ferraillage de voile périphérique	140
Tableau VI.4 : Vérification des contraintes au niveau d'acier	143

# LISTE DES FIGURES

Figure I.1: Vue de la façade principale du bâtiment	5
Figure I.2 : Vue de la coupe transversale du bâtiment	6
Figure I.3 : Vue en plan de RDC et étage courant du bâtiment	7
Figure I.4 : Diagramme des déformations limitent de la section	.10
Figure I.5: Module de déformation instantané et différée	15
Figure I.6 : Diagramme contraintes déformation du béton à l'ELU	.16
Figure I.7: Diagramme contrainte – déformation du béton à l'ELS	17
Figure I.8: Diagramme contraintes déformation de l'acier	18
Figure II.1: Plancher à corps creux	22
Figure II.2: Poutrelle	22
Figure II.3: schéma statique de l'acrotère	26
Figure II.4: schéma de L'escalier	27
Figure II.5: Surface afférente du poteau	32
Figure II.6: Schéma statique de la descente de charge	34
Figure II.7: Coupe de voile en élévation.	38
Figure III.1: Type d'acrotère	41
Figure III.2: Section théorique pour le ferraillage de l'acrotère	42
Figure III.3: Disposition constructive des armatures de l'acrotère	45
Figure III.4: Section théorique pour le ferraillage du balcon	46
Figure III.5:Schéma de ferraillage du balcon	49
Figure III.6: Diagrammes de moment fléchissant et de l'effort tranchant à l'ELU.	51
Figure III.7: Moments et efforts tranchants á E.L.U	52
Figure III.8: Moments et efforts tranchants á E.L.S	52
Figure III.9: Diagrammes des Moments fléchissant et de L'effort tranchant de la	
palière	59
Figure III.10:schéma de ferraillage d'escalier	.66
Figure III.11:Evaluation des moments fléchissant	71
Figure III.12:Evaluation des efforts tranchants	72
Figure III.13: Evaluation des moments et efforts tranchants type 01(plancher	
terrasse).	74
Figure III.14: Coupe de Section Rectangulaire et Section en T	74
Figure III.15: ferraillage de poutrelle	78

Figure III.16 : Schéma de ferraillage	79
Figure IV.1 Vue en plan pour la structure en 3D	86
Figure IV.2: Vue en plan pour la disposition des voiles selon le plan initial	87
<b>Figure IV.3:</b> 1 <sup>er</sup> Modetranslation selon x-x	88
Figure IV.4: 2 <sup>eme</sup> translation selon y-y	88
<b>Figure IV.5:</b> 3 <sup>eme</sup> Mode est Mode torsion selon z-z	88
<b>Figure V.1:</b> Représentation schématique Poteau (60×60)	101
<b>Figure V.2:</b> Schéma de ferraillage des poteaux60×60	108
<b>Figure V.3:</b> Schéma de ferraillage des poteaux 55×55	109
Figure V.4: Schéma de ferraillage des poteaux45×45	109
Figure V.5: Schéma de l'espacement zone courante et zone nodale	109
Figure V.6 : Schéma de ferraillage des poutres principales	116
Figure V.7:Schéma de ferraillage des poutres secondaire	121
Figure V.8: Schéma de ferraillage des voiles	127
Figure VI.1: Schéma de ferraillage de la semelle filante sous poteau	134
Figure VI.2: Schéma de ferraillage de la semelle filante sous viol	135
<b>Figure VI.3:</b> Schéma de ferraillage de longrine $60 \times 60$	137
Figure VI.4 : Schéma statique d'un voile périphérique	137
Figure VI.5: Schéma de ferraillage du voile périphérique	143

#### Résumé

Dans le cadre de projet de fin d'étude, nous avons présenté une étude détaillée d'un bâtiment en béton armé à usage d'habitation, constitué d'un Rez de chaussée plus (08) étages, implanté à la wilaya de MILA. Cette région est classée en zone sismique IIa selon le RPA99 version 2003. Une structure poteaux-poutres associés à des voiles porteurs a été retenue. Ces derniers assurent le contreventement de l'ouvrage. Cette étude permettra de mettre en avant l'effet du séisme sur la conception architecturale à adopter ainsi que sur les caractéristiques des matériaux de la construction. Les descentes de charge et le pré dimensionnement des éléments structuraux et secondaires ont été calculés manuellement conformément aux règlements algériens en vigueur (BAEL91, CBA.93 et RPA99 version 2003......etc.)

Les calculs de ferraillages des éléments structuraux ont été faits après une étude sous l'effet des sollicitations statiques et dynamique à l'aide du logiciel structural analysis Robot 2014.

Au regard des caractéristiques mécaniques du sol d'assise ( $\sigma_{\text{sol}} = 2$  bars), nous avons opté pour la solution fondations superficielles, des semelles isolées et filante.

**Mots clés**: Bâtiment, Béton armé, Robot structural analysis 2014, RPA99 version 2003, BAEL91.

#### **Abstract**

As part of the completion project, we presented a detailed study of a reinforced concrete building for residential use, consisting of a ground floor plus (08) floors, located in the wilaya of MILA. This region is classified as a seismic zone IIa according to the RPA99/2003. A column-beam structure associated with load-bearing sails was retained; these ensure the bracing of the structure. This study will highlight the effect of the earthquake on the architectural design to be adopted as well as on the characteristics of the building materials. The load descents and the pre-dimensioning of the structural and secondary elements were calculated manually in accordance with the Algerian regulations in force BAEL91, CBA.93 and RPA99/2003......etc.). The structural element reinforcement calculations were made after a study under the influence of static and dynamic stresses using structural analysis ROBOT 2014.

With regard to the mechanical characteristics of the floor ( $\sigma_{sol} = 2$  bar), we opted for the solution superficial foundations, insulated and stringy soles

**Key words:** Building, Reinforced Concrete, RPA99 V2003, Robot d'analyse structural 2014, BAEL91.

#### ملخص

كجزء من مشروع الإنجاز، قدمنا بدراسة تفصيلية لمبنى خرساني معد للاستخدام السكني، يتألف من طابق أرضي بالإضافة إلى (08) طوابق، يقع في ولاية ميلة، وقد تم تصنيفه كمنطقة زلزالية صنف (2 أ) وفق تنظيم الزلازل الجزائري.

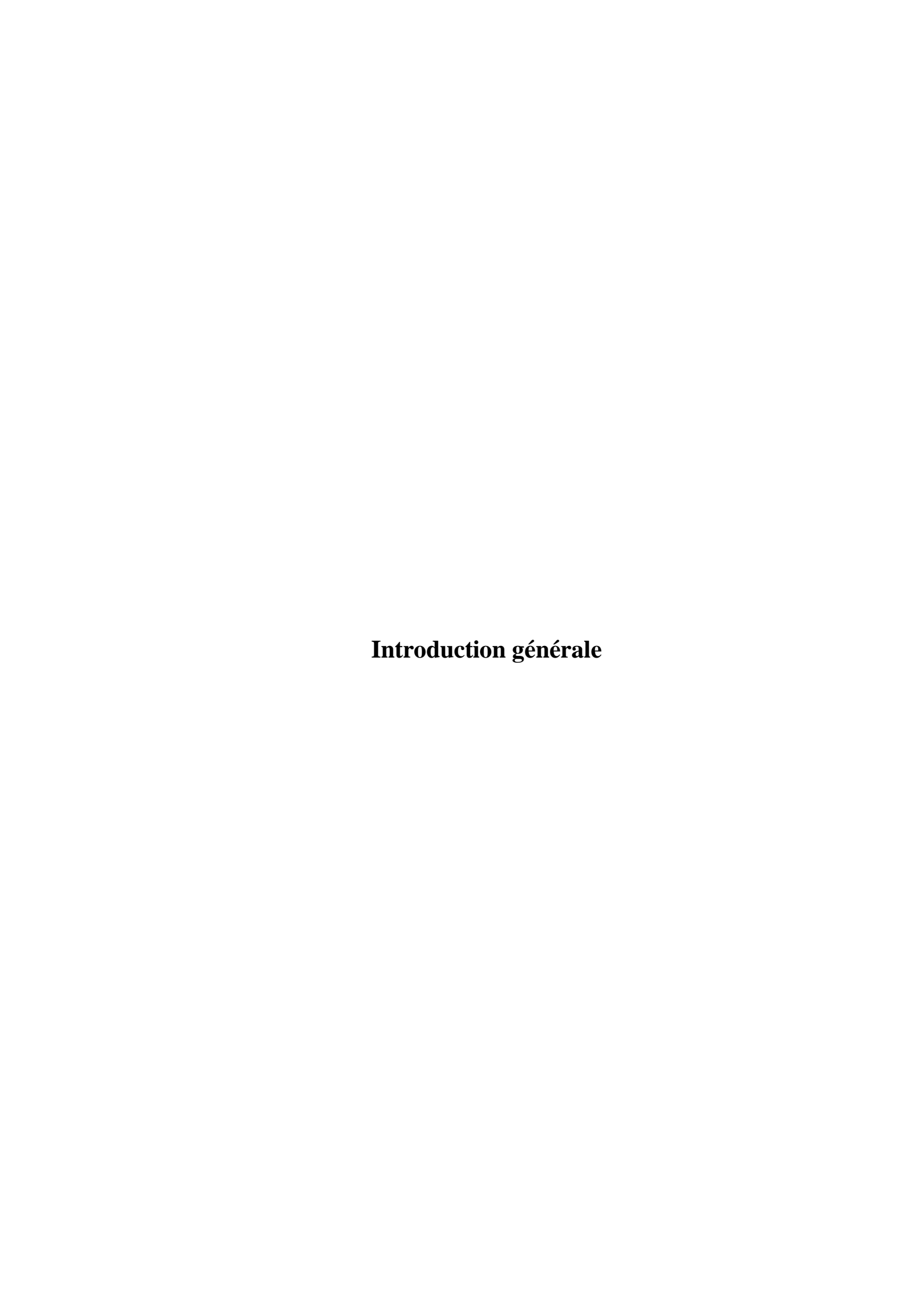
لتوفير دعامة جيدة للهيكل، الممثل في العارضة و العمود تم إضافة الجدران الحاملة.

تسلط هذه الدراسة الضوء على أثر الزلزال على التصميم المعماري الذي سيتم اعتماده وكذلك على خصائص مواد البناء. تم حساب هبوط الحمل والأبعاد المسبقة للعناصر الهيكلية والثانوية يدويا وفقا للوائح الجزائرية المعمول بها (BAEL91, CBA.93, RPA99/2003)

وقد أجريت حسابات التسليح للعناصر البنيوية بعد دراسة أجريت تحت تأثير الضغوط الساكنة والديناميكية باستخدام برنامج التحليل الإنشائي ROBOT 2014 وعلى أساس الخصائص الميكانيكية للتربة (إجهاد التربة يساوي2 بار) اخترنا الأساسات السطحية منها: الأساسات المعزولة والمستمرة.

#### الكلمات المفتاحية

البناء ، الخرسانة المسلحة، تنظيم الزلازل الجزائري 2003 ، روبوت للتحليل الهيكلي 2014.



#### Introduction générale

L'étude structurel est une étape très importante et un passage obligatoire dans la connaissance de construction. Cette étude se fait pour le but d'assurer la stabilité, la résistance et la sécurité du bâtiment.

Dans notre projet de fin de cycle nous avons fait une étude de bâtiment dont la construction est en béton armée, afin de récapituler l'essentiel de ce que nous avons acquis durant notre formation, d'approfondir nos connaissances dans le domaine de calcul des structures

Les bâtiments et d'autre constructions sont menacer par des risques naturels comme le séisme et le vent, pour cela, il y a lieu de respecter les normes et les recommandations parasismiques pour sauvegarde le maximum des vies humaines.

La stabilité de l'ouvrage est en fonction de la résistance des différents éléments structuraux (poteaux, poutres, voiles...) aux différentes sollicitations (compression, flexion...) dont la résistance de ces éléments est en fonction du type des matériaux utilisés et de leurs dimensions et caractéristiques. Donc ; pour le calcul des éléments constituants un ouvrage, on va suivre des règlements et des méthodes connues (BAEL91 révisée 99, RPA 99 / version 2003) qui se basent sur la connaissance des matériaux (béton et acier) et le dimensionnement et ferraillage des éléments de la structure.

Le travail est présenté en six chapitres :

- •Le premier chapitre comporte la description générale du projet avec une présentation des caractéristiques des matériaux.
- •Le deuxième chapitre présent une estimation préliminaire des dimensions des éléments de la structure sous l'effet des charges supportées.
- Le troisième chapitre a pour objectif l'étude des éléments secondaires (escaliers, balcon, et dalle pleine .. .).
- •L'étude dynamique de la structure a été entamée dans le quatrième chapitre, est souvent très complexe c'est pourquoi on fait souvent appel à des modélisations comme le logiciel ROBOT STRUCTURAL ANALYSIS 2014 dans notre cas, qui permettent de simplifier suffisamment les problèmes pour permettre l'analyse, la détermination des différentes sollicitations dues aux chargements (charges permanentes, d'exploitation et charge sismique).
- •Les éléments résistants de la structure (poteaux, poutres, voiles) seront calculés dans le cinquième chapitre.
- L'instabilité des constructions lors d'un séisme majeur est souvent causé par les sous dimensionnement des fondations, ce qui nécessite une étude de l'infrastructure dans le chapitre six.

Chapitre I : Présentation de projet et caractéristique des matériaux

#### I.1 Introduction

Peu importe le projet de construction, il existe divers procédés de conception et de réalisation selon les besoins et les capacités : construction en béton armé, en précontrainte, charpente, en bois ou charpente métallique.

Le but de l'ingénieur civil est de concevoir et dimensionner les différents ouvrages de constructions, qui peuvent être soit en béton armé ou en charpente métallique. Le dimensionnement doit prendre en compte le critère de sécurité, la durabilité de l'ouvrage et l'économie en se basant sur les normes et recommandations qui rigidifient convenablement la structure telle que (BAEL91, RPA99modifié en2003, ...).

#### I.2 Présentation de l'ouvrage

Notre projet consiste à faire une étude sur un bâtiment R+8 en béton armé ; composé d'un Rez de chaussé et huitétage d'habitation identique. L'ouvrage sera implanté dans la Wilaya de MILA classée comme une zone de moyenne sismicité (zone IIa) d'après RPA 99/2003 et le site est considéré comme meuble (S3) ainsi que l'ouvrage appartient au groupe d'usage 2, selon les critères de classification des groupes d'usage RPA (Ouvrage courants ou d'importance moyenne : bâtiment d'habitation collective à usage du bureau dont la hauteur ne dépasse pas 48 m).

Les vus en plan et les coupes des étages sont représenté sur les figures suivant :

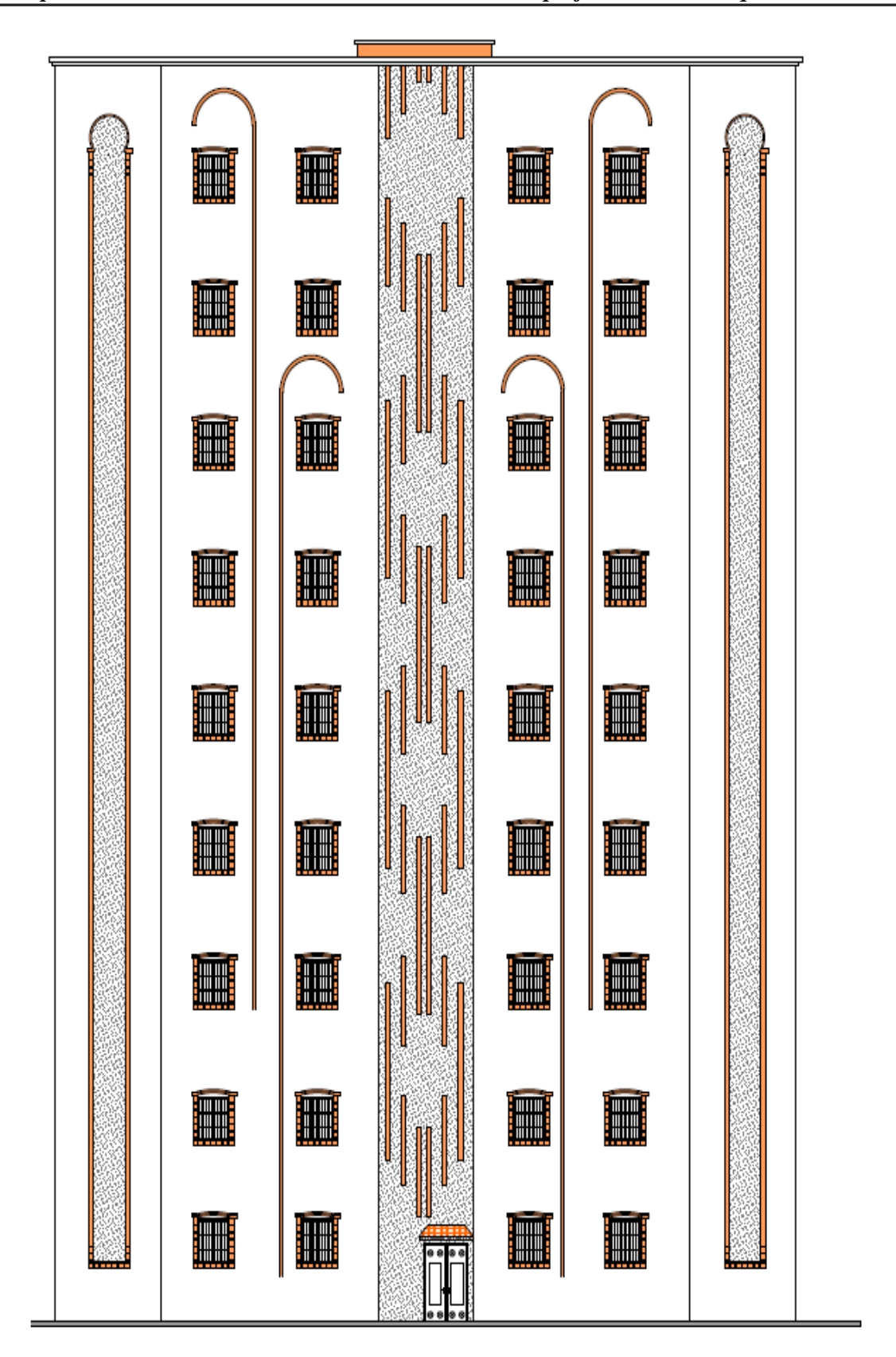
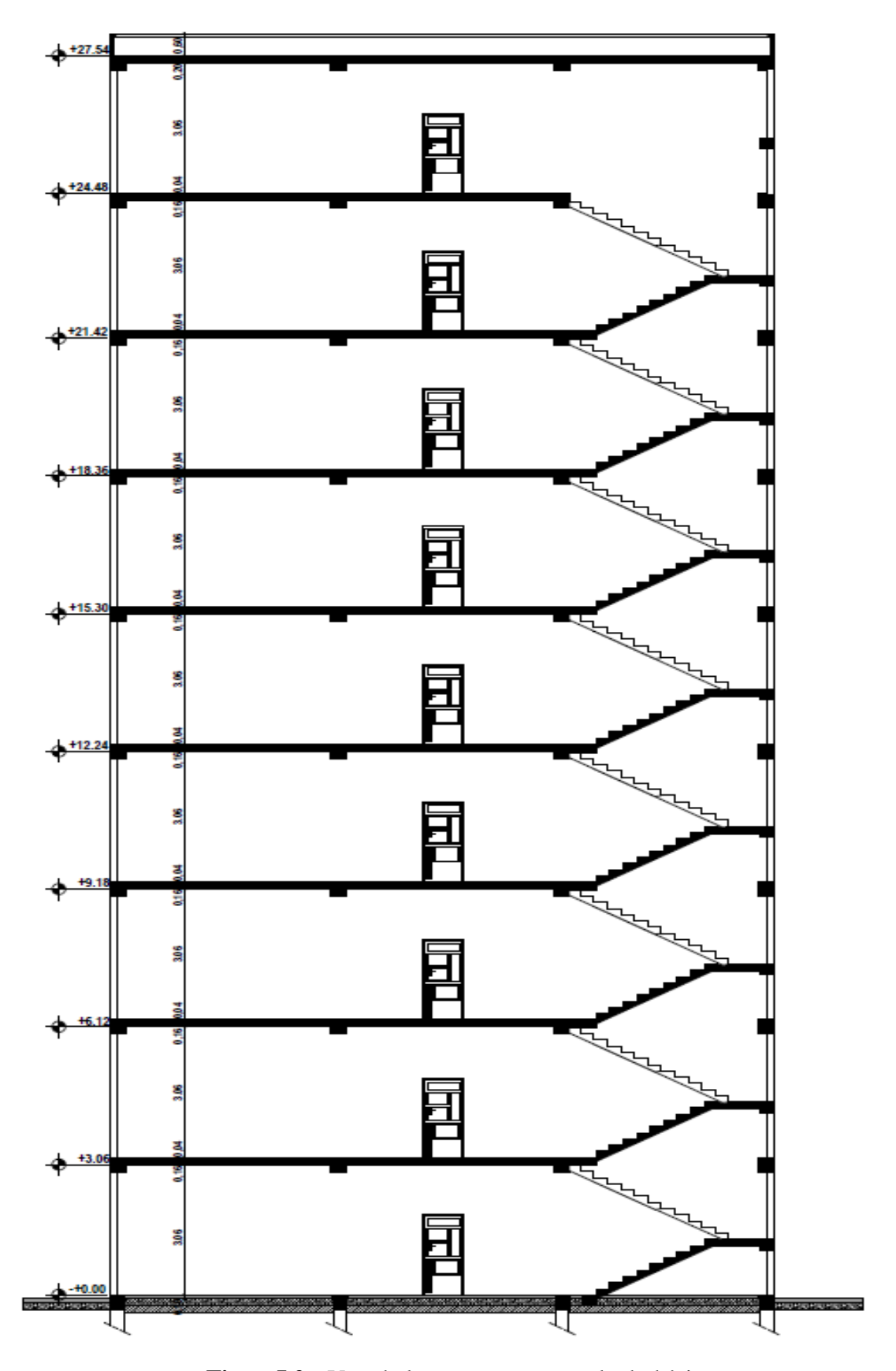


Figure I.1: Vue de la façade principale du bâtiment.



FigureI.2 : Vue de la coupe transversale du bâtiment.

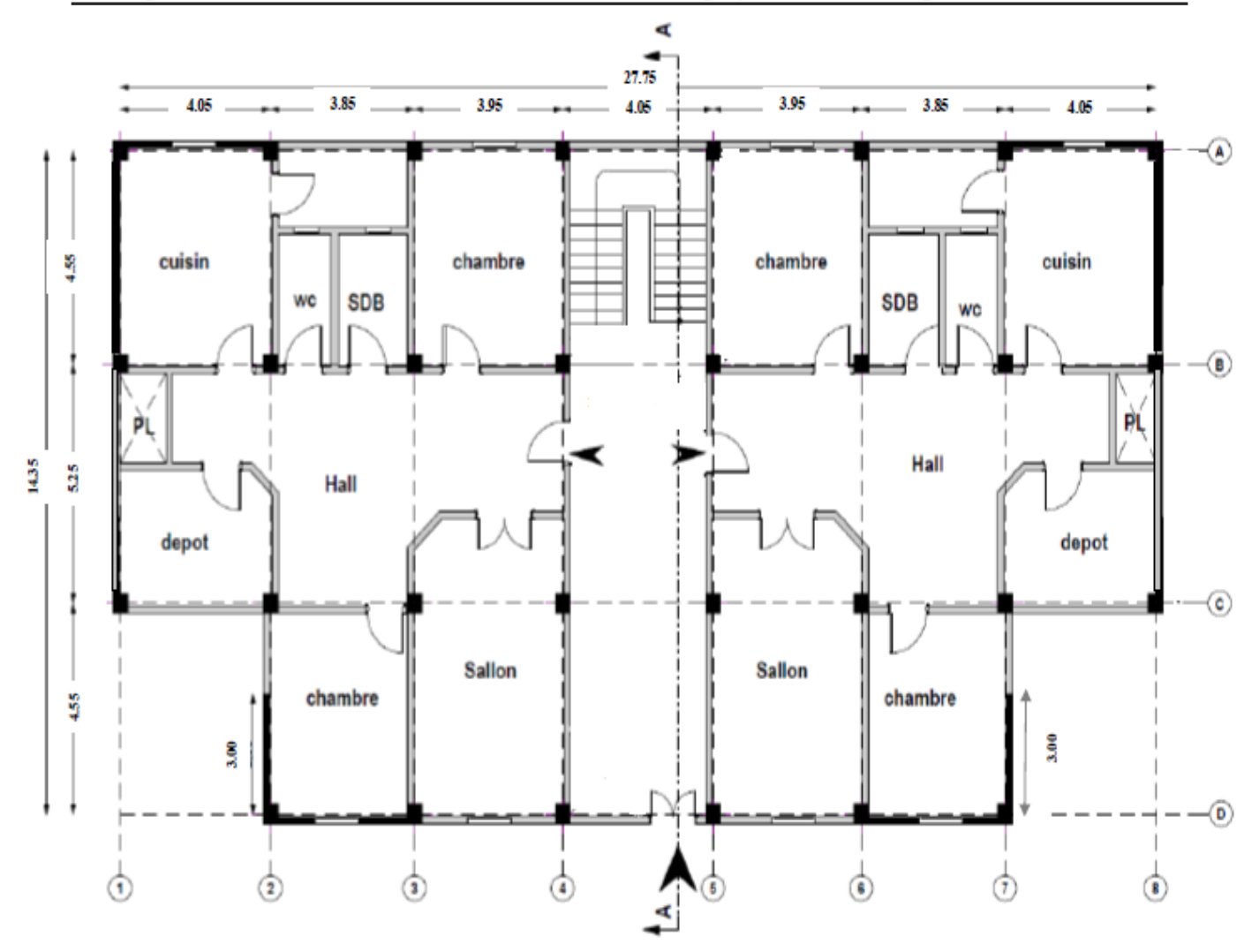


Figure I.3: Vue en plande RDCet étage courant du bâtiment.

### I.3 Caractéristiques géométriques du bâtiment

Suivant la vue en plan, les dimensions de la structure sont répertories comme suit :

- Largeur totale de bâtiment.....B= 14.35 m,
- Longueur totale de bâtiment ...... L= 27.75 m,
- Hauteur totale du bâtiment..... H= 28.14 m,
- Hauteur de RDC..... $h_{RDC}$ = 3.06 m,
- Hauteur d'étage courant.....he= 3.06 m,

#### I.4 Caractéristiques géométriques du sol

Le sol d'assise de la construction est considéré comme meuble d'après le rapport du laboratoire du sol au niveau de la wilaya de MILAdaté en mars 2014 le taux travail du sol est de :

- La contrainte étudiée du sol est  $\delta$  sol = 2 bar pour un encrage de 2.5m,
- Le poids spécifiques de terre  $\gamma_h = 1.8t / m^3$ ,
- L'angle de frottement interne du sol  $\varphi = 30^{\circ}$ ,
- La cohésion C = 0 (sol pulvérulent).

#### I.5 Description de l'ossature

#### • Conception structurales

La structure du bâtiment a un système de contreventement en portique contreventé par des voiles. Le choix du système de contreventement rentre dans le cadre de l'application du RPA (version 2003), vu qu'il dépasse 2 niveaux (8 m), ce qui assure la stabilité de l'ensemble sous l'effet des actions vertical et des actions horizontal.

#### • Planchers

Nous avons opté pour des dalles en corps creux, pour les raisons suivantes :

- > Absence des charges concentrées importante sur le plancher.
- » Ces dalles sont plus légères que la dalle pleine.
- » Nécessite peu de coffrage.
- > Bonne isolation thermique et phonique.

#### • Escaliers

Ce bâtiment présent un escalier à deux volées et un palier intermédiaire pour toute la structure, réaliser en béton armé coulé sur place.

#### • Maçonnerie

Sont réalisées en brique classé on deux types :

Les murs extérieurs : sont réalisés en brique à double paroi (la paroi extérieure en brique de 15 cm, une paroi intérieure de 10 cm séparés par une lame d'air de 5 cm d'épaisseur.)

Les murs intérieurs : sont simple cloison réalisés en briques de 10 cm d'épaisseur ;

#### • Revêtement

Le revêtement de bâtiment est :

- » Enduit en ciment et en plâtre : utilisé pour les murs et les plafonds.
- » Revêtement en carrelage : utilisé pour les planchers et les escaliers.
- » Revêtement par étanchéité multicouche : utilisé pour les planchers terrasses.

#### Acrotère

La terrasse étant inaccessible dans cette structure, le dernier niveau est entouré d'un acrotère en béton armé d'une hauteur de 60 cm et de 10 cm d'épaisseur.

#### • Les poteaux

Les poteaux sont des éléments pourtours verticaux jouée un rôle de répondre les efforts du aux charges et transmettre ces charges à la fondation.

#### • Les poutres

Il y a deux types des poutres :

- > Poutre principale.
- > Poutre secondaire.

#### I.6 Règles et hypothèses de calcul

On utilise pour le calcul de ce projet les règlements suivants :

#### I .6.1 Réglés Parasismique Algérienne (RPA99 version 2003)

Elles sont applicables à toutes les catégories de constructions courantes de configuration simple et régulière. Le but de ce règlement est de prévoir les mesures à la conception et à l'exécution des constructions, il prévoit :

- Une classification selon les zones sismiques, et le groupe d'usage d'une construction, les caractéristiques et les conditions du sol de fondations.
  - Une conception sur la catégorie d'ouvrage pour prévoir un système convenable de contreventement.
- Des dimensionnements en vigueur des éléments structuraux .

#### I.6.2. Règlement (BAEL 91) (Béton Armé Aux Etats Limites).

Basé sur la théorie des états limites : Un ouvrage doit être conçue et calculer de manière a présenté durant toute sa durée d'exploitation deses unités appropriée vis-à-vis sa ruine totale ou partielle.

D'un comportement en service susceptible d'affecter gravement sa durabilité, son aspect, au encore le confort des usages. Les états limite sont classés en 2 catégories :

#### a. Etats limites ultimes (ELU)

Correspondent à la valeur maximale de la capacité portante de la construction, soit :

- Equilibre statique (Renversement du bâtiment).
- Résistance de l'un des matériaux de la structure (non rupture).
- Stabilité de la forme (non flambement des poteaux est des voiles).

La combinaison d'action à l'état limite ultime est :

$$q = 1.35G + 1.5Q$$
.

#### a.1 Hypothèses

• Les sections droites et planes avant déformation, restent droites et planes après déformation.

- Pas de glissement relatif entre le béton et l'acier.
- Le béton tendu est négligé dans les calculs.
- L'allongement unitaire de l'acier est limité à 10 0/00 et le raccourcissement unitaire du béton limite à 3.5 0/00 dans le cas de la flexion simple ou composée et à 2 0/00 dans le cas de compression simple, par conséquent le diagramme des déformations passe par l'un des trois pivotes (A; B; C).

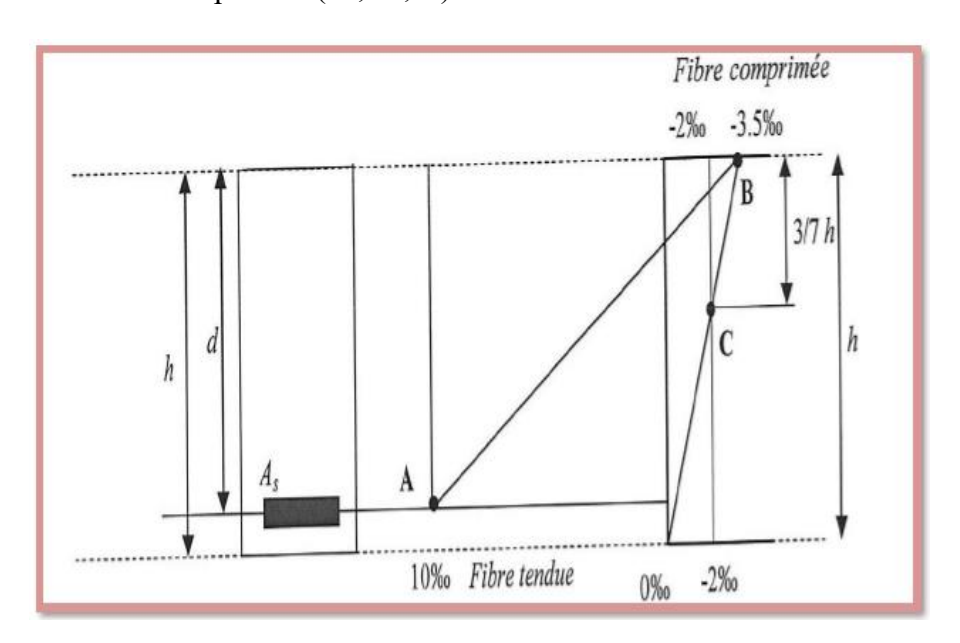


Figure. I.4 : Diagramme des déformations limitent de la section.

Pivot A: Les pièces soumises à la flexion simple ou composée, traction simple.

**Pivot B :** Les pièces soumises à la flexion simple ou composée.

**Pivot C**: Les pièces soumises à la flexion composée ou à compression simple.

#### b. Etat limite de service

- Constituent les frontières, aux delà desquelles les conditions normales d'exploitation et de durabilité de la construction ou de ses éléments ne sont plus satisfaites soient :
- L'ouverture des fissures, (limité la contrainte de traction des aciers pour limiter l'ouverture des fissures).
- Déformation des éléments porteurs (La flèche maximale ne devrait pas dépasser la flèche limite).

Résistance à la compression du béton.

La combinaison d'action à l'état limite de service est :

q = G+Q.

#### b.1 Hypothèses

- Les sections droites et planes avant déformation, restent droites et planes après déformation.
- Pas de glissement relatif entre le béton et l'acier.
- Le béton tendu est négligé dans les calculs.
- Le béton et l'acier sont considérés comme des matériaux linéaires élastiques et il est fait abstraction du retrait et du fluage du béton.
- Le module d'élasticité longitudinal de l'acier est par convention 15 fois plus grand que celui du béton ( $E_s = n E_b$ , n = 15).

#### I.6.3 Nature des actions : On distinguer

- a) Action permanente : (DTR ; R.N.V 99) Les actions permanant ont une intensité constante au très peu variable dans le temps, elles sont désignées par la lettre G. Elle comprenant :
  - Poids propre des structures : Calculer d'après les dimensions prévues aux dessins d'exécution, la masse volumique de béton armée étant près égale à 2.5t/m³.
  - Poids des autres éléments de construction (couvertures, carrelage ...).
  - Force exercée par la poussée des terres ou la pression des liquides (cas des murs de sous-sol).
  - Déformation différées dans le temps (celle causées par le retrait du béton).

#### b) Action variable

Les actions variables ont une intensité qui varie fréquent et de façon important dans le temps, elles ont désigné par la lettre Q. Elle comprenant :

- Charges d'exploitation (ratio d'utilisateurs, de véhicules ...etc.) classée par durée d'application (provision, longue durée).
- Charges climatiques (action du vent, action de la neige).
- Action passagère en cours d'exécution.

#### c) Action accidentelle

Soit des actions de courte durée. Il s'agit d'actions dues des phénomènes rares et exceptionnels séismes, explosion, chocs et les incendies.

• Le séisme « E ».

#### I.6.4. Combinaison d'action

Pour déterminer les sollicitations, on utilise les combinaisons d'action proposées par BAEL.

#### Chapitre I:

#### • Pour les plancher

Elles sont soumises uniquement aux actions des charges permanentes et d'exploitations, pour cela les combinaisons considérées sont :

A l'ELU: 1.35G+1.5Q

A l'ELS : G + Q

Dans le cas des actions sismique, les combinaisons a pour fournir une meilleure résistance sont :

D'après RPA99/2003 on a:

#### Pour les poutres

G + Q + E

1.35 G + 1.5 Q E: Effort sismique

G + Q

#### • Pour les poteaux

G + Q + 1.2 E

 $0.8 \, \text{G} + \text{E}$ 

#### Pour les voiles

G + Q + 1.2 E

0.8 + E

#### I .7 Caractéristiques mécaniques des matériaux

Les caractéristiques des matériaux utilisés dans la construction seront conformes aux règles techniques de conception et de calcul des structures en béton armé CBA 93, le règlement du béton armé aux états limites à savoir le BAEL 91, ainsi que le règlement parasismique Algérien RPA 99/2003.

#### I.7.1 Béton

Le béton est le matériau de construction le plus utilisé en génie civil, notons qu'il est constitué par le mélange du ciment granulats (sable, gravillons) et l'eau de gâchage, le béton armé est obtenue en introduisant dans le béton des aciers (armatures disposés de manière a équilibré les efforts de traction).

Le béton est défini par une valeur de résistance à la compression à l'âge de 28 jour, dite valeur caractéristique requise  $f_{c28}$ = 25 MPa.

#### I.7.1.1 Principaux caractéristiques et avantages et inconvénient du béton armé

La réalisation d'un élément d'ouvrage en béton armé, comporte les 4 opérations :

• Exécution d'un coffrage (moule) en bois ou en métal.

- La mise en place des armatures dans le coffrage.
- Mise en place et « serrage » du béton dans le coffrage.
- Décoffrage « ou démoulage » après durcissement suffisant du béton.

Les principaux avantages du béton armé sont :

- Economie: Le béton est plus économique que l'acier pour la transmission des efforts de compression, et son association avec les armatures en acier lui permet de résister à des efforts de traction.
- Souplesse des formes : Elle résulte de la mise en œuvre du béton dans des coffrages auxquels on peut donner toutes les sortes de formes.
- Résistance aux agents atmosphériques : Elle est assurée par un enrobage correct des armatures et une compacité convenable du béton.
- Résistance au feu : Le béton armé résiste dans les bonnes conditions aux effets des incendies.
- **Fini des parements :** Sous réserve de prendre certaines précautions dans la réalisation des coffrages et dans les choix des granulats.

Les inconvénients du béton armé sont :

• Le poids : Les ouvrages en BA sont plus Lourds que les autres modes de constructions.

#### • L'exécution :

- La préparation de coffrage demande beaucoup de temps et travail, ce coffrage doit rester en place jusqu'à ce que le béton atteint une résistance suffisant.
- -Le placement des armatures.
- Pendant la mise en place du béton, il faut prendre des précautions pour protéger contre le gel et l'évaporation de l'eau.
- Le contrôle de la qualité du matériau perfectionné lors du gâchage.
- Brutalité des accidents: Les accidents qui surviennent d'un ouvrage en béton armé sont en général soudains aux brutaux, en général ces accidents sont dus à des erreurs de calculs au de réalisation.
- **Difficulté de modification d'un ouvrage déjà réalisé** : Il est difficile de modifier un élément déjà réalisé.

#### I .7.1.2 Dosage du béton

Le dosage du béton est lié au poids du liant employé pour réaliser un mètre cube de béton. Pour mener cette étude, le béton est dosé à 350 Kg de ciment par 1m³. Ce dosage est

destiné à offrir les garanties de résistance escomptées et à présenter une protection efficace de l'armature.

Dans un mètre cube de béton, on a les proportions suivantes :

- Ciment (CPA 325) ......dosé à 350 kg /m<sup>3</sup>
- Sable grossier..... $0 < Dg < 5mm \rightarrow 400 L$
- Eau de gâchage......175 L

Le béton obtenu aura une masse volumique qui varie entre 2200 Kg/m³ et 2400Kg /m³.

#### I.7.1.3 Caractéristique mécanique de béton selon (CBA93) :

La fabrication des bétons est en fonction de l'importance du chantier, le béton est élaboré soit par une simple bétonnière de chantier, soit par l'installation d'un central à béton.

Le central à béton est utilisé lorsque les volumes et les cadences deviennent élevés ; et la durée de la production sur un site donné est suffisant longue.

#### a) Résistance du béton à la compression (fci)

Dans les cas courant, le béton est défini au point de vue mécanique par la résistance à la compression a 28 jours d'âge, Cette résistance est mesurée sur les cylindres droites de révolution de 200cm² de diamètre égale à 16cm et ayant une hauteur égale à 32cm.

Pour le béton d'un âge j < 28 jours la résistance caractéristique la compression est donnée par les formules suivantes :

$$\begin{cases} f_{\rm cj} = \frac{j}{4,76+0,83j} f_{\rm c28}; pour: f_{\rm c28} \leq 40 MPa. \\ f_{\rm cj} = \frac{j}{1,4+0,95j} f_{\rm c28}; pour: f_{\rm c28} \geq 40 MPa \end{cases}$$
 Pour j< 28 jours.

Lorsque l'âge de béton dépasse 28 jours on peut admettre une résistance au plus égale à  $\mathbf{f_{cj}} = 1.1\mathbf{f_{c28}}$ .

La résistance caractéristique alla compression f<sub>c28</sub>est prise égale à 25MPa.

#### b) Résistance du béton à la traction

La résistance du béton à la traction, est très faible. Elle est définie par:

$$\mathbf{f_{tj}} = 0.6 + 0.06 \mathbf{f_{cj}} \text{ (MPa)}$$
 pour  $\mathbf{f_{cj}} \leq 60 \text{MPa}$ 

Dans notre  $cas \mathbf{f_{tj}} = 2.1$  (MPa).

#### c) Déformation longitudinale du béton

Ce module est défini selon l'action des contraintes normales d'une longue durée ou courte durée.

#### c.1) Module de déformation longitudinale instantané

Sous des contraintes normales d'une durée d'application inférieure à 24 h, on admet à défaut de mesures, qu'à l'age « j » jours, le module de déformation longitudinale instantané du béton  $\mathbf{E}_{ij}$  est égal à:

$$\mathbf{E_{ij}} = 11000. \sqrt[3]{fcj} \text{ MPa} \rightarrow \mathbf{E_{i28}} = 32164.195 \text{MPa}$$

#### c.2) Module de déformation longitudinale différé

Sous des contraintes de longue durée d'application, le module de déformation longitudinale différé qui permet de calculer la déformation finale du béton est donné par la formule:

$$\mathbf{E_{vi}} = 3700.\sqrt[3]{fcj}$$
  $\rightarrow$   $\mathbf{E_{v28}} = 10818.685 \text{MPa}$ 

Contraint normal

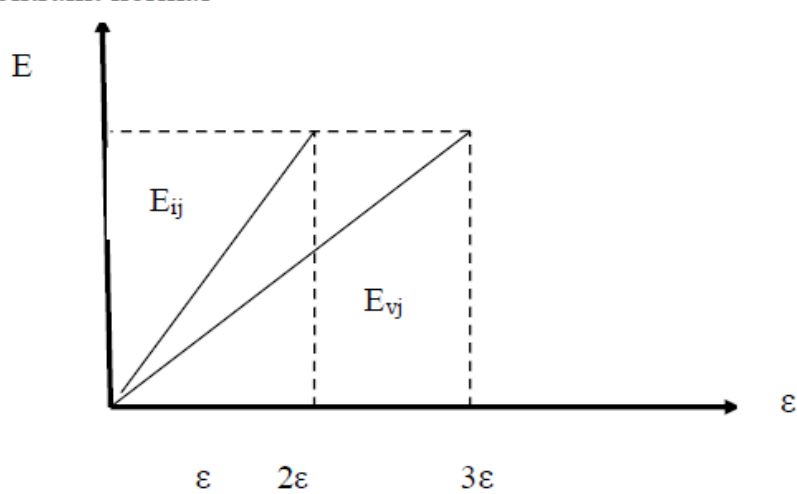


Figure I.5: Module de déformation instantané et différée.

#### c.3) Module de déformation transversale

La valeur du module de déformation transversal est donnée par :

$$G = \frac{E}{2(1+V)}$$

E : module de déformation longitudinale instantanée du béton.

 $\triangleright$  V: coefficient de poisson.

#### d) Coefficient de Poisson

On appelle coefficient de poisson le rapport de la déformation transversale relative par la déformation longitudinale relative.

 $\mathbf{v} = \mathbf{0}$  dans le cas des états limites ultimes (E.L.U) (section fissurée).

 $\nu = 0.2$  dans le cas des états limites de service (E.L.S) (section non fissurée).

#### e) Diagramme contraintes déformation du béton à ELU

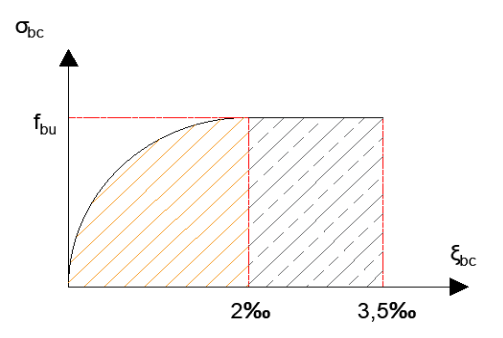


Figure 6 : Diagramme contraintes déformation du béton à l'ELU

Le diagramme de déformation  $\xi_{bc}$  contraintes  $\sigma_{bc}$  du béton pouvant être utilisé dans les cas est le diagramme de calcul dit « parabole rectangle ».

La contrainte limite ultime est donnée par:

$$f_{bu} = \frac{0.85 \times f_{c28}}{\theta \times \gamma_b}$$

#### Avec:

θ: dépend du probable d'application (t) de la charge:

$$\theta$$
 = **0.85** sit < 1h

$$\theta$$
 = **0.9** si 1h ≤ t ≤ 24h

$$\theta = 1$$
 si t > 24h

**0.85**: un coefficient de minoration pour tenir compte de l'altération du béton en surface et de la durée d'application des charges entraînât une diminution de la résistance.

 $\gamma_b$ : Coefficient de sécurité qui tient compte d'éventuels défauts localisés dans béton.

Lecoefficienty<sub>b</sub>:

➤ 1.5 : en situation durable et transitoire.

> 1.15 : en situation accidentelle.

Pour  $f_{c28} = 25MPa$ :

 $> f_{bu} = 14.17 \text{MPa}$  en situation durable et transitoire.

Farger  $f_{bu} = 18.47 \text{MPa}$  en situation accidentelle.

#### f) Contrainte de cisaillement

La contrainte de cisaillement ultime  $(\tau_u)$  pour les armatures droites  $(\alpha=90^\circ)$  est donnée par les expressions suivantes :

> Dans le cas d'une fissuration peu nuisible :

$$\overline{\tau_{\rm u}} = \min\left(0.2.\frac{{\rm f}_{\rm c28}}{\gamma_{\rm b}};5{\rm MPa}\right) \Longrightarrow \overline{\tau_{\rm u}} = 3.33{\rm MPa}$$
.

Dans le cas d'une fissuration préjudiciable et très préjudiciable :

$$\overline{\tau_{u}} = min \left( 0.15. \frac{f_{c28}}{\gamma_{b}}; 4MPa \right) \Rightarrow \overline{\tau_{u}} = 2.5MPa.$$

> Dans le cas des armatures inclinées

$$\overline{\tau_u} = min \left( 0.27. \frac{f_{c28}}{\gamma_b}; 7MPa \right) \Rightarrow \overline{\tau_u} = 4.5MPa$$

#### Diagramme contrainte déformation du béton à ELS:

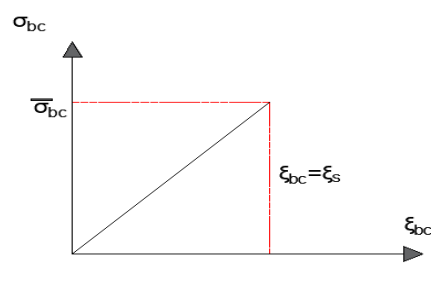


Figure I.7: Diagramme contrainte – déformation du béton à l'ELS

$$\overline{\sigma_{bc}} = 0.6.f_{c28}$$
  
D'où :  $\overline{\sigma_{bc}} = 15MPa$ 

#### I.7.2 Acier

Le matériau acier est un alliage de Fer et de Carbone en faible pourcentage. Les aciers pour le béton armé sont de :

- Nuance douce avec 0.15% à 0.25% de teneur en Carbone.
- Nuance mi-dure à dure avec 0.25% à 40% de teneur en Carbone.

#### I.7.2.1 Caractères mécaniques

La caractéristique mécanique servant de base aux justifications est l'état limite d'élasticité est garantie par le fournisseur est désignée par  $<\mathbf{f}_e>$ 

Le module d'élasticité longitudinal de l'acier est égal à :

#### $E_s = 200000 \text{ MPa.}$

Le tableau suivant nous donne quelques exemples d'aciers :

Treillis soudés (T .S): Pour le voile périphérique et hourdis (Dalle de compression), on utilise treillis soudés.

Tableau I.1: Caractéristiques mécaniques des aciers.

Type d'acier	Nuances	Limite d'élasticité (MPa)	Utilisation
Rond lisse (RL)	FeE 220	215	Cadres, étriers, Anneaux de
Kona usse (KL)	FeE 240	235	levage des pièces préfabriquées
Haute adhérence (HA)	FeE 400	GeE 400 400 Tous les travaux et	Tous les travaux en béton armé
mute unicience (11/1)	FeE 500	500	Tous les travada en beton arme
Treillis soudés	TLE 500	500	Empois courant pour radier
	TLE 600	60	Voiles, Planchers, Dallage

#### a) Contraint limite de l'acier

#### a.1) Contrainte à ELU

On adopte le diagramme contrainte-déformation suivant, avec :

**f**<sub>e</sub>: Contrainte limite élastique.

 $\varepsilon_s$ : Déformation (allongement) relative de l'acier.

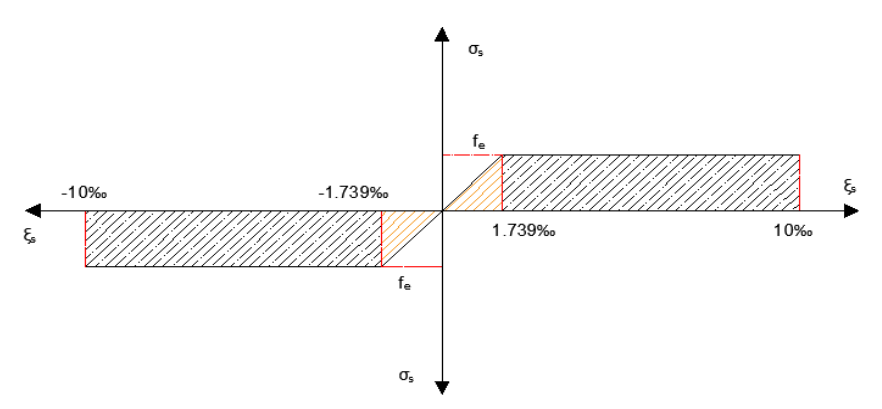


Figure I.8: Diagramme contraintes déformation de l'acier.

Le diagramme de calcul des aciers se déduit on remplaçant  $f_e$  par  $f_e/\gamma s$ , et on conservant la pente Es de la droite d'élasticité.

Le coefficient ys:

➤ 1.15 : en situation durable et transitoire.

➤ 1 : en situation accidentelle.

On rappelle que Es = 200000MPa

Si 
$$\varepsilon_s = \frac{f_e}{\gamma_s \times E_S} \rightarrow \sigma_s = \text{Es.}\varepsilon_s$$

Si 
$$\frac{f_e}{\gamma_s \times E_S} \le \varepsilon_S \le 10\%$$
  $\rightarrow$   $\sigma_s = \text{fe/}\gamma \text{s}$ 

#### Contraintes de traction

$$\varepsilon_s = 10\%$$
 donc :  $\sigma_s = fe/\gamma s$ 

Pour  $f_e$ = 400MPa:

 $\triangleright$   $\sigma_s = 348MPa$  en situation durable et transitoire.

 $\triangleright$   $\sigma_s$ = 400 MPa en situation accidentelle.

#### a.2) Contrainte à ELS

Elle dépend de l'état de fissuration :

Fissuration peu préjudiciable : Pas de limitation.

Fissuration préjudiciable :  $\sigma_{st} \le \overline{\sigma_{st}} = \min(\frac{2}{3}f_e, 110.\sqrt{\eta.f_{tj}})$ .

Fissuration très préjudiciable :  $\sigma_{st} \le \overline{\sigma_{st}} = \min(\frac{1}{2}f_e, 90.\sqrt{\eta.f_{tj}})$ .

 $\eta$ : Coefficient de fissuration ( $\eta$  =1 pour les RL,  $\eta$  =1.6 pour les HA).

 $\triangleright$   $\sigma_s = 347.83 MPa$  en cas de Fissuration peu préjudiciable.

 $\triangleright$   $\sigma_s = 192.79 \text{MPa}$  en cas de Fissuration préjudiciable.

 $ightharpoonup \sigma_s = 157.74 MPa$  en cas de Fissuration très préjudiciable.

# **I.8 Conclusion**

Ce chapitre à concerne rune vue globale sur notre projet, les différents règlements à utiliser, ainsi les caractéristiques des matériaux à adopter.

Chapitre II : Pré dimensionnement des éléments de structures et évaluation des charges.

#### II.1 Introduction

Le but du pré dimensionnementest définir les dimensions des différents éléments de la structure, ces dimensions sont choisies selon les préconisations du RPA 99/Version 2003, BAEL 91 modifié 99 et du CBA93 (Règle de Conception et de Calcul des Structures en Béton Arme CBA93). Les résultats obtenus ne sont pas définitifs, ils peuvent être augmentés après vérifications dans la phase du dimensionnement.

## II.2 Pré dimensionnements des éléments non structuraux

#### II.2.1 Planchers

Les planchers sont des plaques minces dont l'épaisseur est faible par rapport aux autres dimensions, elles se reposent sur 2,3 ou 4 appuis. Ils déterminent les niveaux ou les étages d'un bâtiment, elles s'appuient et transmettent aux éléments porteurs (voiles, murs, poteaux, poutres) les charges permanentes et les surcharges d'exploitations. Elles servent aussi à la distribution des efforts horizontaux.

L'épaisseur des dalles dépend plus souvent des conditions d'utilisations que des vérifications de résistance.

# II.2.1.1 Planchers à corps creux

Les plancher à corps creux sont composés de trois éléments principaux :

- Les corps creux « entrevous » qui servent de coffrage perdu.
- Les poutrelles en béton armé ou précontraint
- ➤ Une dalle de compression armée coulée sur les entrevous qui reprend les efforts de compression.

L'épaisseur totale des planchers doit satisfaire les conditions suivantes :

#### a. Condition de flèche :

On détermine l'épaisseur du plancher par la condition de flèche suivante :

$$h_t \ge \frac{L}{22.5}$$

Avec:

h<sub>t</sub>: Hauteur totale du plancher (Epaisseur).

L: La portée maximale entre nus d'appuis dans le sens de la disposition des poutrelles.

 $L_{\text{max}} = 3.7 \text{ m}.$ 

$$\frac{h_{t}}{L_{\text{max}}} \ge \frac{1}{22.5} = h_{t} \ge \frac{L_{\text{max}}}{22.5}$$

$$h_t \ge \frac{370}{22.5}$$

 $h_t \ge 16.44 \text{ cm}$ 

Donc en adopte :  $h_t = 20$  cm.

Dalle de compression = 4 cm.

Corps creux = 16 cm.

#### b. Résistance au feu :

D'après le BEAL 91:

• e = 7 cm, pour une heure de coupe-feu.

• e = 11 cm, pour deux heures de coupe-feu.

• e = 17.5cm, pour quatre heures de coupe-feu.

On admet que : e = 16cm.

## c. Isolation phonique:

Selon les règles techniques « CBA93 » en vigueur en l'Algérie, l'épaisseur du plancher doit être supérieure ou égale à 13 cm pour obtenir une bonne isolation acoustique.

On admet que : e = 14cm.

Donc on adoptera un épaisseur  $h_t = 20$ cm, dalle en corps-creux ( $h_c = 16$ ;  $h_0 = 4$ ) cm.

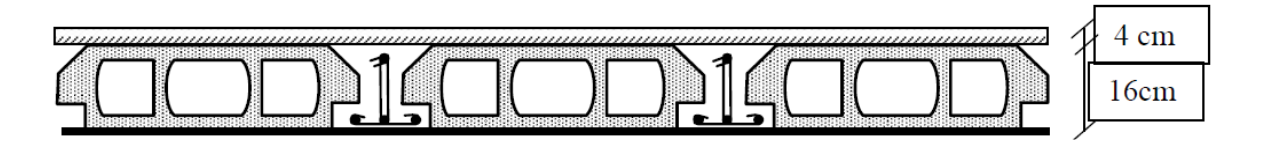


Figure II.1: Plancher à corps creux

#### a. Poutrelles

Le dimensionnement des poutrelles se fait suivant :

h = 20 cm.

 $b_0 = (0.4 \text{ à } 0.6) \text{ x } h_t = (08 \text{ à } 12)$ 

On adopte :  $b_0 = 10$  cm.

$$b = 2 \cdot b_1 + b_0$$

$$b_1 \ge \min\left(\frac{L_x}{2}; \frac{L_{\max}}{10}\right)$$

Avec:

 $L_x$ : représente la distance entre poutrelles ( $l_x = 55$  cm).

 $L_{max}$ : représente la distance entre nus d'appuis des poutres secondaires ( $L_{max} = 370$  cm).

Tel que:

$$L_x = b - b0 = 65 - 10 = 55$$
 cm.

$$b_1 \ge \min\left(\frac{55}{2}; \frac{370}{10}\right) = \min(27.5; 37) \text{ cm}$$

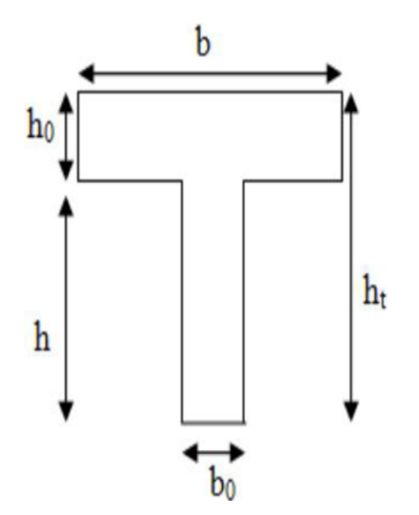
On adopte:

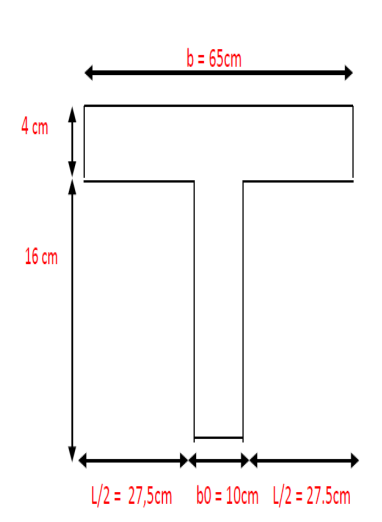
 $b_1 = 27.5$  cm

Pour la vérification :

$$b = 2b1 + b0 = 2(27,5) + 10 = 65 \text{ cm}$$
.

3.85 (yy') cuisin chambre chambre 4.55 cuisin SDB SDB Hall 1435 525 Hall depot (c) Sallon Sallon 455 3.00 3.00 - <del>-</del>0 4 1 2 3 (6) 7 (8)





Poutrelle

(xx')

Figure II.2: Poutrelle

# II.2.1.2 Dalles pleine

L'épaisseur des dalles est déterminée à partir des conditions ci-après :

#### a. Résistance au feu

- e = 7 cm: pour une heure de coupe-feu.
- e = 11 cm : pour deux heures de coupe-feu.
- e = 17.5 cm : pour quatre heures de coupe-feu.

On admet que : e = 15 cm.

#### b. Résistance à la flexion

Les conditions qui doivent vérifier selon le nombre des appuis sont les suivantes :

• Pour une dalle sur un seul appui:

$$e \ge \frac{L_x}{20}$$

• Dalle reposant sur deux appuis :

$$\rho = \frac{l_x}{l_y} < 0.4 \frac{l_x}{35} \le e \le \frac{l_x}{30}$$

• Dalle reposant sur trois ou quatre appuis :

$$0.4 \le \rho \le 1 \frac{l_x}{50} \le e \le \frac{l_x}{40}$$

• l<sub>x</sub>: Est la petite portée l<sub>x</sub>< l<sub>y</sub>du panneau le plus sollicité.

$$L_x = 1.2m$$
 $L_y = 3.85$ 

$$\rho = \frac{L_x}{L_y} = \frac{120}{385} = 0.311$$

 $\rho = 0.311 < 0.4$  La dalle travaille dans un seul sens (comme une console)

$$\frac{l_x}{35} \le e \le \frac{l_x}{30} \quad \frac{120}{35} \le e \le \frac{120}{30}$$

 $3.42 \le e \le 4 \text{ e} = 15$ 

#### c. Résistance à la flexion

Selon les règles techniques (CBA93) en vigueur en l'Algérie l'épaisseur du plancher doit être supérieure ou égale à 13cm pour obtenir une bonne isolation acoustique. On limite donc notre épaisseur **e =15cm.** 

# II.2.2Évaluation des charges

Le calcul des charges et surcharges est effectué selon DTR-BC2.2

## • Plancher terrasse (16+4).

**Tableau II.1:** Charge pour plancher terrasse (inaccessible)

Désignation	épaisseur	Densité (KN/m)	$G(KN/m^2)$	$Q (KN/m^2)$
Protection gravillon	4	20	0.80	
Etanchéité multicouche	2	6	0.12	
Forme de pente	10	26.4	2.64	
Isolation thermique en liège	4	4	0.16	
Plancher corps creux	20	14	2.80	
Enduit en plâtre sous plafond	2	10	0.20	
TOTAL			6.72	1.00

# • Plancher courant (16+4)

**Tableau II.2:** Charge pour plancher courant (accessible)

Désignation	épaisseur	Densité (KN/m)	G (KN/m <sup>2</sup> )	$Q (KN/m^2)$
Revêtement en carrelage	2	22	0.44	
Mortier de ciment	2	20	0.40	
Mortier de pose (sable fin)	2	17.5	0.35	
corps creux	20	14.25	2.85	
Enduit en plâtre	2	10	0.20	
Cloisons	10	9	0.90	
TOTAL			5.14	1.50

## • Murs extérieurs :

Tableau II.3: Evaluation des charges des cloisons extérieures

Désignation	Epaisseur	Densité (KN/m)	G (KN/m <sup>2</sup> )
Enduit intérieur en ciment	2	18	0.36
Brique creuse	15	9	1.35
Brique creuse	10	9	0.90
Enduit extérieur en ciment	2	10	0.20
TOTAL			2.81

## • Murs intérieurs :

**Tableau II.4 :** Evaluation des charges des cloisons extérieures.

Désignation	épaisseur	Densité (KN/m)	G (KN/m <sup>2</sup> )
Enduit extérieur en ciment	2	18	0.36
Brique creuse	10	9	0.90
Enduit intérieur en ciment	2	18	0.36
TOTAL			1.62

#### • Acrotère:

C'est un élément en béton armé, encastré au niveau du plancher terrasse et ayant pour rôle d'empêcher l'infiltration des eaux pluviales entre la forme de pente et le plancher terrasse, Pour la terrasse inaccessible on prend cm (h= 60cm).

 $G_{l'acrot\`ere} = Poids volumique x S_{l'acrot\`ere}$ 

La surface de l'acrotère est :

$$S = (0.02 \times 0.1)/2 + (0.08 \times 0.1) + (0.1 \times 0.6) = 0.069 \text{ m}^2$$

Le poids propre de l'acrotère est :

$$P=(0.069\times25)=1.72 \text{ KN/m}$$

$$G = 1.72 \text{ KN/m}$$
  
 $Q = 1.00 \text{ KN/m}$ 

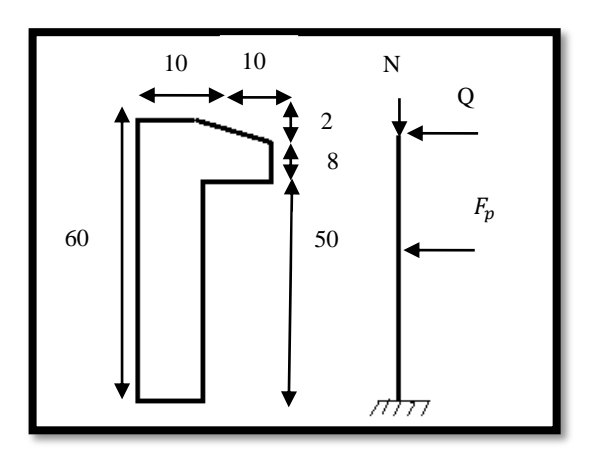


Figure II.3: schéma statique de l'acrotère.

#### • Escalier :

Un escalier est un élément secondaire qui sert à relier les différents niveaux d'une construction, son utilisation régulière un bon dimensionnement afin d'assurer une sécurité etun confort aux usagers.

Les escaliers peuvent être en béton armé, en acier ou en bois.

(1) : e (Epaisseur du palier de repos)

(2) :L<sub>0</sub> (projection horizontale de paillasse

(3): g (Giron)

(4): h (Hauteur de la contre marche)

(5) :  $H_0$  (Hauteur de la volée

(6) :  $\alpha$  (Inclinaison de la paillasse)

(7):(Emmarchement)

H: Hauteur d'étage

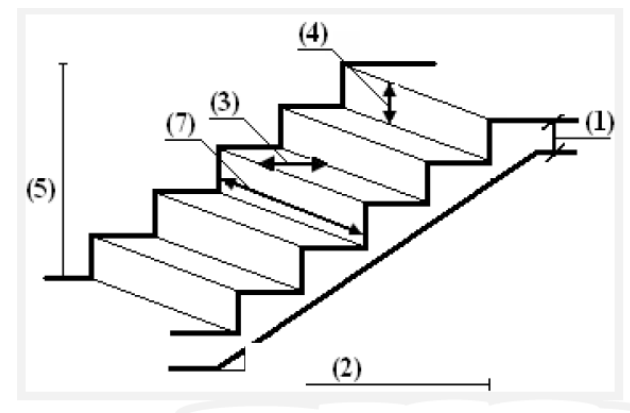


Fig.II.3. Schéma de l'escalier

Pour le dimensionnement des marches (g) et les contre marche (h) on utilise la formule de **BLONDEL** : 59 < 2h+g < 66.

Avec:

$$\begin{cases} h = \frac{H}{n} \\ g = \frac{L}{n-1} \end{cases}$$

n: nombre de contre marche.

H: hauteur de la volée.

L : La projection de la longueur de volée.

Soit: H = 1.53 m. L = 2.4 m.

$$g + 2h \approx 64cm \quad \Rightarrow \quad 2 \quad \frac{H}{n} \, + \, \frac{L}{n-1} \, = 64 \quad \Rightarrow \quad 2H(n\text{-}1) \, + Ln \quad \approx 0.64 \times n \times (n\text{-}1)$$

$$3.40 (n-1) + 2.4n = 0.64 n (n-1)$$

Après la résolution, on trouve: n = 9 contres marches.

Donc:

On adopte:

$$h = 17 \text{ cm} = 0.17 \text{ m}$$

$$g = 30 \text{ cm} = 0.30 \text{ m}$$

$$n = H/h = 1.53/0,17 = 9$$
 contre marches, donc on aura : 8 marches

Note:

Les longueurs desdeux paliers : 1.3 m ; 0.85 m

#### • Epaisseur de la volée (l'épaisseur de la paillasse)

Elle est déterminée e respectant la condition de la flèche

$$\frac{L}{30} < e < \frac{L}{20}$$

 $L_P = 2.84 + 1.3 + 0.85 = 4.99 \text{ m}$ 

16.63cm < e < 24.95 cm

On prend : e = 18 cm.

## • Palier:

Tableau II.5: Evaluation des charges du palier

Désignation des éléments	Epaisseur (cm)	Densité (KN/m³)	Poids (KN/m <sup>2</sup> )
Carrelage	2	20	0.4
Mortier de pose	2	20	0.4
Lit de sable	2	18	0.36
Dalle en BA	18	25	4.5
Enduit ciment	2	18	0.36
Charg	G = 6.02		
Surcl	Q = 2,50		

# • La volée:

**Tableau II.6 :** Evaluation des charges de la volée (la paillasse)

Désignation des éléments	Epaisseur (cm)	Densité (KN/m³)	Poids (KN/m <sup>2</sup> )		
Carrelage verticale	2	20	0.40		
Carrelage horizontale	2	20	0.40		
Mortier de pose	2	20	0,40		
Lit de sable	2	18	0,36		
Paillasse	18/ (cosα)	25	5.33		
Gardes corps	//	//	1.0		
Marches	17*(1/2)	22	1,87		
Enduit ciment	2/(cosa)	18	0,426		
Charge	G = 10.186				
Surcha	Surcharge d'exploitation				

## • Balcon:

Tableau II.7: Evaluation des charges du balcon.

Désignation des éléments	Epaisseur (cm)	Densité (KN/m³)	Poids (KN/m <sup>2</sup> )
Revêtement carrelage	2	20	0.40
Mortier de pose	2	20	0.40
Lit de sable	2	20	0,40
Enduit en ciment	2	18	0,36
Dalle pleine	15	25	3.75
Cloison de séparation	//	//	0,6
Charge	G = 5.91		
Surcha	Q = 3.50		

Dans notre étude, les hypothèses de calcul adoptées sont :

• Murs extérieurs: 2.81KN/m<sup>2</sup>

• Murs intérieurs: 1.62KN/m<sup>2</sup>

Acrotère: 1.7125 KN/ml

• Escalier : $G = 6.02 \text{ KN/m}^2$  (surcharge permanente pour palier de repos)

 $G = 10.186 \text{ KN/m}^2\text{(surcharge permanente pour paillasse)}$ 

 $Q = 2.50 KN/m^2$ 

• **Balcon** :  $G = 5.91 \text{KN/m}^2$ 

 $Q = 3.50 \text{ KN/m}^2$ 

#### II.3Prédimensionnement des éléments structuraux

#### **II.3.1 Poutres**

Ce sont des éléments porteurs en béton armé à ligne moyenne rectiligne, dont la portée est prise entre nus d'appuis.

#### a. Poutres principales

Selon le règlement B.A.E.L 91 mod 99 les poutres seront pré dimensionné par la condition de la flèche et elles sont vérifiées par le R.P.A99 version 2003.

$$\frac{L_{\max}}{15} \le h_t \le \frac{L_{\max}}{10}$$

$$0.4h_t \le b \le 0.7h_t$$

Avec : ht: hauteur de la poutre.

 $L_{max}$ : distance maximale entre nus d'appuis ( $L = L_{max} = 4.65 \text{m}$ )

D'où:

$$\frac{465}{15} \le h_t \le \frac{465}{10} \implies 31 \le h_t \le 46.5$$
 Donc: soit  $h_t = 40$  cm et  $b = 35$  cm

## Vérification:

On doit vérifier les dimensions adoptées aux exigences du RPA (Art : 7.5.1 RPA 99 version2003) qui sont les suivantes :

Donc on adopte une poutre principale de section  $(35*40)cm^2$ .

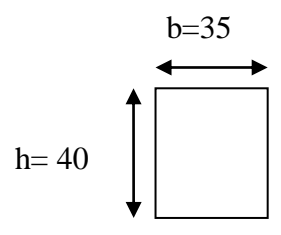
Vérification selon RPA 99 version 2003:

 $b \ge 20 \text{cmb} = 35 \text{cm} > 20 \text{cm}$  vérifiée.

 $h \ge 30 cm \longrightarrow h=40 cm > 30 cm \dots vérifiée.$ 

$$\frac{h}{b} < 4 \longrightarrow \frac{40}{35} = 1.14 < 4 \qquad \text{vérifiée.}$$

Les condition du RPA sont vérifiées donc la poutre pricipale à une sectio de (35\*40) cm².



## b. Poutres secondaires

$$\frac{L_{\text{max}}}{15} \le h_t \le \frac{L_{\text{max}}}{10}$$
$$0.4h_t \le b \le 0.7h_t$$

Avec : ht: hauteur de la poutre.

 $L_{max}$ : distance maximale entre nus d'appuis ( $L = L_{max} = 3.45 \text{ m}$ )

D'où:

$$\frac{345}{15} \le h_t \le \frac{345}{10} \Rightarrow 23 \le h_t \le 34.5 \quad \text{Donc: soit } h_t = 35 \text{ cm. et } b = 30 \text{ cm.}$$

#### **Vérification:**

On doit vérifier les dimensions adoptées aux exigences du RPA (Art : 7.5.1 RPA 99 version 2003) qui sont les suivantes:

Donc on adopte une poutre principale de section  $(35*40)cm^2$ .

Vérification selon RPA 99 version 2003:

$$b \ge 20cm$$
  $\longrightarrow$  b=30cm >20cm .....vérifiée.

$$h \ge 30 cm$$
  $\longrightarrow$  h=35cm  $\ge 30 cm$  ......vérifiée.

$$\frac{h}{b} < 4$$
  $\longrightarrow$   $\frac{35}{30} = 1.16 < 4$  ..... vérifiée.

Les condition du RPA sont vérifiées donc la poutre pricipale à une sectio de (30\*35) cm<sup>2</sup>.

## II.3.2 Poteaux

Le pré dimensionnement des poteaux se fera en fonction des sollicitations de calcul encompression simple à l'ELU.

Les dimensions de la section transversale des poteaux selon le RPA99, doivent satisfaire lesconditions suivantes pour la zone IIa.

$$\begin{cases} Min(b,h) \ge 25cm \\ Min(b,h) \ge \frac{h_e}{20}cm \\ 0.25 \le \frac{b}{h} \le 4 \end{cases}$$

On fixera les dimensions des poteaux après avoir effectué la descente de charge, tout envérifiant les recommandations du RPA99/version 2003 citées ci-dessus.

Les dimensions des poteaux supposées:

Selon BAEL 91.

$$b \ge \frac{l_f}{14.4}$$

 $L_f$ : longueur de flambment est  $(0,7L_0)$ .

 $L_0$ : hauteur de RDC et l'étage= 306 cm.

$$L_f = 306*0,7=214.2$$
 cm.

Donc:

$$b \ge \frac{214.2}{14.4}$$

$$b \ge 14.85$$

On adopet: b=60cm.

Vérification selon RPA:

On a: b=60cm et h=60 cm.

$$\frac{1}{4} \le \frac{b}{h} \le 4$$
  $\longrightarrow$   $\frac{1}{4} \le \frac{60}{60} \le 4$   $\longrightarrow$   $h = 60cm \dots$  vérifiée.

 $Min(b,h) \ge 25$   $\longleftrightarrow$   $Min(60,60)cm \ge 25cm \dots vérifiée.$ 

Tous les condition sont vérifiées donc le poteau à une sectio de (60\*60) cm² pour RDC (55\*55)cm² pour 1<sup>ére</sup> et 2<sup>eme</sup> étage ,et 45\*45 cm² pour les autre étage de la structure.

# II.3.2 Descente de charges :

Afin d'assurer la résistance et la stabilité de l'ouvrage, une distribution des charges et surcharges pour chaque élément nécessaire. La descente des charges permet l'évaluation de la plus part des charges revenant à chaque élément de la structure, on aura à considérer :

- o le poids propre de l'élément.
- o la charge de plancher qu'il supporte.
- o la part de cloison répartie qui lui revient.
- o les éléments secondaires (escalier, acrotère...)

La descente de charge se fait du niveau le plus haut (charpente ou toiture terrasse) vers leniveau inférieur et cela jusqu'au niveau le plus bas (les fondations).

Nous appliquons les lois de dégression uniquement pour les étages à usages d'habitation.

## • Surcharges différentes selon la loi de dégression:

- Sous la terrasse: Q<sub>0</sub>.

Sous le premier étage à partir du sommet: Q<sub>0</sub> + Q<sub>1</sub>.

Sous le deuxième étage:  $Q_0 + 0.95 \cdot (Q_1 + Q_2)$ .

Sous le troisième étage:  $Q_0 + 0.90 \cdot (Q_1 + Q_2 + Q_3)$ .

Pour n étage (n  $\geq$  5) :  $Q_0 + \frac{3+n}{2 \cdot n} \cdot (Q_1 + Q_2 + Q_3 + Q_4 + ..... + Q_n)$ .

#### • Poteau le plus sollicitée:

La surface afférente:

$$S = [(1.85+1.75) \times (2.475+2.125)] - [12\times(0.15\times0.125)] = 16.33 \text{ cm}^2.$$

Les charges et surcharges:

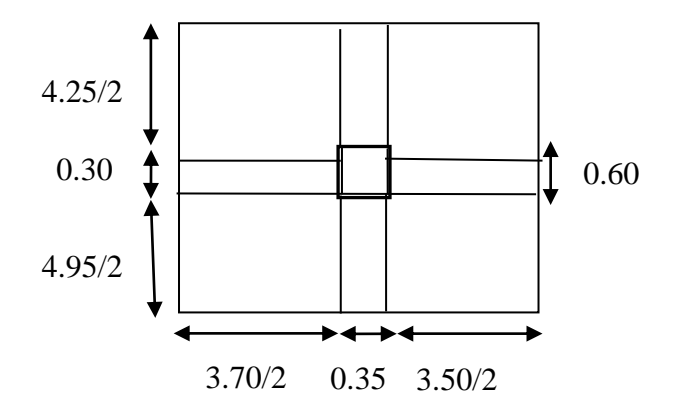


Figure II.5: Surface afférente du poteau.

Plancher terrasse:

$$\begin{cases} G = 16.33 * 6.72 = 109.73 KN \\ Q = 16.33 * 1 = 16.33 KN \end{cases}$$

Plancher étages:

$$\begin{cases} G = 16.33 * 5.14 = 83.936KN \\ Q = 16.33 * 1.5 = 24.495KN \end{cases}$$

Les poutres:

$$\begin{cases} G_{pp} = 4.3*0.35*0.40*25 = 15.05KN \\ G_{PS} = 3.35*0.30*0.35*25 = 8.79KN \end{cases}$$

#### a)Poteaux:

 $G_{Pot} = S. 25. he$ 

**Tableau II.8:**Évaluation des poids propres des poteaux.

Étage	RDC + 8 étages
S (m <sup>2</sup> )	0.36
Gp	27.54

## Application de la dégression

- Un bâtiment en béton armé (R+8) à usage d'habitation:
- Plancher RDC Q=1.5 KN/m<sup>2</sup>.
- Plancher 1<sup>er</sup> au 8<sup>éme</sup> (habitations) Q=1,5 KN/m<sup>2</sup>.
- Plancher terrasse (non accessible) Q=1 KN/m<sup>2</sup>.

Comme les charges d'exploitation n'agissent pas en même temps, alors on applique la loi dedégression.

On a le nombre d'étage est supérieur à 5, donc le coefficient  $(\frac{3+n}{2n})$  étant valable, et on obtient les valeurs suivantes : La loi de dégression ne s'applique pas pour les planchers à usage commercial, les charges vont se sommer avec leurs valeurs réelles (sans coefficients).

. Pour nétage (n  $\geq$  5 )  $Q_0 + \frac{3+n}{2 \cdot n} \cdot (Q_1 + Q_2 + Q_3 + Q_4 + \ldots + Q_n).$ 

Tableau II.9: Dégression des charges d'exploitation

Niveau	Dégression des charges par niveau	La charge(KN/m²)
8	Nq <sub>0</sub> =1,00	1
7	Nq1=q0+q1	2.5
6	Nq2=q0+0,95 (q1+q2)	3,85
5	Nq3=q0+0,90 (q1+q2+q3)	5,05
4	Nq4=q0+0,85 (q1+q2+q3+q4)	6,1
3	$Nq_5=q_0+0.80(q_1+q_2+q_3+q_4+q_5)$	7
2	$Nq_6=q_0+0.75(q_1+q_2+q_3+q_4+q_5+q_6)$	7.75
1	$Nq_7 = q_0 + 0.714(q_1 + q_2 + q_3 + q_4 + q_5 + q_6 + q_7)$	8.497
RDC	Nq8=q0+0,687(q1+q2+q3+q4+q5+ q6+ q7+ q8)	9.244

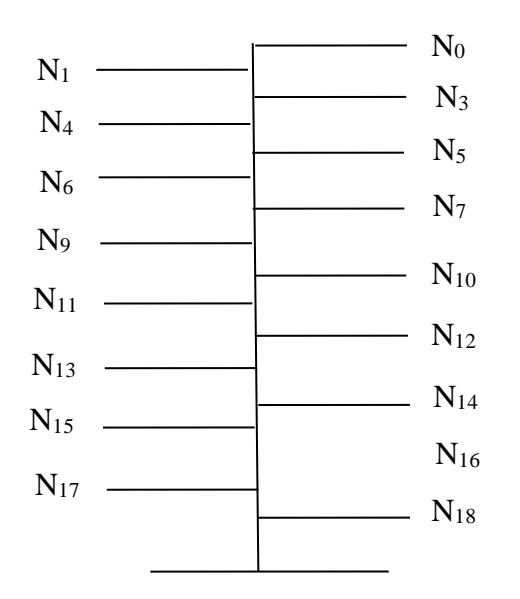


Figure II.6: Schéma statique de la descente de charge.

# Descente de charges

Tableau II.10 :Descente de charge du poteau.

Niveau	Éléments	G(KN)	Q(KN)

	Plancher terrasse	110.27	
$N_1$	$G_{pp}$ (35 x 40) cm <sup>2</sup>	15.57	
	$G_{ps}(30 \times 35) \text{ cm}^2$	9.18	
	Total	135.02	16.51
	Venant N <sub>1</sub>	135.02	
$N_2$	Poteau (45 x 45) cm <sup>2</sup>	15.49	
	Total	150.51	
	Venant N2	150.51	
	Plancher étage	84.86	
$N_3$	Gpp $(35 \times 40) \text{ cm}^2$	15.57	
	Gps (30 x 35) cm <sup>2</sup>	9.18	
	Total	260.12	41.275
	Venant N <sub>3</sub>	260.12	
	Poteau (45 x 45) cm <sup>2</sup>	15.49	
$N_4$	Total	275.61	
	Venant N4	275.61	
	Plancher étage	84.86	
$N_5$	Gpp (35 x 40) cm <sup>2</sup>	15.57	
	Gps (30 x 35) cm <sup>2</sup>	9.18	
	Total	385.22	63.56
	Venant N <sub>5</sub>	385.22	
$N_6$	Poteau (45 x 45) cm <sup>2</sup>	15.49	
	Total	400.71	
	Venant N6	400.71	
	Plancher étage	84.86	
$N_7$	Gpp $(35 \times 40) \text{ cm}^2$	15.57	
	Gps (30 x 35) cm <sup>2</sup>	9.18	
	Total	510.32	83.37
	Venant de N <sub>7</sub>	510.32	
	Poteau (45 x 45) cm <sup>2</sup>	15.49	
N <sub>8</sub>	Total	525.81	
	Venant de N <sub>8</sub>	525.81	
	Plancher étage	84.86	
N <sub>9</sub>	Gpp $(35 \times 40) \text{ cm}^2$	15.57	
	Gps (30 x 35) cm <sup>2</sup>	9.18	100.71
	Total	635.42	100.71
	Venant de N <sub>9</sub>	635.42	
N <sub>10</sub>	Poteau (45 x 45) cm <sup>2</sup> Total	15.49	
		650.91	
	Venant de N <sub>10</sub>	650.91	
	Plancher étage	84.86	
N <sub>11</sub>	Gpp $(35 \times 40)$ cm <sup>2</sup>	15.57	
	Gps (30 x 35) cm <sup>2</sup> Total	9.18 760.52	115.57
			113.37
	Venant de N <sub>11</sub> Poteau (45 x 45) cm <sup>2</sup>	760.52 15.49	
	1 016au (43 x 43) CIII <sup>2</sup>	13.47	

N <sub>12</sub>	Total	776.01	
N <sub>13</sub>	Venant de N <sub>12</sub> Plancher étage	776.01 84.86	
1113	Gpp $(35 \times 40) \text{ cm}^2$	15.22	
	Gps (30 x 35) cm <sup>2</sup>	8.92	
	Total	885.01	127.17
	Venant de N <sub>13</sub>	885.01	
N <sub>14</sub>	Poteau (55 x 55) cm <sup>2</sup>	23.14	
	Total	908.15	
	Venant de N <sub>14</sub>	908.15	
	Plancher étage	84.86	
N <sub>15</sub>	Gpp (35 x 40) cm <sup>2</sup>	15.22	
	Gps (30 x 35) cm <sup>2</sup>	8.92	
	Total	1017.15	139.43
	Venant de N <sub>15</sub>	1017.15	
N <sub>16</sub>	Poteau (55 x 55) cm <sup>2</sup>	23.14	
	Total	1040.29	
	Venant de N <sub>16</sub>	1040.29	
	Plancher étage	83.936	
$N_{17}$	Gpp (35 x 40) cm <sup>2</sup>	15.05	
	Gps (30 x 35) cm <sup>2</sup>	8.79	
	Total	1148.066	150.95
N <sub>18</sub>	Venant de N <sub>15</sub>	1148.066	
	Poteau (60 x 60) cm <sup>2</sup>	27.54	
	Total	1175.606	
	Total	G= 1175.606	Q=150.95

#### **!** Les vérifications nécessaires

#### a) Poteau RDC:

## • L'effort normal ultime

$$N_u = 1.35G + 1.5Q = 1.35*1175.606 + 1.5*150.95 = 1813.49KN$$

Selon le CBA93 (article B.8.11) on doit majorer l'effort normal de compression ultime  $N_u$  de **15%** tel que:  $N_u = 1.15x$  (1.35G+1.5Q).

Donc Nu= 1.15x1813.49= **2085.51KN**.

## Vérification à la compression simple:

On doit vérifier la condition suivante :

$$\frac{N_u}{B} \le 0.6 \times f_{c28}$$
 Avec B: section du béton.  
 $B \ge \frac{N_u}{0.6 * f_{c28}} \Rightarrow B \ge \frac{2085.51 * 10^{-3}}{0.6 * 25} = 0.139 m^2$ 

On a:  $B = 0.36 \text{ m}^2$ 

 $B=0.36 \text{ m}^2>0.139 \text{ m}^2.....$ Condition vérifiée.

#### Vérification au flambement:

On doit faire la vérification suivante:

$$N_{\mathfrak{u}} \leq \alpha \times \left[ \frac{B_{r} \times f_{\text{c28}}}{0.9 \times \gamma_{\text{b}}} + \frac{A_{\text{s}} \times f_{\text{e}}}{\gamma_{\text{s}}} \right]$$

$$B_r \ge \frac{N_u}{\alpha * \left(\frac{f_{c28}}{0.9 * \gamma_b} + \frac{A_s * f_e}{B_r * \gamma_s}\right)}$$

B<sub>r</sub>: Section réduite du béton.

A<sub>s</sub> : Section des armatures.

γ<sub>b</sub>: coefficient de sécurité de béton.

γ<sub>s</sub>: coefficient de sécurité des aciers

 $\alpha$ : Coefficient en fonction de l'élancement  $\lambda$ .

$$\alpha = \begin{cases} \frac{0.85}{1 + 0.2 \times (\frac{\lambda}{35})^2} \rightarrow 0 < \lambda \le 50. \\ 1 + 0.6 \times (\frac{50}{\lambda})^2 \rightarrow 50 < \lambda \le 70. \end{cases}$$

On calcule l'élancement  $\lambda = \frac{l_f}{l_f}$ 

 $l_f$ : Longueur de flambement.

 $l_0:$  Longueur du poteau.

$$i$$
: Rayon de giration :  $i = \sqrt{\frac{I}{B}}$ 

I:Moment d'inertie : 
$$I = \frac{b_1 \times h_1^3}{12}$$

$$l_f = 0.7 * l_0 = 0.7 * 3.06 = 2.142m$$
  
 $B = 0.36m^2$ 

$$I = \frac{0.1296}{12} = 0.0108m^{4}$$

$$i = \sqrt{\frac{0.0108}{0.36}} = 0.173$$

$$\lambda = \frac{2.142}{0.173} = 12.38 < 50 \Rightarrow \alpha = \frac{0.85}{1 + 0.2 * \left(\frac{12.38}{35}\right)^{2}} = 0.829$$

$$B_{r} \ge \frac{2085.51 * 10^{-3}}{0.829 * \left(\frac{f_{c28}}{0.9 * \gamma_{b}} + \frac{A_{s} * f_{e}}{B_{r} * \gamma_{s}}\right)} = 0.117m^{2}$$

$$B_r \ge \frac{2085.51 + 10^{-3}}{0.829 * \left(\frac{25}{0.9 * 1.5} + \frac{8 * 400}{1000 * 1.15}\right)} = 0.117m^{\frac{1}{2}}$$

Zone I	$A_s = 0.7\% \times B_r$
Zone IIa	$A_s = 0.8\% \times B_r$
Zone III	$A_s = 0.9\% \times B_r$
Zone III	$A_s = 0.9\% \times B_r$

Nous avons:

$$B_r = (60-2) * (60-2)*10^{-4} = 0.3364 \text{ m}^2$$

 $0.3364 \text{ m}^2 > 0.117 \text{ m}^2 \dots$  donc le poteau ne risque pas de flamber.

#### II.3.3 Voile:

#### a. Définition et Prédimensionnement des voiles :

L'épaisseur des murs voile (voile périphérique ou de contreventement) se fait selon les règles parasismiques algériennes (version 2003).

D'où leur l'épaisseur minimale est de 15 cm. De plus, l'épaisseur doit être déterminée en fonction de la hauteur libre d'étage (h<sub>e</sub>) et des conditions de rigidité aux extrémités.

Les voiles servent, d'une part, à contreventer le bâtiment en reprenant les efforts horizontaux (séisme et ou vent), et d'autre part, à reprendre les efforts verticaux (charges et surcharges) et les transmettent aux fondations. D'après le RPA99 version 2003 (article 7.7.1) sont considérés comme voiles les éléments satisfaisant à la condition:  $L \ge 4e$ . Dans le cas contraire, les éléments sont considérés comme des éléments linéaires.

$$e \ge \frac{h_e}{22} \Rightarrow e \ge 15cm$$
  
 $e \ge \max(e_{\min}; \frac{h_e}{22})$  (Conditions de rigidité aux extrémités).

#### Avec

L: longueur du voile. e: épaisseur du voile. h<sub>e</sub>: hauteur d'étage.

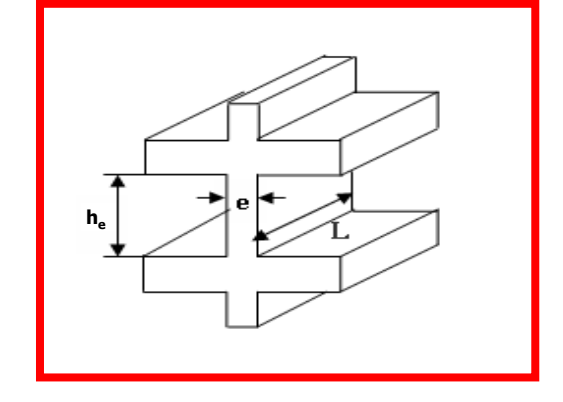


Figure II.7: Coupe de voile en élévation

Exemple:

On a:

h<sub>e</sub> = 3.06 m .....pourR.D.C et étage courant.

On a; 
$$e \ge \frac{306}{22} \Rightarrow e \ge 13.90cm$$

On adopte:

e= 15 cm.....pour R.D.C et étage courant.

Pour qu'un voile soit considéré comme un élément de contreventement la largeur minimale doit être:

 $L_{\min} \ge 4e$  donc on adopte:  $L_{\min} \ge 80cm$ .

On a: $L_{min}$ = 120 cm.....C'est vérifier.

## **II.4 Conclusion:**

Après avoir pré dimensionné tous les éléments (planchers, poutres, poteaux, escaliers et voiles) on passe au chapitre suivant pour l'étude des éléments secondaires.

Chapitre III : Calcul des éléments secondaires

#### III Calcul des éléments secondaires

#### III.1Introduction

Dans toute structure, on distingue deux types d'éléments :

- Les éléments porteurs principaux qui contribuent aux contreventements directement.
- Les éléments secondaires qui ne participent pas au contreventement de la structure.

Ainsi l'escalier et l'acrotère sont considérés comme des éléments secondaires dont l'étude est indépendante de l'action sismique (puisqu'ils ne contribuent pas directement à la reprise de ces efforts), mais ils sont considérés comme dépendant de la géométrie interne de la structure.

#### III.2 Calcul de l'acrotère

#### a) Introduction

L'acrotère est un élément structural contournant le sommet du bâtiment conçu pour laprotection de la ligne conjonctive entre lui-même et la forme de pente contre l'infiltration deseaux pluviales.

Il est réalisé en béton armé. Soumis à son poids propre et à une surcharge horizontaledue à la main courante. Il est assimilé à une console encastrée au plancher terrasse. La sectionla plus dangereuse se trouve au niveau de l'encastrement. Le calcul se fera en flexioncomposée dans la section d'encastrement pour une bande de 1 m linéaire. L'acrotère estexposé aux intempéries, donc la fissuration est préjudiciable, dans ce cas le calcul se fera à

l'ELU, et à l'ELS. Les dimensions de l'acrotère sont données dans la figure (figure. III.1)

#### b) Evaluation des Charges:

Poids propre de l'acrotère : G = 1.72 KN/mlSurcharge (la main courante) : Q = 1.00 KN/ml

# c) Forces horizontales F<sub>P</sub> sont calculée par la formulesuivante :

 $F_P = 4A \times C_P \times W_P \dots RPA$  99 version 2003 (Art 6.2.3)

**A= 0,15** Coefficient d'accélération de zone (groupe d'usage 2, zone IIa),

C<sub>P</sub>= 0,8 Facteur de force horizontale (*tableau 6.1*, *RPA99/V2003*).

W<sub>P</sub>= Gac= 1.72 KN/ml (Poids propre de l'acrotère).

 $\mathbf{FP} = 4 \times 0.15 \times 0.8 \times 1.72 = 0.82 \text{ KN/ml}$ 

 $\mathbf{F_P} \le 1.5\mathbf{Q}$ ;  $0.82 \le 1.5$  (condition vérifiée)

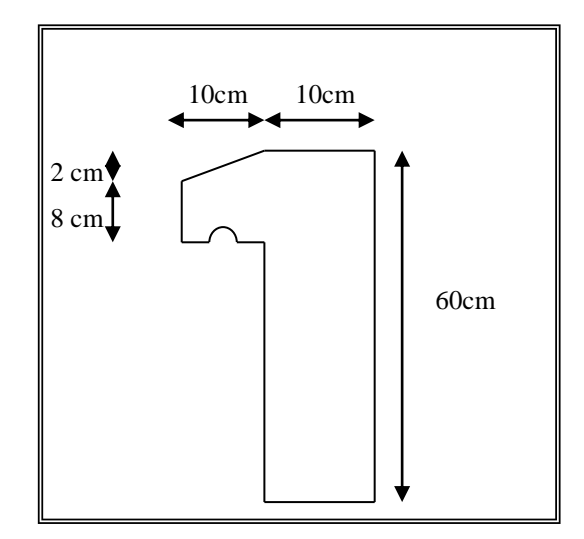


Figure III.1: Type d'acrotère

Donc on fait le calcul avec Q.

#### III.2.1. Sollicitations:

#### a) Etat limite ultime:

$$\begin{aligned} N_u &= 1.35 N_G = 1.35 \times 0.172 = 2.322 \ KN/ml \\ M_u &= 1.5 N_Q.h = 1.5 \times 0.100 \times 0.6 = 0.9 \ KN.m/ml \end{aligned}$$

#### b) Etat limite de service :

$$N_{ser}$$
=  $N_G$  = 0.172 =1.72 KN/ml  $M_{ser}$ =  $N_Q$  = 0.100×0.6 = 0.6KN.m/ml

## III.2.2 Ferraillage:

Le calcul se fait sur une section rectangulaire (Fig.III.2).

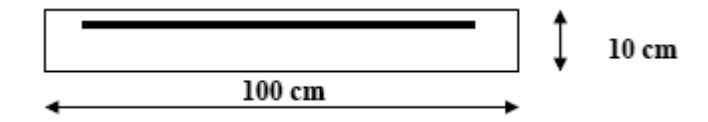


Figure III.2: Section théorique pour le ferraillage de l'acrotère

Les dimensions de la section :

h = 10cm

b = 100cm

$$d = 0.9 h = 0.9 \times 10 = 09 cm$$

La fissuration est considérée comme préjudiciable parce que ce sont des éléments qui sont exposés aux intempéries, (variation de température, eau, neige, etc. ...).Le calcul se fera alors à l'ELU et à l'ELS.

#### • Calcul à l'E.L.U:

Selon l'article A.4-4 du B.A.E.L91, en adoptant une excentricité totale de calcul :

$$e = e_1 + e_2 tel que e_1 = e_0 + e_a$$

e0 : Excentricité de la résultante des contraintes normales.

e2: Excentricité dus aux effets de second ordre.

ea : Excentricité additionnelle.

$$e_0 = \frac{Mu}{Nu} = \frac{0.09}{0.2322} = 0.39 \text{ m}$$

$$e_2 = \frac{3l_f^2}{10^4 \cdot h} (2 + \alpha \phi)$$

Calcul de l'élancement :

$$l_f = 2l_0 = 2 \times 0,6 = 1.2 \text{ m}$$
 $i = \sqrt{\frac{I}{B}} \quad \text{avec:} \quad I = \frac{b \cdot h^3}{12}; B = b \times h \quad ; i = 0.029$ 
 $\lambda = \frac{l_f}{i} = \frac{1.2}{0.029} = 41.38$ 

$$\lambda_{\text{max}} \leq \max (50, \min [67 \times e_0/h, 100])$$

$$\lambda_{\text{max}} \leq 100$$

$$\lambda = 41.38 < 100$$

Donc il n'est pas nécessaire de faire un calcul au flambement.

$$\alpha = 10(1-M_{\rm u}/1,5.M_{\rm ser}) = 0$$

$$e_2 = \frac{3 \times 1, 2^2}{10^4, 0.1} \times 2 = 0,0086 \text{ m}$$

ea> Max 
$$(2cm,1/250) = Max (2cm,60/250) \implies e_a = 0,02 m$$

$$e_1 = 0.39 + 0.02 = 0.41 m$$

$$e = e_1 + e_2 = 0.41 + 0.0086 = 0.419 \text{ m}$$

On a : 
$$\frac{l_f}{h} = 12$$

$$\frac{l_f}{h} \le \text{Max}(15, \frac{20.e1}{h}) = 82 \Rightarrow \text{ On tiendra compte des effets du second ordre.}$$

On majore Nu, Mu ; tel que la méthode forfaitaire consiste à tenir compte des effets dusecond ordre en introduisant l'excentricité totale :

La sollicitation corrigée.

$$N'_{u} = 2.322 \text{ KN}$$

$$M'_u = N'_u \times (e1 + e_2) = 0.2322 \times 0,419 = 0.97 \text{ KN.m}$$

$$M_{ua}=M'_{u}+N'_{u}\times (d-\frac{h}{2})$$

$$M_{ua} = 0.97 + 2.322 \times (0.09 - \frac{0.1}{2})$$

$$M_{ua} = 1.06 \text{ KN.m}$$

Le calcul se fera par assimilation à la flexion simple.

## a/1ère étape : étape fictive :

$$\mu = \frac{M_{ua}}{bd^2 f_{hu}} = \frac{0.106}{0.09^2 \times 14.17} \times 10^{-2} = 0.0092 \Rightarrow \mu = 0.0109 < 0.186 domaine 1.$$

 $\mu$ < 0.186  $\Rightarrow$  pas d'acier comprimé (SSAC)

$$\alpha = 1.25 (1 - \sqrt{1 - 2\mu})$$

$$\alpha = 0.013$$

$$Z = d \times (1 - 0.4\alpha) = 0.089 \text{ m}$$

$$\varepsilon = 10 \%$$

$$\sigma s = 348MPA$$

$$A_1 = \frac{M_u}{Z \times \sigma_s} = (\frac{0.106}{0.089 \times 348}) \times 10^{-2}$$

$$A_s = 0.34 \text{ cm}^2$$

#### b/ 2èmeétape : Retour à la section réelle :

La section des armatures tendues dont la section réelle est (Au).

$$A_{\rm u} = A_{\rm u1} - \frac{N_{\rm u}}{\sigma_{st}}$$

$$Avec: \sigma_{st} = \sigma_{s10}$$

$$A_u = 0.34 \times 10^{-4} - \frac{0.2322 \times 10^{-2}}{348} = 0.27 \text{ cm}^2/\text{ml}$$

#### Calcul à l'ELS

 $M_{ser} = 0.6 KN.m/ml$ 

 $N_{ser} = 1.72 \text{ KN/ml}.$ 

Calcul de l'excentricité

$$e_0 = \frac{M_{ser}}{N_{ser}} = \frac{0.6}{1.72} = 0.35m \Rightarrow e_0 = 35 \text{ cm}$$

$$e_1 = \frac{h_t}{6} = \frac{0.10}{6} = 0.0167 \text{ m} \Rightarrow e_1 = 1.67 \text{ cm}$$

 $e0 > e1 \implies La$  section est partiellement comprimée (SPC)

On calculera la section en flexion simple sous l'effet d'un moment fléchissant par rapport au c.d.g des armatures tendues.

$$M_{\text{ser/A}} = M_{\text{ser}} + N_{\text{ser}} \times (d - \frac{h}{2}) = 0.6 + 1.72 \times (0.09 - \frac{0.1}{2}) = 0.67 \text{ KN.m/ml}$$

La contrainte du béton est donnée / ELS:  $\sigma_{bc} = 0.6 f_{c28} = 15 MPa$ 

La contrainte de l'acier :

Selon la rectification 99du BAEL91

Arti.A.4.5.33 (cas de fissuration préjudiciable).

$$\overline{\sigma}_{st} = \min \left\{ 2/3 f_e; \max \left( 0.5 f_e; 110 \sqrt{\eta f_{tj}} \right) \right\} = 201.63 \text{MPa}$$

$$X = \frac{15 \times \overline{\sigma}_{bc}}{15 \times \overline{\sigma}_{bc} + \overline{\sigma}_{st}} \times d = \frac{15 \times 15}{15 \times 15 + 201.63} \times 0.09 = 0.047 \text{ m}$$

$$Z = d - \frac{X}{3} = 0.09 - \frac{0.047}{3} = 0.074 \text{ m}$$

$$M_1 = \frac{1}{2} bX \, \overline{\sigma}_{bc} Z = 1/2 (1 \times 0.047 \times 15 \times 0.074) = 0.026 \, MN.m/ml$$

$$M_{ser/A} = 0.067 \times 10^{-2} MN.m/ml < M_1 = 0.026 \ MN.m/ml$$

 $M_{\text{ser/A}} < M_1 \Rightarrow \text{Section sans armatures comprimées (SSAC)}$ 

$$A_{\text{ser1}} = \frac{M_{\text{ser}}}{z_{\text{o}}} = \frac{0.067 \times 10^{-2}}{0.074 \times 201.63} = 0.45 \text{ cm}^2$$

$$A_{\text{ser}} = A_{\text{ser}1} - \frac{N_{\text{ser}}}{\overline{\sigma}_{\text{st}}} = 0.45 \times 10^{-4} - \frac{0.172 \times 10^{-2}}{201.63}$$

 $A_{ser} = 0.36 \text{ cm}^2$ 

#### • Condition de non fragilité

$$A_{min} > \frac{0.23b_o df_{t28}}{f_o} = 1.09 \text{ cm}^2/ml$$

Donc As>max  $(A_s; A_{ser}; A_{min})$ 

Qui nous donne  $\frac{4HA8}{2} = 2,01 \text{ cm}^2/\text{ml}$  espacée de 25 cm

### • Armature de répartition :

 $A_r = A_s/4 = 0.5025 \text{ cm}^2$ 

On adopte 4HA6 avec un espacement de 15 cm

## • Vérification au cisaillement:

$$ar{ au}_u = min \; (0.15 \, rac{f_{c28}}{\gamma_b}, \, 4MPa) = \, 2.5MPa$$
 $V_u = 1.5 \times Q = \, 1.5 \; KN/ml$ 
 $au_u = rac{V_u}{b_0 \times d} = rac{1.5}{1 \times 0.09} = 0.017MPa$ 

 $\tau u < \bar{\tau}_u \Rightarrow \text{Condition vérifiée}$ 

Il n'est pas nécessaire de concevoir des armatures transversales, les armatures de répartition sont suffisantes.

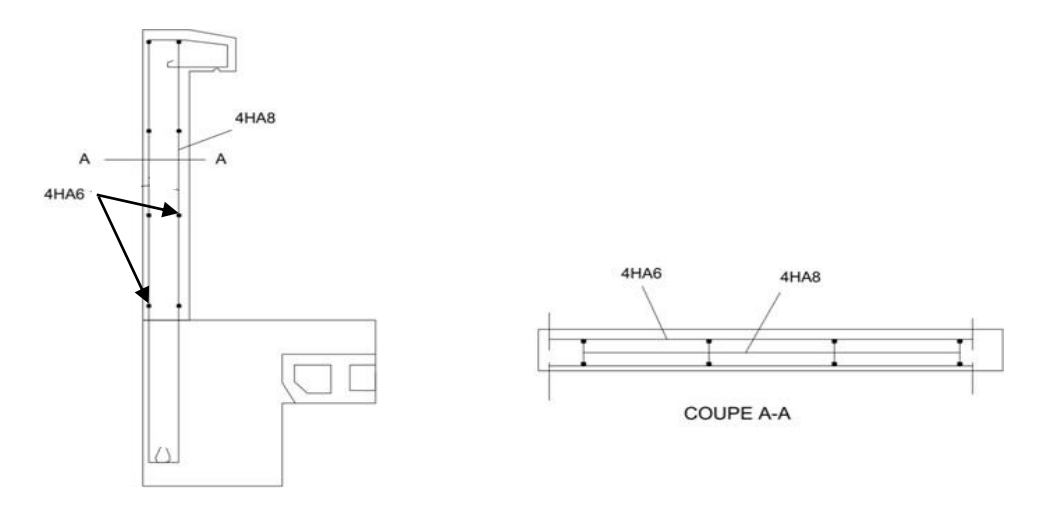


Figure III.3: Disposition constructive des armatures de l'acrotère.

#### III.3 Calcul des balcons

## **III.3.1 Introduction**

Le balcon est constitué d'une dalle pleine encastré dans les poutres, l'épaisseur estconditionnée par : $L/35 < e < L/30 \Rightarrow$  avec L = 1.20 m

 $3.42 \le e \le 4$  on prend : e = 15 cm.

Avec des considérations pratiques (expérience) ; on a vu que l'épaisseur ainsi obtenuen'est pas plus pratique alors on doit major---er à : e = 15 cm.

Les balcons sont des éléments décoration dans les bâtiments, ils sont calculés comme des consoles encastrées.

$$L_x = 1.2m$$

$$L_{\nu} = 3.85$$

$$\rho = \frac{L_x}{L_y} = \frac{120}{385} = 0.311$$

 $\rho = 0.311 < 0.4$  La dalle travaille dans un seul sens (comme une console) 168.75

## • Evaluation des charges

 $G = 5.91 \text{ KN/m}^2$ 

 $Q = 3.5 \text{ KN/m}^2$ 

Pour 1 ml:

G = 5.91 KN/m

Q = 3.50 KN/m

**P**=1KN

Le calcul peut se fait pour une bande de 1 m.

#### III.3.1Sollicitations

Puisque le balcon est exposé aux intempéries, donc le calcul se fera à L'E.L.S.

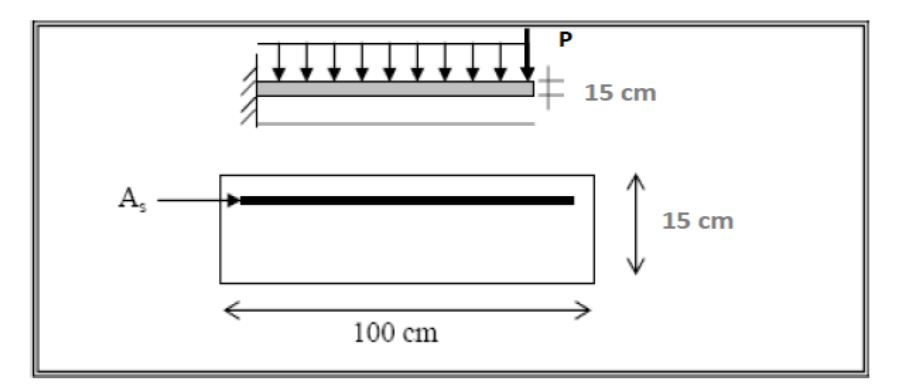


Figure III.4: Section théorique pour le ferraillage du balcon.

#### Combinaisons

#### a/E.L.U

$$q_u = (1,35G+1,5Q) * 1$$

$$q_u = (1, 35 \times 5.91 + 1, 5 \times 3.5) * 1 = 13.23 \text{KN/m}$$

$$P_{u} = 1,35 \times P$$

$$P_u = 1.35 \times 1 = 1.35 \text{ KN}$$

## b/E.L.S

$$q_S = (G+Q) *1 = (5.91+3, 5) *1 = 9.41 \text{ KN}$$

$$P_S = P = 1 \text{KN}$$

#### • Calcul des sollicitations

#### a/E.L.U

$$M_u = \frac{q_u \times L^2}{2} + P_u \times L$$

$$M_u = \frac{13.23 \times 1,2^2}{2} + 1,35 \times 1,2 = 11.146 \text{ KN.m}$$

$$V_u = q_u \times L + P_u$$

$$V_u = 13.23 \times 1.2 + 1.35 = 17.226KN$$

#### b/ELS

$$M_{S} = \frac{q_{S} \times L^{2}}{2} + P_{S} \times L$$

$$M_S = \frac{9.41 \times 1,2^2}{2} + 1 \times 1,2 = 7.98 \, KN.m$$

$$V_S = q_S \times L + P_S$$

$$V_S = 09.41 \times 1.2 + 1 = 12.29 \, KN$$

Le calcul des armatures se fait à la flexion simple :

b=100cm

h=15cm

d=0,9 h=13,5cm

$$M_{\nu} = 10.988 \ KN. m$$

$$\mu_{bu} = \frac{M_u}{f_{bu} \times d^2 \times b} = \frac{11.146 \times 10^6}{14,17 \times 135^2 \times 1000} = 0,043 < \mu l = 0,392 \text{ (les armature comprimée ne sont pas}$$

nécessaires)

$$\alpha = 1,25(1-\sqrt{1-2\mu_{bu}})$$

$$\alpha = 0.055$$

$$Z=d \times (1-0.4\alpha)$$

$$Z=0.132m$$

$$A_s = \frac{M_t}{\sigma_s \times \mathbf{Z}} = \frac{11.146 \times 10^6}{348 \times 132} = 2,42 \text{cm}^2$$

Condition non fragilité:

$$A_{min} \ge 0.23 \times b \times d \times \frac{f_{t28}}{f_e}$$

$$A_{min} \ge 0.23 \times 100 \times 13.5 \times \frac{2.1}{400} = 1.630 \text{cm}^2$$

# Soit: $3HA12 (A_u = 3.39 \text{ cm}^2)$

#### c/ Espacement :

$$\delta_t \leq \min(3 \times h; 33cm)$$

$$\delta_t = 33cm$$

## d/ Armature de répartition :

$$A_r = \frac{A_s}{4}$$

$$A_r = \frac{3,39}{4} = 0,848cm^2$$
  
Soit: 3HA8 (A<sub>s</sub> = 1.50 cm<sup>2</sup>)

e/ Espacement:

$$\delta_t \leq \min(3 \times h; 33cm)$$

$$\delta_t = 33cm$$

#### • Vérification à L'ELU:

### • Vérification des contraintes de cisaillement

$$\tau_u \le \overline{\tau_u}$$

$$\tau_u = \frac{v_u}{bd} = \frac{17.226 \times 10^3}{1000 \times 135}$$

$$\tau_u = 0.127 MPa$$

Fissuration préjudiciable :

$$\overline{\tau_u} = \min(0.15 \frac{f_{c28}}{\gamma_B}; 5MPa)$$

$$\overline{\tau_u} = \min(2.5; 5MPa)$$

$$\overline{\tau_u} = 2.5MPa$$

Donc:

Pas de risque de rupture par cisaillement.

#### • Vérification des contraintes

$$\sigma_{\rm bc} \le \overline{\sigma_{bc}}$$
 $\overline{\sigma_{bc}} = 0.6 \times f_{c28} = 15 \text{ MPa}$ 

$$\sigma_{\rm bc} = \frac{M_{\rm ser} \times y}{I}$$

Position de l'axe neutre :

$$\frac{1}{2}by^{2} + \eta(d - y)A'_{s} + \eta(d - y)A_{s} = 0$$

$$50 \times y^{2} + 15(13,5 - y) \times 0 + \mathbf{15}(13,5 - y) \times 3,39 = 0$$

$$y = 3,23cm$$

Moment d'inertie:

$$I = \frac{1}{3} \times by^{3} + \eta(d - y)A'_{s} + \eta(d - y)A_{s} = 0$$

$$I = \frac{1}{3} \times 100 \times 3,23^{3} + 15(13,5 - y)3,39 = 0$$

$$I=6486,57cm^4$$

$$\sigma_{bc} = \frac{M_{ser} \times y}{I} = \frac{7.98 \times 10^6 \times 32.3}{6486,57 \times 10^4} = 3.97 \text{MPa}$$

$$\sigma_{bc} \leq \overline{\sigma_{bc}}$$
 ......C.V

La contraint dans l'acier :

$$\begin{split} &\sigma_{\text{st}} \leq \overline{\sigma_{st}} \\ &\overline{\sigma_{st}} \text{=} \min(\frac{2}{3} \times f_e; 110\sqrt{\eta \times f_{t28}}) \\ &\overline{\sigma_{st}} \text{=} \min(\frac{2}{3} \times 400; 110\sqrt{1,6 \times 2,1}) \\ &\overline{\sigma_{st}} \text{=} \min(266,67; 201,63) \\ &\overline{\sigma_{st}} \text{=} 266,67\text{MPa} \\ &\sigma_{bc} = \frac{15\text{M}_{\text{ser}} \times (\text{d} - \text{y})}{\text{I}} \\ &\sigma_{bc} = \frac{15\text{M}_{\text{ser}} \times (\text{d} - \text{y})}{\text{I}} \text{=} \frac{15\times 7.98\times 10^6 \times (135 - 32,5)}{6486,57\times 10^4} \\ &\sigma_{bc} = 186.30\text{MPa} \\ &\sigma_{\text{st}} \leq \overline{\sigma_{st}} \dots \dots C.\text{V} \end{split}$$

#### • Vérification de la flèche

$$\begin{cases} \frac{h}{l} \ge \frac{1}{16} \\ \frac{h}{l} \ge \frac{M_t}{10 \times M_0} \\ \frac{A_s}{bd} \le \frac{4,2}{f_e} \end{cases} \begin{cases} \frac{0,15}{1,2} = 0,125 \ge \frac{1}{16} = 0,0625 & CV \\ \frac{0,15}{1,2} = 0,125 \ge \frac{11.146}{10 \times 11.146} = 0,1 & CV \\ \frac{3,39}{100 \times 13,5} = 0,0025 \le \frac{4,2}{400} = 0,015 & CV \end{cases}$$

Les trios condition de la flèche sont vérifier donc le calcul de la flèche ne s'impose pas.

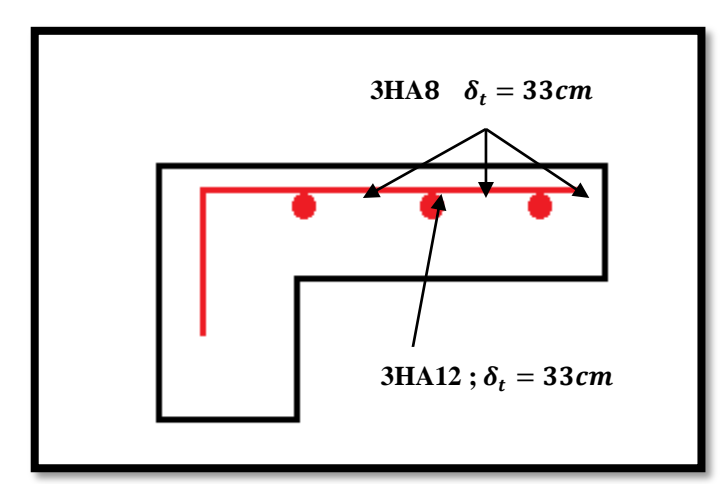


Figure III.5:Schéma de ferraillage du balcon.

## **III.4 Calcul des escaliers**

#### III.4.1 Définition

Les escaliers constituent la famille la plus employée des circulations verticales. En effet, quel que soit le type de bâtiment, ils sont indispensables soit à titre de circulation principale, comme dans une maison individuelle, soit à titre de circulation de service ou de secours dans un immeuble collectif ou dans un établissement recevant du public.

Plusieurs dispositifs permettent de passer d'un niveau à un autre, en fonction de la dénivellation et de la longueur disponible, c'est-à-dire de l'inclinaison de la pente la plus faible à la plus inclinée.

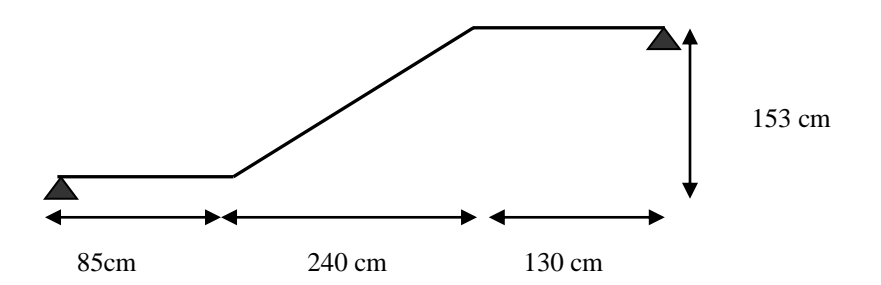
## > Schéma statique

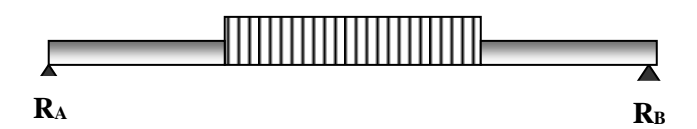
Palliasse: G1=10.186KN/ml

 $Q_1 = 2.5 \text{ KN/ml}$ 

Palier: G2=6.02 KN/ml

Q2=2.5 KN/ml





#### III.4.2 Charges et surcharges

Palliasse:G1=10.186 KN/m<sup>2</sup>

 $:Q1=2.5 \text{ KN/m}^2$ 

Palier: G2=6.02 KN/m<sup>2</sup>

 $:Q2=2.5KN/m^{2}$ 

## III.4.3 Combinaisons des charges

## a) Calcul des charges a l'ELU et l'ELS

Le calcul se fait pour une bande de 1ml.

## a) Palliasse

#### <u>L'ELU</u>

 $qu_1 = 1.35 \; G_1 + 1.5 \; Q_1 \mathop{\Longrightarrow}\limits_{} qu_1 = 1.3510.186 + 1.5 \; 2.5$ 

 $qu_1 = 17.50KN/ml$ 

## <u>L'ELS</u>

 $qser_1 = G_1 + Q_1 \Longrightarrow qser_1 = 10.186 + 2.5$ 

 $qser_1 = 12.686 \text{ KN/ml}$ 

#### b) Palier

## <u>L'ELU</u>

 $qu_2=1.35 G_2+1.5 Q_2 \implies qu_2=1.35 6.02+1.5 2.5$ 

 $qu_2=11.877 \text{ KN/ml}$ 

#### <u>L'ELS</u>

$$qser_2 = G_2+Q_2 \Longrightarrow qser_1 = 6.02+2.5$$
  
 $qser_2 = 8.52 \text{ KN/ml}$ 

Tableau III.1:Combinaisons des charges l'escalier.

Combinaisons	Paillasse (KN/ml)	Palier (KN/ml)
ELU	17.50	11.877
ELS	12.686	8.52

L'escalier travaille à la flexion simple en considérant la dalle comme une poutreUniformément chargée et en tenant des types d'appuis sur lesquels elle repose.

Pour déterminer les sollicitations, on a deux méthodes de calcul qui sont les suivantes :

- La méthode des charges équivalentes.
- La méthode R.D.M.

## b) Diagrammes des moments fléchissant et efforts tranchants

<u>Type N•1 :</u> <u>ELU :</u>

**Figure III.6:** Diagrammes de moment fléchissant et de L'effort tranchant à l'ELU.

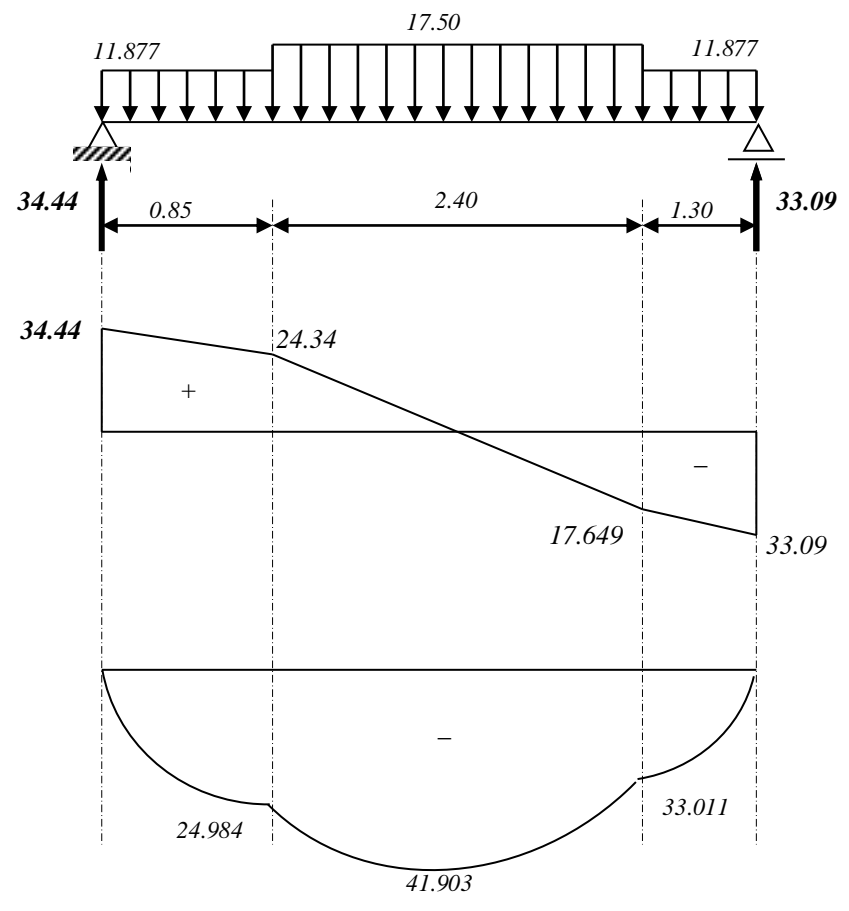


Tableau III.2: Tableau récapitulatif des sollicitations.

	M <sub>max</sub> (KN.m)	M <sub>a</sub> (KN.m)	M <sub>t</sub> (KN.m)	T <sub>u</sub> (KN)
E.L.U	41.903	12.570	35.617	34.44
E.L.S	26.945	8.083	22.903	24.87

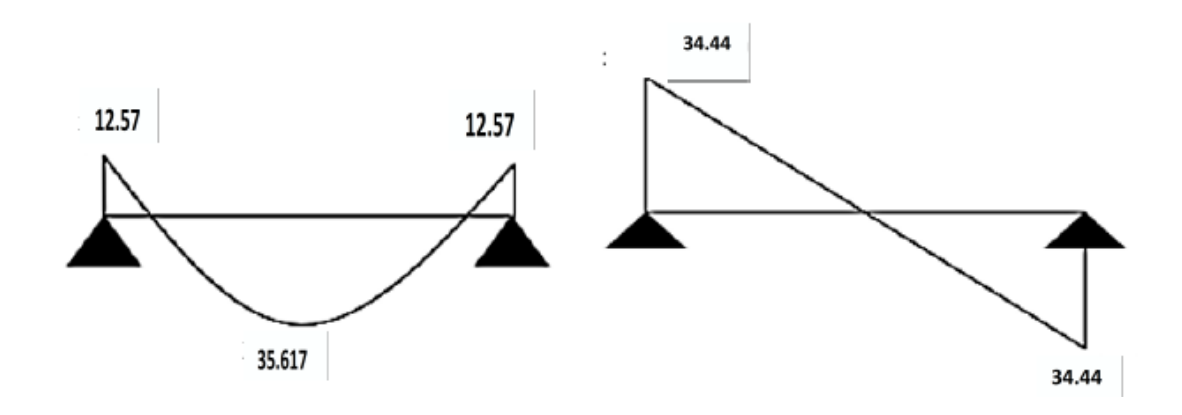


Figure III.7: Moments et efforts tranchants á E.L.U.

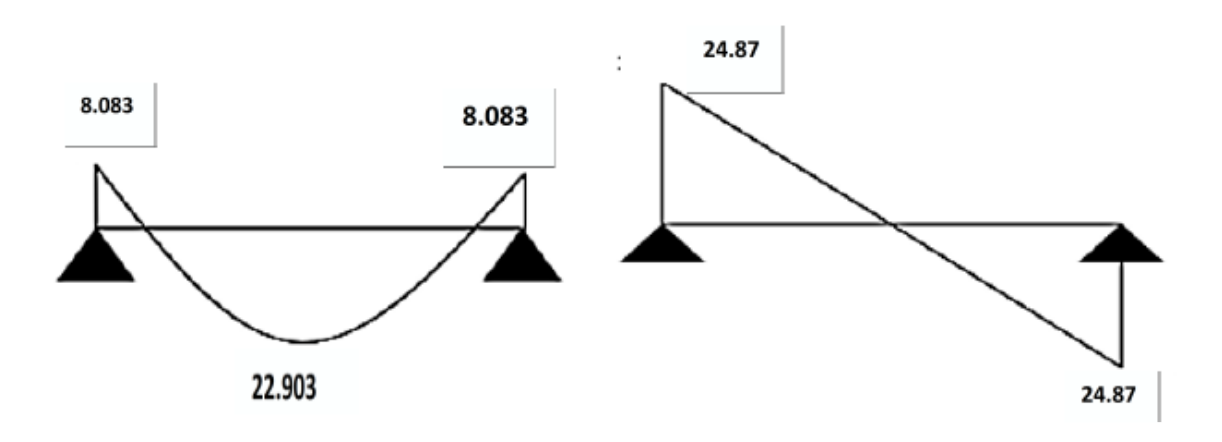


Figure III.8: Moments fléchissant et efforts tranchants á E.L.S.

## III.4.4. Calcul de ferraillage

## *Type* $N^{\bullet}1$ :

- **\*** Armatures longitudinales
- \* Travée

$$f_{bu} = \frac{0.85 * f_{c28}}{\gamma_b} = \frac{0.85 * 25}{1.5} = 14.2 MPA$$

$$f_s = \frac{f_e}{\gamma_b} = \frac{400}{1.5} = 348 MPA$$

$$\mu = \frac{M_U}{b * d^2 * \sigma_b} = \frac{35.617 \times 10^3}{14.2 \times (16.2^2 \times 100)} = 0.095 < 0.392$$

$$A'_s = 0 \qquad \text{Section simplement arm\'e}.$$

$$\alpha = 1.25(1 - \sqrt{1 - 2u}) = 0.125$$
  
 $\beta = (1 - 0.4\alpha) = 0.95$ 

$$A_s = \frac{M_u}{\beta \times d \times \sigma_s} = \frac{35.617 \times 10^3}{348 \times 0.95 \times 16.2} = 6.65 cm^2$$

## **Conditions non fragilité**

$$A_{\min} = \max\left\{\frac{b \times h}{1000}, 0.23 \times bd \times \frac{f_{t28}}{f_e}\right\} = \max\left\{\frac{100 \times 18}{1000}, 0.23 \times 100 \times 162 \times \frac{2.1}{400}\right\} = \max\left\{1.8, 1.95\right\} cm^2$$

$$A_{\min} = 1.95cm^2 < 6.65cm^2$$

On pond **5HA14**; **7.69cm**<sup>2</sup>

# **Service** Espacement:

$$S_t \le \min \{3ep, 33cm\} = 33cm$$

$$S_t = \frac{100}{4} = 25cm$$

# **Armature de répartition**

$$A_r = \frac{A_s}{4} = \frac{7.69}{4} = 1.922cm^2$$

On pond **4HA8**; **2.00cm**<sup>2</sup>

## **Service** Espacement entre les armatures

$$S_t \le \min\{4h, 45cm\} = \min\{72, 45\}$$

$$S_t \leq 45cm$$

$$S_t = 33cm$$

## **❖** Ferraillage aux appuis

$$M_u = 12.57 KN.m$$

$$\mu = \frac{12.57 \times 10^3}{14.2 \times 100 \times 16.2^2} = 0.033 < 0.392$$

$$A' = 0$$

$$\alpha = 1.25 \left(1 - \sqrt{1 - 2\mu}\right) = 0.041$$

$$\beta = (1 - 0.4\alpha) = 0.98$$

$$A_u = \frac{12.57 \times 10^3}{0.98 \times 384 \times 16.2} = 2.27 cm^2$$

## Condition de fragilité

$$A_{\min} = \max \left\{ \frac{b \times h}{1000}; 0.23 * b * d * \frac{f_{t28}}{fe} \right\} = \max \left\{ 1.8; 1.95 \right\}$$

$$A_{\min} = 1.95cm^2 < 2.27cm^2$$

On prend: **4HA10 S=3.15 cm**<sup>2</sup>

#### **Espacement**

$$S_t \le \min \{3ep, 33cm\} = 33cm$$

$$S_t = \frac{100}{4} = 25cm$$

#### Armature de répartition

$$A_r = \frac{A_s}{4} = \frac{3.15}{4} = 0.80cm^2$$

On prend: 3HA8 S=1.51  $cm^2$ 

#### Vérification à E.L.S

On vérifie que : 
$$\sigma_b = \frac{M_{ser}}{I} y \le \overline{\sigma}_{bc}$$
  
 $\frac{b}{2} \times y^2 + h \times A_s'(y - c') - n \times A_s(d - y) = 0$   
 $Avec \to n = 15$   
 $h \times A_s'(y - c') = 0$   
 $Travée$ :  
 $\frac{100}{2} y^2 - 15 \times 7.69(16.2 - y) = 0$   
 $50y^2 + 115.35y - 1868.67 = 0$   
 $y^2 + 2.307y - 37.37 = 0$   
 $\Delta = b^2 - 4ac = 154.80$   
 $y = \frac{-2.772 + 13.6861}{2} = 5.06$   
 $I = \frac{b \times y^3}{3} + n \times A_s(d - y)^2$   
 $I = \frac{100 \times 5.06^3}{3} + 15 \times 7.69 \times (16.2 - 5.06)^2 = 18633.35cm^4$   
 $\sigma_b = \frac{22.903 \times 10^5 \times 5.06}{18633.35 \times 10^2} = 6.21MPa < \overline{\sigma}_b = 15 MPa \implies OK$ 

Tableau III.3: Vérification des contraintes à l'ELS.

	M <sub>ser</sub> (KN.m)	$A_s$ (cm <sup>2</sup> )	Y (cm)	I (cm <sup>4</sup> )	σ <sub>bc</sub> (MPa)	$\sigma_b \leq \overline{\sigma}_b$
Travée	22.903	7.69	5.06	18633.35	6.21	
Appuis	8.083	3.15	3.47	9049.72	8.78	CV

#### **Vérification de la contraint de cisaillement**

$$T_{\text{max}} = 34.44KN$$

$$\tau_{u} \le \overline{\tau_{u}}$$

$$\tau_{u} = \frac{v_{u}}{b \times d} = \frac{34.44 \times 10^{3}}{162 \times 1000} = 0.212MPA$$

# ❖ La fissuration est considérai comme peu préjudiciable

$$\overline{\tau_u} = \min\left\{0.2 \times \frac{f_{c28}}{\gamma_b}; 5MPa\right\} = \min\left\{3.33MPa; 5MPa\right\}$$

$$\tau_u = 0.212 < 3.33 \rightarrow CV$$

#### Vérification de la flèche

La vérification de la flèche n'est pas nécessaire si les conditions suivantes sont vérifiées(B.A.E.L.91modifié99):

$$\frac{h}{l} \ge \frac{1}{16} \Rightarrow \frac{18}{455} = 0.039 \le 0.0625 \to CNV$$

$$\frac{h}{l} \ge \frac{M_T}{10M_0} \Rightarrow 0.039 > \frac{35.617}{10 \times 41.903} \Leftrightarrow 0.039 > 0.084 \to CNV$$

$$\frac{A}{b.d} \le \frac{4.2}{f_e} \Leftrightarrow \frac{A}{b.d} = \frac{7.69}{100 * 16.2} = 0.0047 \le \frac{4.2}{f_e} = 0.0105 \to CV$$

Comme les conditions (1) et (2) ne sont pas vérifiées, donc on doit vérifier la condition :

### **Evaluation des flèches (BAEL91 B.6.5, 2):**

La part de la flèche totale ft qui doit être comparée aux limites admissibles a pour valeur :

$$\Delta f_{t} = f_{gv} - f_{ji} + f_{pi} - f_{gi} \le \overline{f} = \frac{l}{500}$$

Avec:

- ullet Les flèches  $f_{gi}$  et  $f_{gv}$  dues à l'ensemble des charges permanentes.
- La flèche  $f_{ji}$  due aux charges permanentes appliquées au moment de la mise en œuvre des cloisons.
- La flèche  $f_{pi}$  due à l'ensemble des charges permanentes et d'exploitation supportée par l'élément considéré.

#### Position de l'axe neutre :

$$b \times y_1^2 - 30(A + A')y_1 - 30(d \times A - d' \times A') = 0 \longrightarrow y_1 = 5.06 \text{cm} > 0....\text{CV}$$

Le moment d'inertie de la section homogène par rapport l'axe neutre s'écrit :

$$I = \frac{b \times y_1^3}{3} + 15 \times [A \times (d - y_1)^2 + A' \times (y_1 - d^2)]$$

 $I = 18633.35 \text{ cm}^4$ ; d = 16.2 cm; h = 18 cm;  $As = 7.69 \text{ cm}^2$ ; b = 100 cm;  $f_{128} = 2.1 \text{ MPa}$ .

## **❖** Calcule le moment d'inertie de la section homogène I₀:

$$I_0 = \frac{bh^3}{12} + bh \left[ \frac{h}{2} - V \right]^2 + 15A_s (d - V)^2$$

$$V = \frac{\left[ \frac{bh^2}{2} + 15A_s d \right]}{bd + 15A_s}$$

$$V = \frac{\left[ \frac{100 \times 18^2}{2} + 15 \times 7.69 \times 16.2 \right]}{100 \times 16.2 + 15 \times 7.69}$$

V = 10.41cm

$$I_0 = \frac{100 \times 16.2^3}{12} + 100 \times 18 \left[ \frac{18}{2} - 10.41 \right]^2 + 15 \times 7.69(16.2 - 10.41)^2$$

$$I_0 = 42874.98cm^4$$

Déformation instantanée :

$$\lambda = \lambda_i = \frac{0.05 f_{t28}}{(2 + 3\frac{b_0}{b})\rho}$$

$$\rho = \frac{A_s}{b_0 \times d} = \frac{7.69}{100 \times 16.2} = 0,0047$$

$$\lambda_i = \frac{0,05 \times 2,1}{(2+3)0,0047} = 4.468$$

$$\lambda_V = \frac{2}{5}\lambda_i = 1.787$$

$$E_i = 11000\sqrt[3]{f_{c28}} = 32164,2\text{MPa}$$

$$E_v = \frac{1}{3}E_i = 10721,4\text{MPa}$$

# \* Calcul les moments fléchissant à ELS:

## Calcul $(f_{gi}; f_{gv})$ :

q de palier = 6.02 KN/m

Paillasse: 10.186KN/m

$$q_{eq} = 8.217 KN/m$$

$$Ms = 0.85 * M_0$$

$$M_0 = (q*l^2)/8 = 21.264KN.m$$

$$Ms = 18.074 KN.m$$

$$\sigma_{s} = \frac{15.M_{s}(d-y)}{I}$$

$$\sigma_{s} = \frac{15*18.074*(16.2-5.06)}{18633.35}$$

$$\sigma_{s} = 16.20$$

$$\mu = 1 - \left(\frac{1.75 f_{t28}}{4 \rho \sigma_s + f_{t28}}\right)$$

$$\mu = 0.296$$

$$I_f = \frac{1.1I_0}{1 + \lambda\mu}$$

$$I_{fgi} = \frac{1.1I_0}{1 + \lambda_i \mu} = \frac{1.1 * 42874.98}{1 + (0.296 * 4.468)}$$

$$I_{foi} = 20311.14cm^4$$

$$I_{fgv} = \frac{1.1I_0}{1 + \lambda_v \mu} = \frac{1.1*42874.98}{1 + (0.296*1.787)}$$

$$I_{fgv} = 30865.49cm^4$$

$$f_i = \frac{M * L^2}{10 * E_i * I_{fi}} = \frac{18.074 * 10^6 * (4.55 * 10^3)^2}{10 * 32164.2 * 20311.14 \times 10^4}$$

$$f_{gi} = 5.72$$

$$f_i = \frac{M * L^2}{10 * E_v * I_{fv}} = \frac{18.074 * 10^6 * (4.55 * 10^3)^2}{10 * 10721.4 * 30865.49}$$

$$f_{gv} = 11.30$$

# \* Calcul flèche instantanée (fji):

Palier: q = 4.5

Paillasse: 
$$q = 7.19$$

$$q_{eq} = \frac{4.5*(0.85+1.3)+(5.33)*2.4}{4.55} = 4.93KN/m$$

$$Ms = 0.85 * M_0$$

$$M_0 = (q*l^2)/8$$

Ms = 10.84KN.m

$$\sigma_{s} = \frac{15.M_{s}(d-y)}{I}$$

$$\sigma_{s} = \frac{15*10.84*(16.2-5.06)}{18633.35}$$

$$\sigma_s = 97.21MPa$$

$$\mu = 1 - \left(\frac{1.75 f_{t28}}{4\rho\sigma_s + f_{t28}}\right)$$

$$\mu = 0.26$$

$$I_f = \frac{1.1I_0}{1 + \lambda\mu}$$

$$I_{fji} = \frac{1.1I_0}{1 + \lambda_i \mu} = \frac{1.1 * 42874.98}{1 + (0.26 * 4.468)}$$

$$I_{fii} = 21817.51cm^4$$

$$f_i = \frac{M * L^2}{10 * E_i * I_{fi}} = \frac{10.84 * 10^6 * (4.55 * 10^3)^2}{10 * 32164.2 * 21817.51}$$

$$f_{ii} = 3.19$$

# \* La flèche due la combinaison de :

$$Q+G=f_{pi}$$

Palier: 
$$q_p=6.02+2.5=8.52$$

Paillasse: 
$$q_p = 10.186 + 2.5 = 12.686$$

$$q_{eq} = \frac{2.15*(8.52) + (12.686)*2.4}{4.55} = 10.717KN/m$$

$$M_s = 23.57 \, KN.m$$

$$\sigma_{\rm s} = 182.429 MPa$$

$$\mu = 0.42$$

$$f_{ni} = 6.164$$

$$\Delta f = f_{gv} - f_{ij} + f_{pi} - f_{gi}$$

$$\Delta f = 11.30 - 3.19 + 6.164 - 5.72$$

$$\Delta f = 8.55$$

D'après BAEL 91 Article (B.6.5.3):

$$\Delta f_{t} = f_{gv} - f_{ji} + f_{pi} - f_{gi} \le \overline{f} = \frac{l}{500}$$

## Chapitre III:

# III.5 Etude de la poutre palière

### III.5.1 Définition

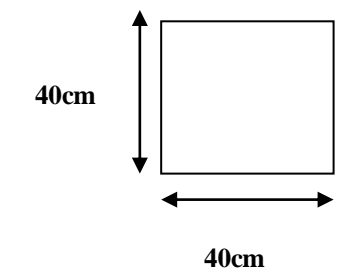
Le calcul se fait en flexion simple pour une poutre simplement appuyée et uniformément chargée, les charges sont :

- -Son poids propre.
- -Poids de la maçonnerie.
- -Réaction provenant du palier.

# III.5.2 Pré dimensionnement

## • D'après le BAEL

$$\frac{L}{15} \le h \le \frac{L}{10} \frac{345}{15} \le h \le \frac{345}{10}$$



$$23 \le h \le 34.5 \Longrightarrow h = 40cm$$

$$0.3h \le b \le 0.7h \Longrightarrow b = 40cm$$

Les dimensions des poutres doivent respecter l'article 7.5.1 du RPA99/version 2003 suivant :

## • D'après le RPA

$$b \ge 20cm \Rightarrow b = 40cm \Rightarrow cv$$

$$h \ge 30cm \Rightarrow h = 40cm \Rightarrow cv$$

$$1 \le \frac{h}{b} \le 4 \Rightarrow \frac{h}{b} = 1 \Rightarrow cv$$

On adopte une section de (30\*30) cm<sup>2</sup>

## III.5.3 Evaluation des charges

Poids propre de la poutre :

$$G_{poutre} = (0.40) \times 0.40 \times 25 = 4 \ kN/ml$$

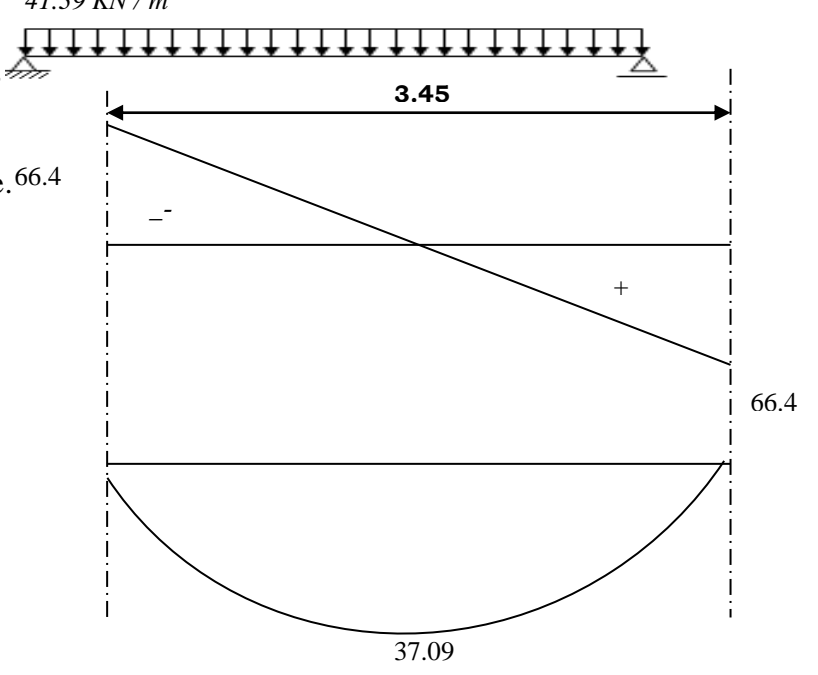
$$G_{MUR} \times H_{mur} = 1.53 \times 2.81 = 4.3 kN / ml$$

41.39 KN/m

Figure III.9: Diagrammes des

Moments fléchissant et de

L'effort tranchant de la palière. 66.4



## - Réaction d'escalier ou niveau du palier

E.L.U:

$$R_A = 33.09KN$$

E.L.S:

$$R_A = 23.884 KN$$

• ELU

$$\begin{aligned} &q_{\rm u} = 1.35 G_{\it poutre} + R_{\rm A} = 1.35 \times 4 + 33.09 = 38.49 \textit{KN/m} \\ &T_{\rm u} = \frac{q_{\rm u} \times L}{2} = 66.4 \textit{K} \; \rm{N} \end{aligned}$$

$$M_u^t = \frac{q_u \times L^2}{24} = 19.09KN.m$$
  
 $M_u^t = \frac{q_u \times L^2}{12} = 38.17KN.m$ 

ELS

$$q_s = G_{poutre} + R_A = 4 + 33.09 = 37.09 KN/m$$

$$T_s = \frac{q_u \times L}{2} = 63.98 K N$$

$$M_s^t = \frac{q_u \times L^2}{24} = 18.39 KN.m$$
  
 $M_s^t = \frac{q_u \times L^2}{12} = 36.79 KN.m$ 

## III.5.4 Calcule la section d'armature à la flexion simple :

Donnée:

H=40cm,b=40cm;d=36cm

- ELU
- a) En travée:

### Moment ultime réduite :

$$\mu_{bu} = \frac{M_u^t}{f_{bu} \times d^2 \times b} = \frac{19.09 \times 10^6}{14,17 \times 360^2 \times 400} = 0,026. < \mu l = 0,186 \text{ pivot A}$$

 $\mu_{bu}$ =0,011.<  $\mu$ l =0,392 (les armature comprimée ne sont pas nécessaires)

$$\alpha = 1,25(1-\sqrt{1-2\mu_{bu}})$$

 $\alpha = 0.033$ 

$$Z=d\times(1-0.4\alpha)$$

Z=35,53cm

$$A_S = \frac{M_t}{\sigma_s \times \mathbf{Z}} = \frac{19.09 \times 10^6}{348 \times 355.3} = 1,54 \text{ cm}^2$$

## • Condition non fragilité :'

D'après le BAEL91:

$$A_{min} \ge 0.23 \times b \times h \times \frac{f_{t28}}{f_e}$$

$$A_{min}=1,74$$
cm<sup>2</sup>

$$A_s = \max(A_{min}, A_s)$$

$$A_s = 1.74cm^2$$

Donc on adopte 2T12  $A_s = 2.26cm^2$ 

# a) En appuis:

## Moment ultime réduite :

$$\mu_{bu} = \frac{M_u^a}{f_{bu} \times d^2 \times b} = \frac{38.17 \times 10^6}{14.17 \times 360^2 \times 400} = 0.052 < \mu l = 0.186 \text{ pivot A}$$

 $\mu_{bu}$ =0,011.<  $\mu$ l =0,392 (les armature comprimée ne sont pas nécessaires)

$$\alpha = 1,25(1-\sqrt{1-2\mu_{bu}})$$

$$\alpha = 0.067$$

$$Z=d\times(1-0.4 \alpha)$$

$$A_S = \frac{M_t}{\sigma_s \times \mathbf{Z}} = \frac{38.17 \times 10^6}{348 \times 350.4} = 3,13 \text{ cm}^2$$

### • Condition non fragilité :

D'après le BAEL91:

$$A_{min} \ge 0.23 \times b \times h \times \frac{f_{t28}}{f_e}$$

$$A_{min} = 1,74 \text{cm}^2$$

$$A_s = \max(A_{min}, A_s)$$

$$A_s = 3.13cm^2$$

Donc on adopte  $3T12 A_s = 3.39 cm^2$ 

## L'espacement St : [BAEL91] :

$$S_t \le \min(0.9d, 40cm) \le \min(32.4cm, 40cm)$$

 $S_{t=15cm}$ 

#### **Armature transversal:**

$$A_t \ge \frac{0.4 \times b \times S_t}{f_e}$$

$$A_t \ge \frac{0.4 \times 40 \times 15}{400}$$

$$A_t \geq 0.8cm^2$$

$$A_t \geq \frac{\text{b} \times \text{S}_{\text{t}} \times \gamma_{\text{s}} \times (\tau_{\text{u}} - 0.3 \times \text{f}_{\text{t28}})}{0.9 \text{f}_{\text{e}}} = \frac{400 \times 150 \times 1.15 \times (0.46 - 0.3 \times 2.1)}{0.9 \text{f}_{\text{e}}}$$

$$A_t \ge 0.26cm^2$$

$$A_t = \max(0.8; 0.26) = 0.8 \text{cm}^2$$

• FLS

## a)En travée:

## Moment ultime réduite :

$$\mu_{bS} = \frac{M_s^t}{f_{bu} \times d^2 \times b} = \frac{18.39 \times 10^6}{14,17 \times 360^2 \times 400} = 0,025. < \mu l = 0,186 \text{ pivot A}$$

 $\mu_{bs}$ =0,011.<  $\mu$ l =0,392 (les armature comprimée ne sont pas nécessaires)

$$\alpha = 1,25(1-\sqrt{1-2\mu_{bu}})$$

$$\alpha = 0.032$$

$$Z=d\times(1-0.4\alpha)$$

$$A_S = \frac{M_a}{\sigma_s \times \mathbf{Z}} = \frac{18.39 \times 10^6}{348 \times 355.4} = 1,49 \text{ cm}^2$$

## • Condition non fragilité :

D'après le BAEL91:

$$A_{min} \ge 0.23 \times b \times h \times \frac{f_{t28}}{f_o}$$

$$A_{min} = 1,74 \text{cm}^2$$

$$A_s = \max(A_{min}, A_s)$$

$$A_s = 1.74cm^2$$

Donc on adopte 2T12  $A_s = 2.26cm^2$ 

### a)En appuis:

### Moment ultime réduite :

$$\mu_{bS} = \frac{M_S^a}{f_{hu} \times d^2 \times b} = \frac{36.79 \times 10^6}{14.17 \times 360^2 \times 400} = 0,05 < \mu l = 0,186 \text{ pivot A}$$

 $\mu_{bS}$ =0,011.<  $\mu$ l =0,392 (les armature comprimée ne sont pas nécessaires)

$$\alpha = 1,25(1-\sqrt{1-2\mu_{bu}})$$

 $\alpha = 0.064$ 

$$Z=d\times(1-0.4 \alpha)$$

Z=35,08cm

$$A_s = \frac{M_t}{\sigma_s \times \mathbf{Z}} = \frac{36.79 \times 10^6}{348 \times 350.8} = 3,01 \text{ cm}^2$$

## • Condition non fragilité :'

D'après le BAEL91:

$$A_{min} \ge 0.23 \times b \times h \times \frac{f_{t28}}{f_e}$$

$$A_{min} = 1,74 \text{cm}^2$$

$$A_s = \max(A_{min}, A_s)$$

$$A_s = 3. cm^2$$

Donc on adopte  $3T12 A_s = 3.39cm^2$ 

#### Vérifications nécessaires

#### a. Vérification de la contrainte

Considérons le cas préjudiciable.

#### a.1 En travée

$$A_s = 2.26 \text{ cm}^2$$
;  $M_{ser} = 18.39 \text{ kN.m}$ ;

La position de l'axe neutre :

$$(b/2)y^2 - 15A_s(d+y) = 0$$
  $\Rightarrow y = 7.96 cm$ 

Le moment d'inertie I:

$$I = (b/3) y^3 + 15A_s (d-y)^2 = 29175.38 cm^4$$

On vérifie que : 
$$\sigma_b = \frac{M_{ser}}{I} y \le \overline{\sigma}_{bc}$$
 et  $\sigma_a = n \frac{M_{ser}}{I} (d - y) \le \overline{\sigma}_a$ 

$$\sigma_b = \frac{18.39 \times 7.96 \times 10^6}{29175.38 * 10^4} = 5.02 \text{ MPa} < \overline{\sigma}_b = 15 \text{ MPa}$$
  $\Rightarrow OK$ 

Donc : il n'y a pas risque de fissuration du béton en compression.

#### a.2 Sur appuis

$$A_s = 3.39 \text{ cm}^2$$
;  $M_{ser} = 36.79 \text{ kN.m}$ ;

La position de l'axe neutre :

$$(b/2)y^2 - 15A_s(d+y) = 0$$
  $\Rightarrow y = 9.48 cm$ 

Le moment d'inertie I:

$$I = (b/3) y^3 + 15A_s (d-y)^2 = 40023.19 cm^4$$

On vérifie que :

$$\sigma_b = \frac{M_{ser}}{I} \ y \le \overline{\sigma}_{bc} \ \ et \quad \sigma_a = n \frac{M_{ser}}{I} (d - y) \le \overline{\sigma}_a$$

$$\sigma_b = 8.71 \ MPa < \overline{\sigma}_b = 15 \ MPa \qquad \Rightarrow OK$$

Donc : il n'y a pas risque de fissuration du béton en compression.

#### **Moment de torsion:**

La poutre palière est soumise a un moment de torsion uniformément reparti sur sa Longueur, c'est le moment sur appui de l'escalier.

$$\begin{split} M_{tor} &= \frac{M_a \times L}{2} \\ M_a &= 0.3 M_0 \\ M_a &= 0.3 \times 41.903 = 12.571 KN.m \\ M_{tor} &= \frac{M_a \times L}{2} = \frac{12.571 \times 3.45}{2} \\ M_{tor} &= 21.68 KN.m \end{split}$$

## • Contrainte de cisaillement en torsion :

$$\tau_{u \ tor} = \frac{M_{tor}}{2 \times 0 \times e}$$

Avec e: épaisseur de la section creuse.

Ω : Air du contour tracé à mi-hauteur.

$$e = \frac{b}{6} = \frac{40}{6} = 7cm$$

$$\Omega = (b - e) \times (h - e)$$

$$\Omega = (40 - 7) \times (40 - 7) = 1089cm^{2}$$

$$\tau_{u tor} = \frac{M_{tor}}{2 \times 0 \times e} = \frac{21.68 \times 10^{6}}{2 \times 108900 \times 70} = 1.42MPa$$

#### Justification du béton :

Pour notre cas : section pleine et d'après la BAEL91, on doit avoir :

$$\begin{aligned} &\tau_{u\,tor}^{\,\,2} + \tau_{u\,V}^{\,\,2} \leq \overline{\tau_u}^{\,\,2} \\ &\tau_{u\,V} = \frac{T_u}{bd} = 0.46 MPa \\ &\overline{\tau_u} = \min\left(\frac{0.2 \times f_{c28}}{\gamma_b}; 5 MPa\right) \dots \dots \dots \dots (\text{Fissuration peu préjudiciable}) \end{aligned}$$

 $\overline{\tau_u} = \min(3.33; 5MPa) = 3.33MPa$ 

$$\sqrt{\tau_{u\,tor}^2 + \tau_{u\,v}^2} \le \overline{\tau_u} = \sqrt{1.42^2 + 0.42^2} = 1.49 \le \overline{\tau_u} = 3.33MPa....CV$$

Donc les armatures transversales sont perpendiculaires à la fibre moyenne.

## Calcule des armatures longitudinales :

$$A_l^{tor} = \frac{M_{tor} \times \gamma_s \times U}{2 \times \Omega \times f_e}$$

Avec U: périmètre de contour d'air  $\Omega$ .

St: équidistance selon ces axes.

 $A_l^{tor}$ : Section d'un cours des cadres de torsion orthogonaux a l'axe de la pièce.

$$U = 2[(b-e)+(h-e)] = 2[(40-7)+(40-7)] = 132cm = 1320mm$$

$$A_l^{tor} = \frac{21.68 \times 1.15 \times 1320 \times 10^6}{2 \times 108900 \times 400} = 377.7 mm^2 = 3.78 cm^2$$

On adopte 3T12=3.39cm<sup>2</sup>

#### • Calcule des armatures transversales :

$$A_t^{tor} = \frac{M_{tor} \times \gamma_S \times S_t}{2 \times \Omega \times f_e}$$

# L'éspacement St: [BAEL91]:

$$S_t \le \min(0.9d, 40cm) \le \min(32.4cm, 40cm)$$

St=15cm

 $Avec A_t^{tor}$ : Les armatures transversal au torsion.

$$A_l^{tor} = \frac{21.68 \times 1.15 \times 150 \times 10^6}{2 \times 108900 \times 400} = 0.42 cm^2$$

On adopte 2T8=1.01cm<sup>2</sup>

$$A_t^{Fs} = \frac{0.4 \times b \times S_t}{f_e}$$

Avec  $A_t^{Fs}$ : Les armatures transversal au flexion simple.

$$A_t^{FS} = \frac{0.4 \times 400 \times 150}{400} = 60mm^2 = 0.6cm^2$$

#### • Calcule les armatures totales :

### a)Les armatures longitudinales

En travée:

$$A_t^{tot} = A_t^{Fs} + \frac{A_t^{tor}}{2} = 1.74 + \frac{3.87}{2} = 3.68cm^2$$
 4T12=4.52cm<sup>2</sup>

$$A_C = \frac{A_t^{tor}}{2} = \frac{3.87}{2} = 1.89 cm^2$$
 2T12=2.26cm<sup>2</sup>

En appuis:

$$A_t^{tot} = A_t^{FS} + \frac{A_t^{tor}}{2} = 3.13 + \frac{3.87}{2} = 5.02cm^2$$
 5T12=5.65cm<sup>2</sup>  
 $A_C = \frac{A_t^{tor}}{2} = \frac{3.87}{2} = 1.89cm^2$  2T12=2.26cm<sup>2</sup>

#### b).les armatures transversal:

$$A_t^{tot} = A_t^{Fs} + A_t^{tor} = 0.8 + 0.42 = 1.22$$
 **2T10=1.57cm<sup>2</sup>**

### c. Vérification de la flèche

On doit vérifier dans les deux sens

$$\frac{h}{L} \ge \frac{1}{16} \qquad \Rightarrow \frac{0,40}{3.45} = 0,115 > \frac{1}{16} = 0,0625 \qquad \Rightarrow Ok$$

$$\frac{A_s}{b_0 d} \le \frac{4,2}{f_e} \qquad \Rightarrow \frac{2.26}{40 \times 36} = 0.00156 < \frac{4,2}{f_e} = 0,0105 \qquad \Rightarrow OK$$

$$\frac{h}{L} \ge \frac{M_t}{10M_0} \qquad \Rightarrow \frac{h}{L} = 0,098 > \frac{M_t}{10M_0} = 0,085 \qquad \Rightarrow Ok$$

### d. Vérification de la contrainte de cisaillement (effort tranchant)

Il faut vérifier que:

$$\tau_{u} = \frac{T_{u}}{b.d} \le \overline{\tau_{u}} = \min \left\{ 0.2 \times \frac{f_{c28}}{\gamma_{b}}; 5MPa \right\} = \min \left\{ 3.33MPa; 5MPa \right\} = 3,33 MPa$$

$$T_{a} = 66.4 kN; \quad b = 40 cm; \quad d = 36 cm$$

$$\tau_{u} = \frac{66.4 * 10^{3}}{400 \times 360} = 0.046 MPa < 3,33 MPa \implies Ok$$

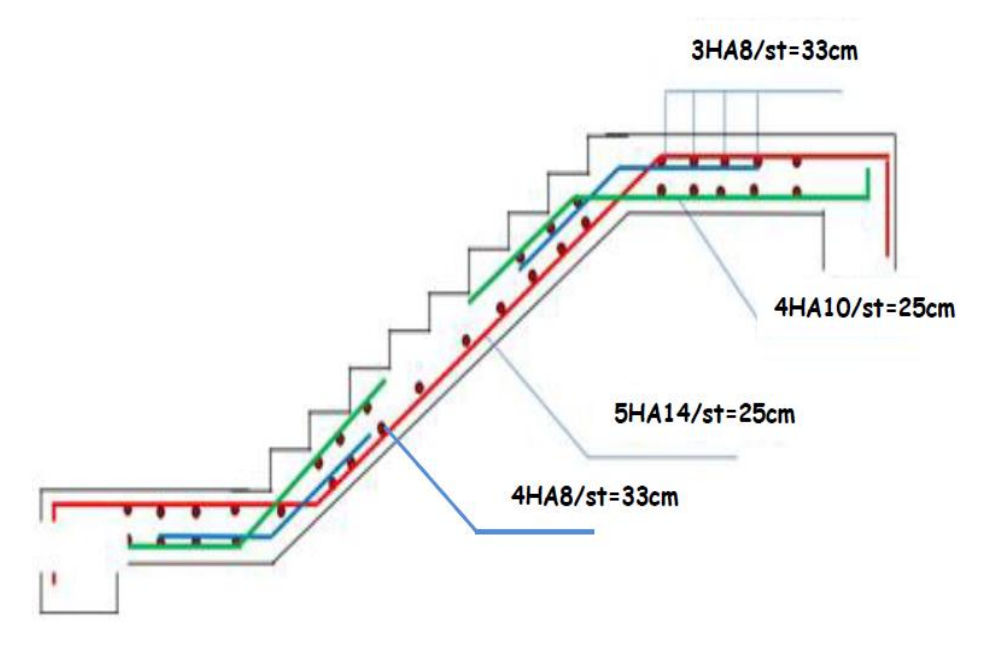


Figure III.9 : Schéma de ferraillage d'escalier.

# III.6 Calcul du plancher:

#### III.6.1 Définition:

Les planchers sont des éléments plans horizontaux supposes infiniment rigides leur plan. Ils ont pour rôle.

- Cheminement des charges aux éléments porteurs.
- Assure l'isolation des différents étages des points de la vue thermique et acoustique.

## III.6.2 Calcul des planchers(poutrelles):

Pour le calcul des moments et d'efforts tranchants: On utilise les méthodes suivantes :

## III.6.2.1Méthode forfaitaire:

# Domaine d'application:

- Fissuration n'est pas préjudiciable
- Les portes successives des travées dans un rapport 0.8 à 1.25 ; (  $0.8 \le \frac{L_i}{L_{i+1}} \le 1.25$  )
- Les éléments d'inertie dans les sections transversales sont les mêmes
- La charge d'exploitation est au plus égale à deux fois la charge permanente ou à 5 KN/m²

# Application de la méthode :

Soit : 
$$M_0 = \frac{qL^2}{8}$$
 : Moment fléchissent de la poutre isostatique. 
$$\alpha = \frac{Q_B}{Q_B + G}$$

## **Lesmoments:**

- Les moments en travées :
- **Pour les travées de rive:**

$$M_{t} + \left(\frac{M_{w} + M_{e}}{2}\right) \ge \max\left[\left(1 + 0.3\alpha\right)M_{0}; 1.05M_{0}\right]$$
 $M_{t} \ge \frac{1.2 + 0.3\alpha}{2}M_{0}$ 

**Pour les travées intermédiaires :** 

$$M_{t} + \left(\frac{M_{w} + M_{e}}{2}\right) \ge \max\left[\left(1 + 0.3\alpha\right)M_{0}; 1.05M_{0}\right]$$
 $M_{t} \ge \frac{1 + 0.3\alpha}{2}M_{0}$ 

• Les moments en appuis :

Pour une poutre à deux travées

0.15M<sub>0</sub>: Pour les appuis de rive

$$\begin{array}{ccc}
0.15 M_{\theta} & 0.15 M_{\theta} \\
\Delta & \Delta
\end{array}$$

 $0.6M_0$ : Pour une poutre à deux travées

$$\triangle$$
 0.6  $M_0$   $\triangle$ 

 $0.5M_0$ : Pour les appuis de rive pour une poutre  $\rangle 2$  travées

$$igtriangledown egin{array}{cccc} 0.5\,M_0 & 0.5\,M_0 \ igtriangledown & igtriang$$

 $0.4M_0$ : Pour les appuis intermédiaires pour une poutre  $\rangle 3$  travées

$$egin{array}{ccccc} 0.5\,M_0 & 0.4\,M_0 & 0.5\,M_0 \ igtriangledown & igtriangledow$$

#### L'effort tranchant:

$$T_{w} = \frac{qL}{2} + \left| \frac{M_{w} - M_{e}}{L} \right| T_{e} = \frac{-qL}{2} + \left| \frac{M_{w} - M_{e}}{L} \right|$$

## III.6.2.2 Méthode Caquot:

## Application de la méthode :

#### Les moments :

- Les moments en appuis :
  - Appuis de rive :  $M_A = M_H = 0$
  - Appuis intermédiaires :  $M_{appuis} = \frac{q_w l_w^{'3} + q_e l_e^{'3}}{8.5(l_w + l_e^{'})}$

Avec : l = l pour les deux travées de rive l = 0.8l Pour les travées d'intermédiaires

• Les moments en travée :

$$M(x) = \frac{-qx^{2}}{2} + \frac{ql}{2}x + M_{w} + \frac{M_{e} - M_{w}}{L}X$$
Avec: 
$$T(x) = 0 \Rightarrow X = \frac{l}{2} + \frac{M_{e} - M_{w}}{qL}$$

Les efforts tranchants :

$$T(x) = \frac{ql^{2}}{2} - qx + \frac{M_{e} - M_{w}}{L}$$
Avec: 
$$T_{w}(x = 0) = \frac{ql}{2} + \frac{M_{e} - M_{w}}{L}$$

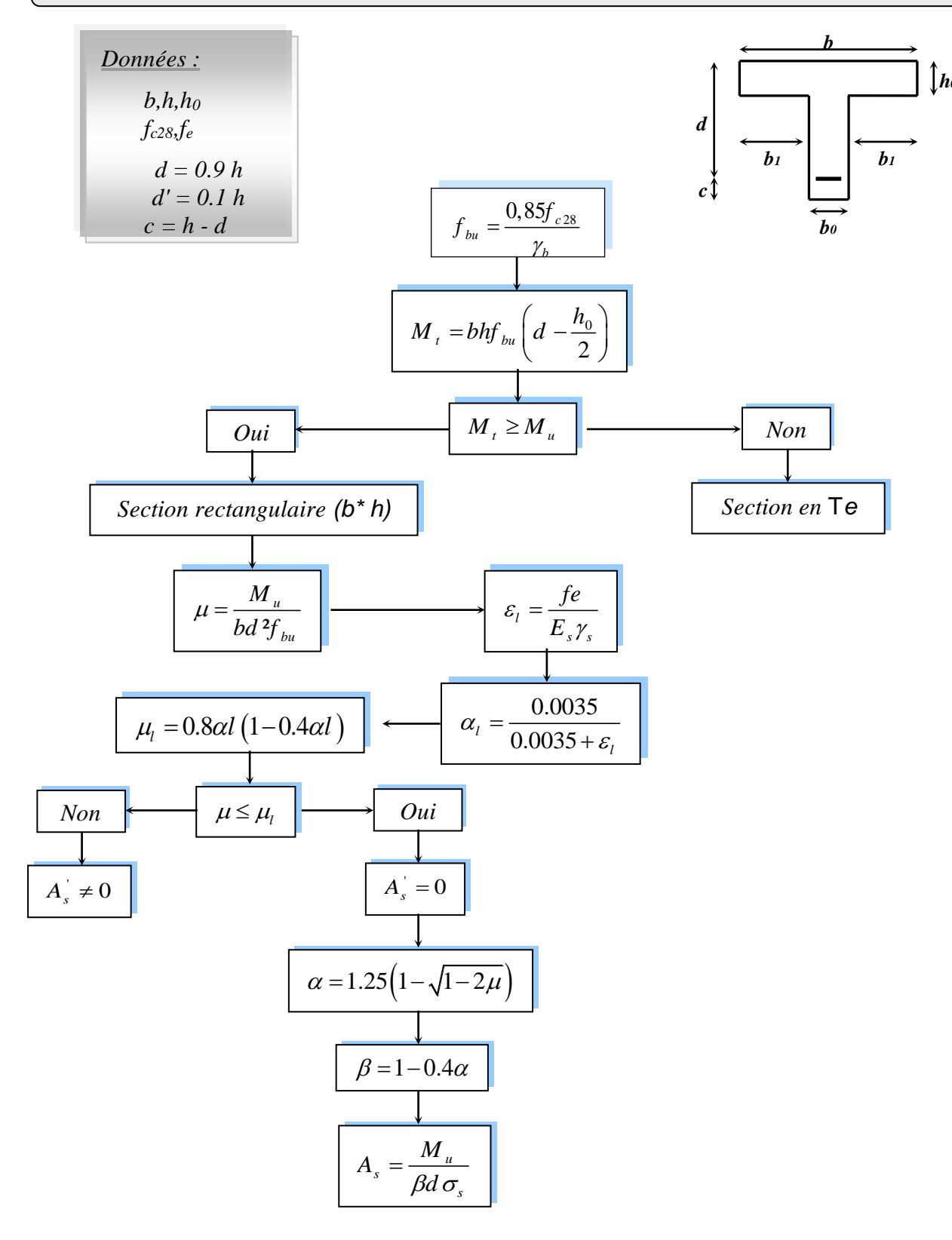
$$T_{w}(x = l) = \frac{-ql}{2} + \frac{M_{e} - M_{w}}{L}$$

 $M_{e}$ ;  $M_{w}$ : Sont des moments des appuis à droite et à gauche de la travée considérée

## III.6.2.3 Ferraillage:

Les poutrelles sont ferraillées à la flexion simple, avec une fissuration peu nuisible organigramme de la flexion simple (section en T):

Organigramme de calcul de la poutrelle à la flexion simple avec FPN -section en Te-



## a. Condition de non fragilité:

$$A_s \ge A_{\min} = \frac{0,23 \times bdf_{t28}}{f_e}$$

#### b. Vérification de contrainte :

$$\sigma_{bc} \le \overline{\sigma}_{bc}$$
Avec:  $\sigma_{bc} = \frac{M_{ser}}{I} y$  et  $\overline{\sigma}_{bc} = 0.6 f_{c28}$ 

$$by^{2} + 30 (A_{s} + A_{s}^{'}) y - 30 (dA_{s} + dA_{s}^{'}) = 0$$

$$I = \frac{b}{3} y^{3} + 15 \left[ A_{s} (d - y)^{2} + A_{s}^{'} (y - d^{'})^{2} \right]$$

### C. Condition de cisaillement :

Pour éviter le risque de cisaillement il faut que :

$$\tau_{u} \leq \overline{\tau}_{u}$$

$$A \text{vec} : \tau_{u} = \frac{V_{u}}{bd}$$

$$\overline{\tau}_{u} = \min(0.13f_{c28}, 4MPa)$$

#### d. Espacement:

$$S_t \leq S_t^{\max}$$

Avec: 
$$S_t^{\text{max}} \leq \min(0.9d, 40cm)$$

#### e. Vérification de flèche :

$$\frac{h}{L} \ge \frac{1}{16}$$

$$\frac{A}{bd} \le \frac{4,2}{f_e}$$

$$\frac{h}{L} \ge \frac{M_t}{10 \times M_0}$$

Si les trois conditions ne sont pas vérifiées la flèche est nécessaire d'après le BAEL 91 : Pour les flèches dues aux charges instantanées :

$$f_i = \frac{ML^2}{10E_i I_{fi}} \quad \text{où} \quad I_{fi} = \frac{1.1I_0}{1 + \lambda_i \mu} \quad \text{et} \quad \lambda_i = \frac{0.05 f_{c28}}{\rho \left(2 + 3\frac{b_0}{b}\right)} \text{et } \mu = 1 - \frac{1.75 f_{t28}}{4\rho \sigma_s + f_{t28}}$$

Pour les flèches dues aux charges de longue durée :

$$f_v = \frac{ML^2}{10E_v I_{fv}}$$
 où  $I_{fv} = \frac{1.1I_0}{1 + \lambda_v \mu}$  et  $\lambda_v = \frac{0.02 f_{t28}}{\rho \left(2 + 3\frac{b_0}{b}\right)} = 0.4\lambda_i$  avec  $\rho = \frac{A_s}{b_0 d}$ 

La flèche totale à comparer aux valeurs admissible vaut :

$$\Delta f_{t} = f_{gv} - f_{ji} + f_{pi} - f_{gi}$$

La flèche admissible est :

$$\overline{f} = \frac{L}{500} \quad \text{si } L < 5m$$

$$\overline{f} = 0.5 + \frac{L}{1000} \quad \text{si } L > 5m$$

### III.6.2.4 Vérification des conditions de la méthode forfaitaire

$$Q = 1.5 \ KN/m2 \le \{2G = 11.72 \ KN/m2, 5 \ KN/m2\}...CV$$

Les moments d'inertie constante .....CV

$$0.8 < \text{Li/Li+1} < 1.25 \dots \text{CV}$$

Fissurations sont considérées comme peu préjudiciables puisque les planches sont protégées.....CV

Absence de charge rapidement variable dans le temps et de position......CV

$$0.8 \le \frac{4.05}{3.85} = 1.05 \le 1.25$$

$$0.8 \le \frac{3.85}{3.95} = 0.97 \le 1.25$$

$$0.8 \le \frac{3.95}{4.05} = 0.97 \le 1.25$$

$$0.8 \le \frac{4.05}{3.95} = 0.97 \le 1.25$$

$$0.8 \le \frac{3.95}{3.85} = 1.05 \le 1.25$$

$$0.8 \le \frac{3.85}{4.05} = 0.95 \le 1.25$$

## • Types des planchers :

### a. Terrasse:

Type 2:

0.15 0.5 0.5 0.15 
$$\triangle$$
 4.05 m  $\triangle$  3.85  $\triangle$  3.95  $\triangle$ 

## b. Etage courant + RDC:

Type 1:

Type 2:

0.15 0.5 0.5 0.15 
$$\triangle$$
 4.05 m  $\triangle$  3.85  $\triangle$  3.95  $\triangle$ 

Figure III.11: Evaluation des moments fléchissant.

#### Exemple de calcul:

On prend comme un exemple de calcul le type 1 de plancher terrasse ; puisque la deuxième condition de la méthode forfaitaire n'est pas vérifier ( $0.8 \le \frac{L_i}{L_{i+1}} \le 1.25$ ) donc on utilise la méthode de Caquot.

- Evaluation des efforts tranchants: Les efforts tranchants sont évalues soit forfaitairement en supposant la discontinuité entre les travées, dans ce cas les efforts tranchants hyperstatiques sont confonduemême avec les efforts tranchants isostatiques sauf pour les premiers appuis intermédiaires(voisin de rive).
- L'effort tranchant isostatique doit être majoré de:\* (15 %) s'il s'agit d'une poutre deux travées.

\* 10 % s'il s'agit d'une poutre plus de deux travées.

$$\frac{qL_{1}}{2} 1.1 \frac{qL_{2}}{2} \frac{qL_{3}}{2} 1.1 \frac{qL_{4}}{2}$$

$$1.1 \frac{qL_{1}}{2} \frac{qL_{2}}{2} 1.1 \frac{qL_{3}}{2} \frac{qL_{4}}{2}$$

FigureIII.12: Evaluation des efforts tranchants.

### Plancher terrasse:

$$\alpha = \frac{Q}{Q+G} = \frac{1}{1+6.72} = 0.13$$

$$1+0.3\alpha = 1+(0.3\times0.13) = 1,04$$

$$\frac{(1.2+0.3\alpha)}{2} = \frac{(1.2+(0.3\times0.13))}{2} = 0.62$$

$$\frac{(1+0.3\alpha)}{2} = \frac{(1+(0.3\times0.13))}{2} = 0.52$$

### Plancher étage :

$$\alpha = \frac{Q}{Q+G} = \frac{1.5}{1.5+5.14} = 0.22$$

$$1+0.3\alpha = 1+(0.3\times0.22) = 1,066$$

$$\frac{(1.2+0.3\alpha)}{2} = \frac{(1.2+(0.3\times0.22))}{2} = 0.633$$

$$\frac{(1+0.3\alpha)}{2} = \frac{(1+(0.3\times0.22))}{2} = 0.533$$

## III.6.2.5 Evaluation des charges :

## a) plancher terrasse:

$$G = 6.72KN/m^{2}$$

$$Q = 1KN/m^{2}$$

$$\begin{cases} g = 6.72 \times 0.65 = 4.37KN/ml \\ q = 1 \times 0.65 = 0.65KN/ml \end{cases}$$

# b) plancher étage:

$$G = 5.14KN / m^{2}$$

$$Q = 1.5KN / m^{2}$$

$$\begin{cases} g = 5.14 \times 0.65 = 3.341KN / ml \\ q = 1.5 \times 0.65 = 0.98KN / ml \end{cases}$$

### III.6.2.6 Combinaisons d'action:

**ELU**: 
$$P_u = 1.35g + 1.5q$$

**ELS**: 
$$P_s = g + q$$

Désignations	Terrasse	étage
ELU	6.87	5.98
ELS	5.02	5.32

# III.6.3 Détermination des sollicitations des planchées :

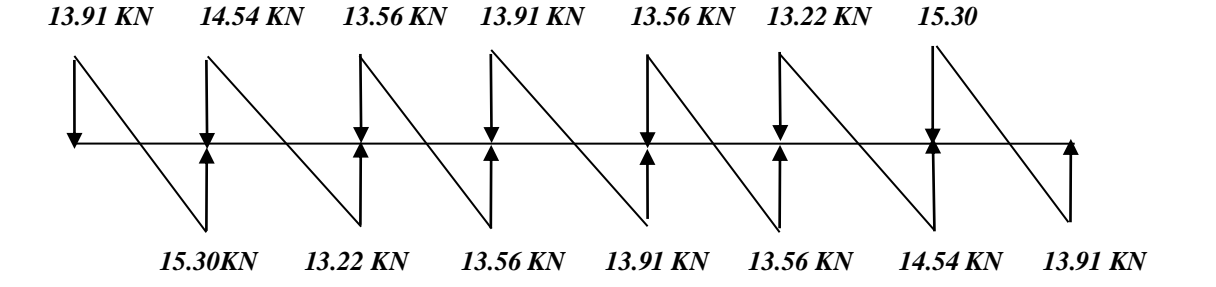
### III.6.3.1 Plancher terrasse:

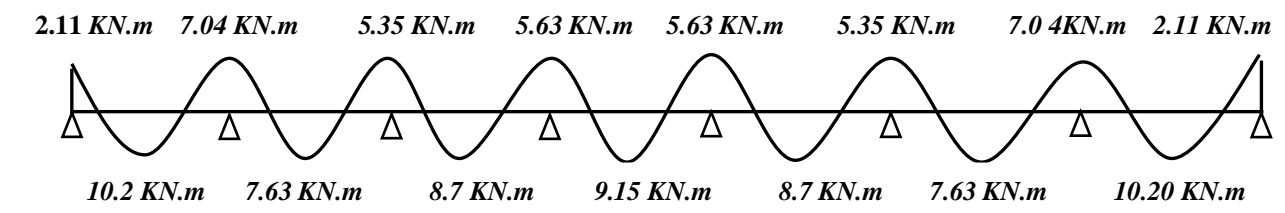
Type 1:

0.15	0.5	0.4	0.4	0.4		0.4		0.5		0.15
Δ	4.05 A	3.85	3.95 A	4.05 A	3.95	Δ	3.85	Δ	4.05	Δ

# **ELU**:

Travée	L(m)	P <sub>U</sub> (KN)	Mo	$M_{g}$	$M_d$	$M_t$	$T_{g}$	$T_d$
1	4.05	6.87	14.08	2.11	7.04	10.20	13.91	15.30
2	3.85	6.87	12.72	6.36	5.08	7.636	14.54	13.22
3	3.95	6.87	13.39	5.35	5.35	8.7	13.56	13.56
4	4.05	6.87	14.08	5.63	5.63	9.15	13.91	13.91
5	3.95	6.87	13.39	5.35	5.35	8.7	13.56	13.56
6	3.85	6.87	12.72	5.08	6.36	7.636	13.22	14.54
7	4.05	6.87	14.08	7.04	2.11	10.20	15.30	13.91





**Figure III.13:** Evaluation des moments et efforts tranchants type 01(plancher terrasse).

## ELS:

Travée	L(m)	Ps(KN)	$M_0$	$M_{g}$	$M_d$	$\mathbf{M}_{\mathbf{t}}$
1	4.05	5.02	10.29	1.54	5.14	7.46
2	3.85	5.02	9.30	4.65	3.72	5.76
3	3.95	5.02	9.79	3.91	3.91	6.36
4	4.05	5.02	10.29	4.11	4.11	6.69
5	3.95	5.02	9.79	3.91	3.91	6.36
6	3.85	5.02	9.30	3.72	4.65	5.76
7	4.05	5.02	10.29	5.14	1.54	7.46

## III.6.4 Ferraillage des poutrelles :

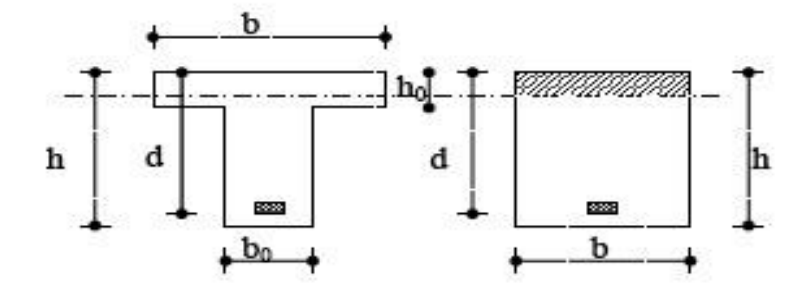
Les armatures seront calculées sous les sollicitations les plus défavorables et le calcul est conduit pour une section en Té soumise à la flexion simple.

## ELU:

Calcule de moment résistant de la section en T:

$$M_0 = \overline{\delta_b} \times b \times h_0 (d - \frac{h_0}{2}) = 14.2 \times 65 \times 4 \times (18 - \frac{4}{2}) = 59072 N.m$$
  
 $M_{t,max} = 10200 < 59072 N.m$ 

Par conséquent, seule une partie de la table est comprimée et la section en Té sera calculée comme une section rectangulaire de largeur b= 65cm et de hauteur d= 18cm.



FigureIII.14: Coupe de Section Rectangulaire et Section en T

#### Travée:

$$\mu = \frac{M_t}{d_0 \times b \times d^2} = \frac{10.20 \times 10^6}{14.2 \times 650 \times 180^2} = 0.034 < 0.392$$

Donc les armatures comprimées sont pas nécessaire A'=0

$$\alpha = 1.25(1 - \sqrt{1 - 2\mu}) = 0.043$$

$$Z = d(1 - 0.4\alpha) = 18(1 - 0.4 \times 0.53) = 17.77cm = 17.69cm$$

$$A_u = \frac{10.20 \times 10^3}{17.69 \times 348} = 1.65cm^2$$

M <sub>t</sub> (N.m)	μ	$\mu_l$	α	Z	A(cm <sup>2</sup> )
10.20	0.034	0.392	0.043	17.69	1.65

## Surappuis:

Le moment sur appui est négatif, donc le béton de la dalle se trouve dans la zone tendue, alors nous considérons une section de largeur b<sub>0</sub>= 10 cm.

$$\mu = \frac{M_a}{\delta_b \times b \times d^2} = \frac{7.04 \times 10^6}{14.2 \times 100 \times 180^2} = 0.153$$

$$\alpha = 0.208$$

$$Z = 16.50cm$$

$$A = \frac{7.04 \times 10^6}{348 \times 165} = 1.22 cm^2$$

M <sub>a</sub> (N.m)	μ	$\mu_l$	α	Z	A(cm <sup>2</sup> )
7.04	0.153	0.392	0.208	16.50	1.22

### **Vérification de la l'effort tranchant :**

$$\tau_{\mu} = \frac{T_{\mu}}{d \times b_{0}} = \frac{15.30 \times 10^{3}}{180 \times 100} = 0.85$$

$$\overline{\tau}_u = 3.3$$

$$au_{\mu} < \overline{ au_{u}}$$

	Ac	Amin	Amax	$\mathbf{A}_{\mathbf{d}}$
Travée	1.65	1.41	1.65	3HA10=2.36
Appui	1.22	0.21	1.22	2HA10=1.57

# **Armature de répartition :**

$$\phi_t \leq \min(\frac{h}{35}, \frac{b_0}{10}, \phi_{l\min})$$

$$\phi_t = 6mm$$

#### Travée:

$$A_{t} = \frac{A_{\text{max}}}{4} = \frac{2.36}{4} = 0.59cm^{2}$$

### Appui:

$$\frac{0.89}{4} = 0.39cm^2$$

On adopte : 2HA6.

# ❖ Vérification des armatures longitudinales en partie basses de l'appui :

L'effort de traction dans ces aciers équilibre l'effort tranchant Tu, diminué de l'effet du moment qui vient les comprimer.

Donc 
$$F_{st} = |Tu| - \frac{M_u}{Z}$$
 avec z = 0.9d.

$$F_{st} = \left| Tu \right| - \frac{M_u}{0.9d} donc : si \left| Mu \right| \ge 0.9 \, d \times Tu \text{ les efforts Tu sont négligeable}$$
 
$$Si \left| Mu \right| \le 0.9 \, d \times Tu : As \ge \frac{\gamma s \left( \left( \left| Tu \right| \right) - \left| Mu \right| \, 0.9 d}{fe}$$

10.20> 0.9×0.18×15.30= 2.47donc les efforts Tu sont négligeables.

# ❖ Vérification de la profondeur minimale d'appui:

La bielle d'about a une largeur a qui vérifie  $a \le 0.9d \rightarrow a \le 16.2$ .

## **❖** Vérification de la bielle de béton : (BAEL A.5.1, 313)

$$T_{U} \le 0.26 \times b \times a \times f_{c28} \Rightarrow a \ge \frac{3.75T_{U}}{b \times f_{C28}}$$
$$\Rightarrow a \ge \frac{3.75 \times 15.3 \times 10^{3}}{100 \times 25} = 2.29cm \times 16.2cm$$

## **❖** Condition de non fragilité : (BAEL 91 A.4.2.1)

$$A_{\min} = \frac{I_{Gt}}{(d - \frac{h_0}{3})v} \times \frac{f_{t28}}{fe} =$$

$$I_{Gt} = b \times \frac{h^3}{3} + (b - b_0) \frac{h^3}{3} - [b_0 + (b - b_0) \times h_0]v^2 =$$

$$v = h - v' = 20 - 9.38 = 10.62$$

$$v' = \frac{b_0 \times h^2 + (b - b_0) \times h_0^2}{2(b_0 + (b - b_0) \times h_0)} = \frac{10 \times 20^2 + (65 - 10) \times 4^2}{2[10 + (65 - 10)] \times 4^2} = 9.38$$

#### **ELS**

# **Vérification des contraintes :**

$$\delta_b = \frac{M_{ser}}{I} \times y \le \overline{\delta_{bc}} = 15MPa$$

## **❖** Détermination de la valeur de « y » :

Travée

$$\frac{b}{2} \times y^2 + h \times A'_s(y - c') - n \times A_s(d - y) = 0$$

$$Avec \rightarrow n = 15$$

$$h \times A'_s(y - c') = 0$$

$$Trav\acute{e}:$$

$$\frac{65}{2}$$
  $v^2 - 15 \times 2$ 

$$\frac{65}{2}y^2 - 15 \times 2.36(18 - y) = 0$$
$$y = 3.91$$

#### арриі:

$$\frac{10}{2}y^2 - 15 \times 1.57(18 - y) = 0$$
$$y^2 + 3y - 84.78 = 0$$
$$y = 7.82$$

### **❖** Moment d'inertie:

$$I = \frac{b \times y^3}{3} + n \times A_s (d - y^2)$$

$$I_t = \frac{65 \times 3.91^3}{3} + 15 \times 2.36 \times (18 - 3.91)^2 = 8323.04 cm^4$$

$$I_a = \frac{10 \times 7.82^3}{3} + 15 \times 1.57 \times (18 - 7.82)^2 = 2600 cm^4$$

	Mser	As	y	I	$\delta_{bc}$	$\delta_{bc} \leq \overline{\delta_{bc}}$
Travée	7.46	2.36	3.91	8323.04	3.50	CV
Appuis	5.14	1 .57	7.82	2600	1.50	CV

## **\*** Ferraillage transversale:

$$\varphi_{t} \leq \min \left[ \frac{h}{35}; \varphi_{t \min}; \frac{b_{0}}{10} \right]$$

$$\varphi_{t} \leq \min \left[ \frac{20}{35}; 0.57; \frac{10}{10} \right]$$

$$\varphi_{t} \leq 0.57cm$$

$$A_{t} = 2\phi6$$

### **Espacement:**

$$s_{t1} \le \min(0.9d, 40cm)$$

$$s_{t1} \le 18cm$$

$$S_t = 15cm \to 1HA14$$

### **❖** Vérification de la flèche par (BAEL 91) :

La vérification de la flèche n'est pas nécessaire si les conditions suivantes sont vérifiées:

Avec: h=0.20 m et l=4.05 m.

Les ferraillages se fait par quadratique de barres, dont les dimensions des mailles ne doivent pas dépasser :

- 20cm dans le sens parallèle aux poutrelles.
- 33cm dans les sens perpendiculaires aux poutrelles.
- L'espacement entre nervures est compris entre 53 et 8cm.
- La section d'acier perpendiculaire aux nervures doit satisfaire :

$$50 \le L \le 80.....cm$$

$$A \ge \frac{4L}{Fe}.....(CBA93)$$

$$L \le 65cm$$

$$A = \frac{200}{Fe}$$

$$L = 65cm, Fe = 400MPa.$$

$$A > \frac{4*65}{400} = 0.65cm^2 / ml$$

Donc on adopte  $5 \% 6mm \dots A = 1.41cm^2/ml$ 

$$S_t = \frac{100}{5} = 20cm$$

La maille choisie de (20x 20 cm) dans le sens parallèle aux nervures.

# Schéma de ferraillage :

En travées : sur appui :

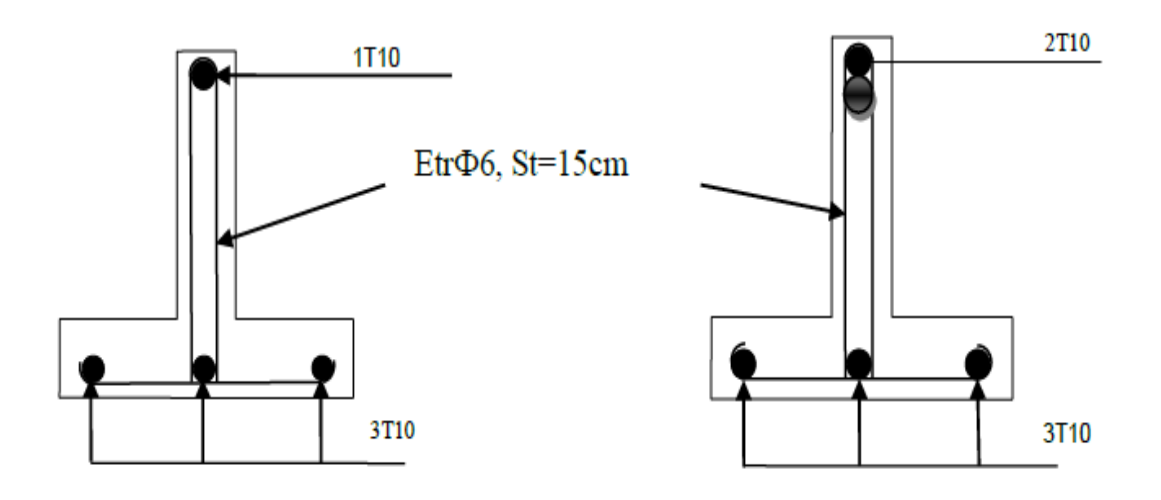


Figure III.15: ferraillagede poutrelle.

## III.7- Etude de la table de compression :

-La table de compression sera ferraillée d'un quadrillage de barres appelées

TREILLIS dont les dimensions de maillage ne doivent pas dépasser :

- \* 20cm (5 ps.m) pour les armatures perpendiculaire aux nervures
- \* 33cm (3 ps.m) pour les armatures parallèles aux nervures.

\*La section d'armatures perpendiculaires aux nervures doit être :

 $A \ge \frac{4 \times L}{f_e}$ , on adopte un treillis soudé de (150 × 150) de diamètre  $\Phi 6$ 

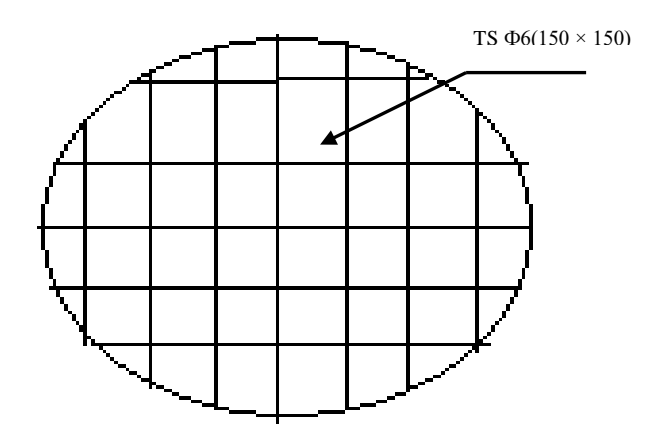


Figure III.16 :Schéma de ferraillage

## **III.8 Conclusion:**

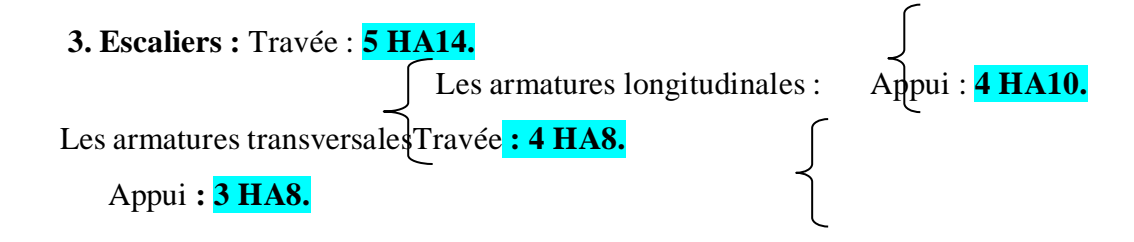
Dans ce chapitre, on a pour déterminer le ferraillage des éléments secondaires de notre structure, et ceci on répond à toutes les exigences du RPA99 version 2003, BAEL 91 modifié en 99, et le CBA 93.

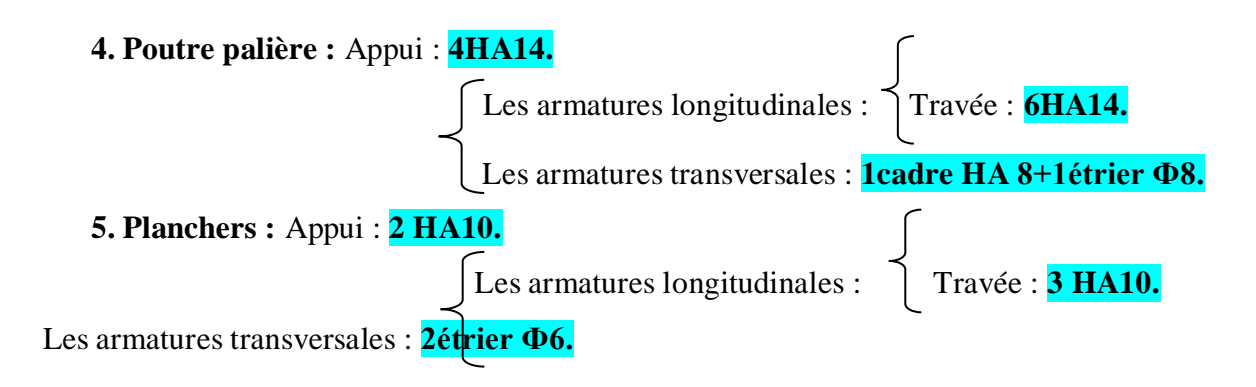
1. Acrotère :Les armatures longitudinales : 4HA8.

Les armatures transversales : 4 HA6.

## 2. Balcons:

Les armatures longitudinales : 3HA12
Les armatures transversales : 3 HA8.





Chapitre IV : Etude dynamique en zone sismique.

### **IV.1Introduction:**

Un séisme est un phénomène naturel, il est une libération brutale de l'énergie potentielle accumulée dans les roches par le jeu des mouvements relatifs des différentes parties de l'écorce terrestre. Lorsque les contraintes dépassent un certain seuil, une rupture d'équilibre se produit et donne naissance aux ondes sismiques qui se propagent dans toutes les directions et atteignent la surface du sol. Ces mouvements du sol excitent les ouvrages par déplacement de leurs appuis et sont plus ou moins amplifiés dans la structure. Le niveau d'amplification dépend essentiellement de la période de la structure et de la nature du sol.

## IV.2 But de l'analyse dynamique :

- -Détermination des caractéristiques dynamiques propres de la structure.
- -Déterminer les modes et les périodes propres.

**ROBOT** considère un modèle brochette encastré à la base où les masses sont considéré concentrées au niveau de chaque plancher.

-La masse des planchers est calculée de manière a inclure une partie de la surcharges D'exploitation ...... ( $\beta = 0,2$ ) tab.4.5.RPA99-v2003.

#### IV.3 Choix de la méthode de calcul:

L'étude sismique a pour but de calcule les forces sismiques, il ya trois méthode pour calcul ce dernier :

- La méthode statique équivalente.
- La méthode d'analyse modale spectrale.
- La méthode d'analyse dynamique par accélérogrammes.

### IV.1.3 Méthode statique équivalente.

## a. Principe:

C'est une méthode simple qui traite seulement du 1er mode de vibration et elle néglige les autres modes. Elle fait remplacer l'effort dynamique par un autre effort statique équivalent fictives. Le mouvement du sol peut se faire dans une direction quelconque dans le plan horizontal. Les forces sismiques horizontales équivalentes seront considérées appliquées successivement suivant deux directions orthogonales caractéristiques choisies par le projecteur. Dans le cas général, ces deux directions sont les axes principaux du plan horizontal de la structure.

### b. Condition d'application : (RPA)

La méthode statique équivalente peut être utilisée dans les conditions suivantes :

- **b.1.** Le bâtiment ou bloc étudié, satisfaisait aux conditions de régularité en plan et en élévation prescrites au chapitre III, paragraphe 3.5 (**RPA99/version2003**) avec une hauteur au plus égale à 65m en zones I et II et à 30m en zones III.
- **b.2.**Le bâtiment ou bloc étudié présente une configuration irrégulière tout en respectant, outres les conditions de hauteur énoncées en (a), les conditions complémentaires suivantes :
  - Zone I : Tous groupes.
  - Zone II: Groupe d'usage 3- Groupe d'usage 2: Si la hauteur est inférieure ou égale à 7 niveaux ou 23m. Groupe d'usage 1B: Si la hauteur est inférieure ou égale à 5 niveaux ou 17m. Groupe d'usage 1A: Si la hauteur est inférieure ou égale à 3 niveaux ou 10m.
  - Zone III : Groupes d'usage 3 et 2 : Si hauteur est inférieure ou égale à 5 niveaux ou 17m. Groupe d'usage 1B : Si la hauteur est inférieure ou égale à 3 niveaux ou 10m. Groupe d'usage 1A : Si la hauteur est inférieure ou égale à 2 niveaux ou 8m.

#### c. Méthode de modélisation :

- ✓ Le modèle du bâtiment à utiliser dans chacune des deux directions de calcul est plan avec les masses concentrées au centre de gravité des planchers et un seul degré de liberté en translation horizontale par niveau sous réserve que les systèmes de contreventement dans les deux (2) directions puissent être découplés.
- ✓ La rigidité latérale des éléments porteurs du système de contreventement est calculée à partir de sections non fissurées pour les structures en béton armé ou en maçonnerie.
  - Seul le mode fondamental de vibration de la structure est à considérer dans le calcul de la force sismique totale.

## IV.3.2 Méthode dynamique modale spectrale :

## a) Principe de la méthode dynamique modale spectrale :

Selon le RPA, la méthode d'analyse modale spectrale peut être utilisée dans tous les cas, et enparticulier, dans le cas où la méthode statique équivalente n'est pas permise. Par cette méthode, il est recherché pour chaque mode de vibration, le maximum des effets engendrés dans la structure par les forces sismiques représentées par un spectre de réponse de calcul. Ces effets sont par la suite combinés pour obtenir la réponse de la structure.

#### b) Modélisation :

- **b.1**) Pour les structures régulières en plan comportant des planchers rigides, l'analysées faite séparément dans chacune des deux directions principales du bâtiment. Celui-ci est alors représenté dans chacune des deux directions de calcul par un modèle plan, encastré à la base et où les masses sont concentrées au niveau des centres de gravité des planchers avec un seul DDL en translation horizontale. **b.2**) Pour les structures irrégulières en plan, sujettes à la torsion et comportant des planchers rigides, elles sont représentées par un modèle tridimensionnel, encastré à la base et où les masses sont concentrées au niveau des centres de gravité des planchers avec trois (03) DDL (2 translations horizontales et une rotation d'axe vertical).
- **b.2**) Pour les structures régulières ou non régulières comportant des planchers flexibles, elles sont représentées par des modèles tridimensionnels encastrés à la base et à plusieurs DDL par plancher.
- **b.3**) La déformabilité du sol de fondation doit être prise en compte dans le modèle toutes les fois où la réponse de la structure en dépend de façon significative.
- **b.4**) Le modèle de bâtiment à utiliser doit représenter au mieux les distributions des rigidités et des masses de façon à prendre en compte tous les modes de déformation significatifs dans le calcul des forces d'inertie sismiques (ex : contribution des zones nodales et des éléments non structuraux à la rigidité du bâtiment).
- **b.5**) Dans le cas des bâtiments en béton armé ou en maçonnerie la rigidité des éléments porteurs doit être calculée en considérant les sections non fissurées. Si les déplacements sont critiques particulièrement dans le cas de structures associées à des valeurs élevées du coefficient de comportement, une estimation plus précise de la rigidité devient nécessaire par la prise en compte de sections fissurées.

#### IV.3. 3- La méthode d'analyse dynamique par accélérogrammes.

# IV.4 Calcul de l'effort tranchant avec la méthode statique équivalente :

$$V = \frac{A \times D \times Q}{R} \times W$$
 ......RPA 99 [formule 4-1]

A: Coefficient d'accélération de la zone (tableau 4 - 1 de RPA 99).

**D**: Facteur d'amplification dynamique moyen, en fonction de la catégorie de site, du facteur de correction d'amortissement ( $\xi$ ) et de la période fondamentale de la structure (T) (tableau 4-2 de RPA 99).

**R** : Coefficient de comportement (tableau 4 –3 de RPA 99).

**Q** : Facteur de qualité (tableau 4 – 4 de RPA 99).

W : Poids totale de la structure.

#### IV.4.1 Définitions de la valeur des coefficients :

a) Coefficient d'accélération de zone (A): Donné par le tableau 4.1 (RPA.99/03) suivent la zone sismique et le groupe d'usage du bâtiment.

Tableau IV.1: Coefficient d'Accélération de Zone A.

/	ZONE							
Groupe	I	I IIa IIb III						
1A	0.15	0.25	0.30	0.40				
1B	0.12	0.20	0.25	0.30				
2	0.10	0.15	0.20	0.25				
3	0.07	0.10	0.14	0.18				

Notre bâtiment est implanté dans la région de Mila (zone IIa) et appartient au groupe 2, pour notre cas on a : A=0.15.

## b) Coefficient de comportement global de structure (R):

Sa valeur unique est donnée par le tableau 4.3. RPA99 en fonction du système de contreventement.

**Tableau IV.2:** Valeurs du coefficient de comportement R.

Béton armé.	Coefficient de comportement (R).
Portiques auto-stables sans remplissages en maçonnerie rigide.	5
Portiques autos-tables avec remplissages en maçonnerie rigide.	3.5
Voiles porteurs.	3.5
Noyau.	3.5
Mixte portiques/voiles avec interaction.	5
Portiques contreventés par des voiles.	4
Console verticale à masses réparties.	2
Pendule inverse.	2

Système de contreventement mixte portiques/voiles avec interaction : R= 5

## c) Facteur de qualité Q:

Q : facteur de qualité c'est un facteur relatif à la qualité du système de contreventement de la structure. Il pénalise les mauvaises conceptions parasismiques (voir RPA99/2003).

Le facteur de qualité de la structure est en fonction de :

La redondance et la géométrie des éléments qui la constituent.

La régularité en plan et en élévation.

La qualité du contrôle de la construction.

La valeur de Q est déterminée par la formule :

Tableau IV.3 : Valeur de facteur de qualité.

Critère: q	Sens X	Sens Y
<b>1.</b> Conditions minimales sur les files de contreventement.	0.05	0.05
2. Redondance en plan.	0	0.05
3. Régularité en plan.	0.05	0.05
4. Régularité en élévation.	0	0
5. Contrôle de la qualité des matériaux.	0.05	0.05
<b>6.</b> Contrôle de la qualité de l'exécution.	0	0
$\sum P_{q}$ .	0.15	0.2

Sens  $XX' \rightarrow Q_x = 1.05$ .

Sens  $YY' \rightarrow Q_v = 1.1$ .

## d) Facteur d'amplification dynamique moyen :

**D**: facteur d'amplification dynamiquemoyen, en fonction de la catégorie de site, du facteur de correction d'amortissement ( $\xi$ ) et de la période fondamentale de la structure (T).

$$D = \begin{cases} 2.5\eta & 0 \le T \le T_2 \\ 2.5\eta (T_2/T)^{2/3} & T_2 \le T \le 3s \\ 2.5\eta (T_2/3)^{2/3} (3/T)^{5/3} & T \ge 3s \end{cases}$$

T<sub>2</sub>: période caractéristique, associée à la catégorie du site et donnée par (*Tableau 4.7 du RPA99/2003*).

η : facteur de correction d'amortissement donné par la formule :

## d.1) Pourcentage d'amortissement critique :

Le pourcentage d'amortissement critique en fonction de matériau constitutif, du type de structure et de l'importance des remplissages.

Tableau IV.4: Valeurs du coefficient d'amortissement suivant le système structurel.

_	Portiques		Voiles ou murs	
Remplissage	Béton armé	Acier	Béton armé/maçonnerie	
Léger	6	4	10	
Dense	7	5		

Nous avons un contreventement mixte voiles -portiques donc on prend une valeur :

$$\xi = 7\%$$

**Donc**: 
$$\eta = \sqrt{\frac{7}{2 + \xi}} = 0.88 \ge 0.7$$

## IV.5 Modalisations et résultats :

### **IV.5.1 Modalisation:**

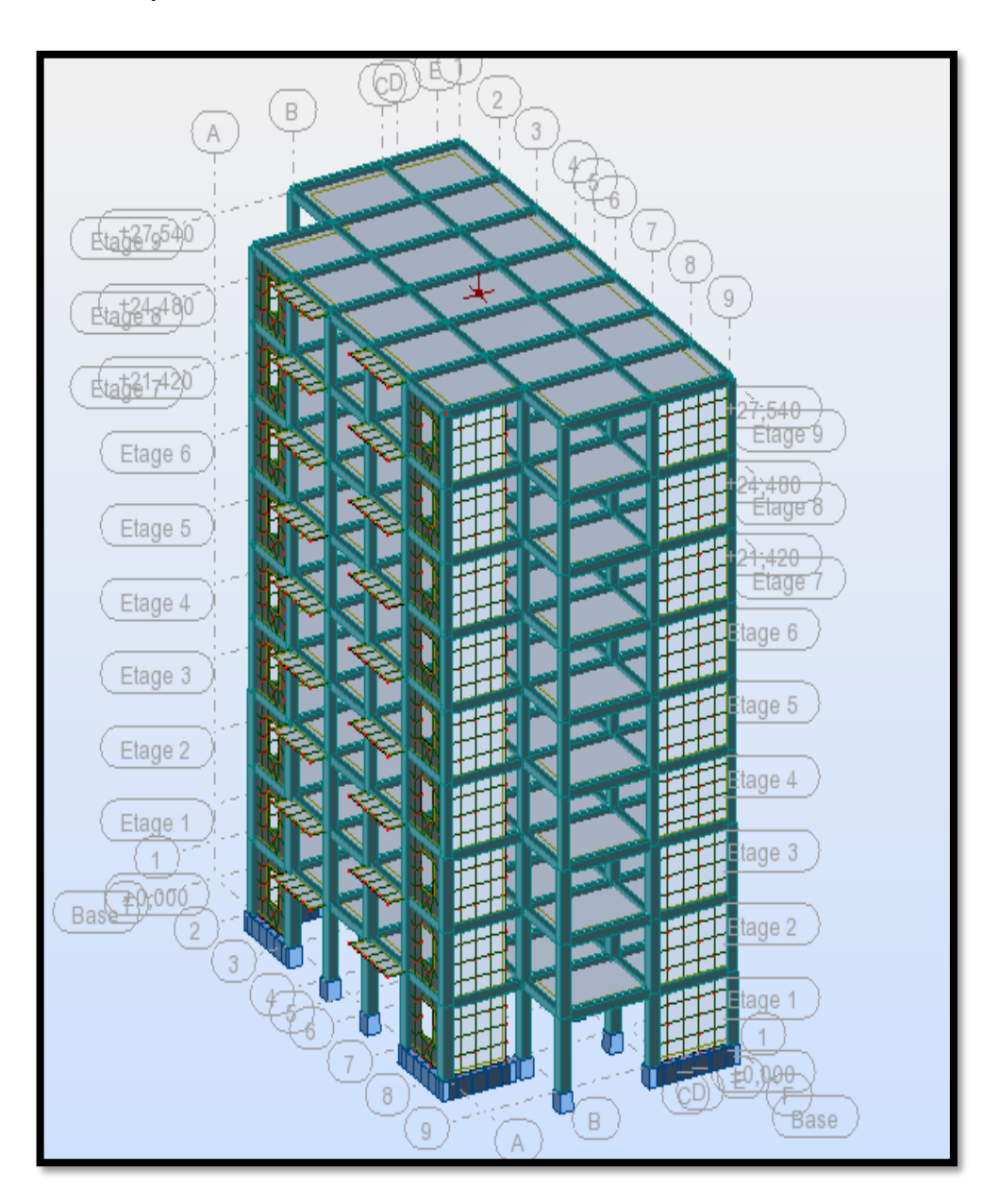
La modélisation de la structure est une phase importante lors d'une analyse dynamique.

Pour modéliser notre structure on utilise le logiciel Autodesk Robot structure

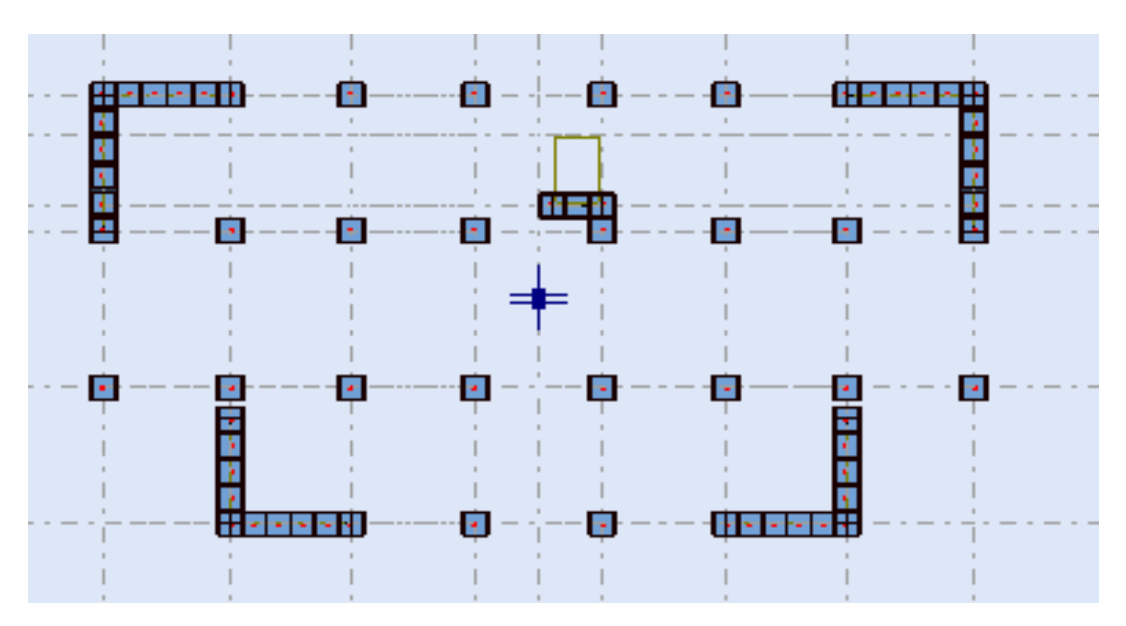
## Structure analysais Professional 2014

# • Présentation de logiciel :

Logiciel ROBOT permet modéliser rapidement et facilement tous types des structures soit en 2D ou 3D qui composées des éléments barre ou surfacique, et Les calculs peuvent être effectués en analyse linéaire ou non lin



FigureIV.1. Vue en plan pour la structure en 3D



FigureIV.2. Vue en plan pour la disposition des voiles selon le plan initial

# IV.5.2 Analyse de la structure :

# • Résultat dynamique par ROBOT :

**Tableau IV.5:** Période et taux de participation.

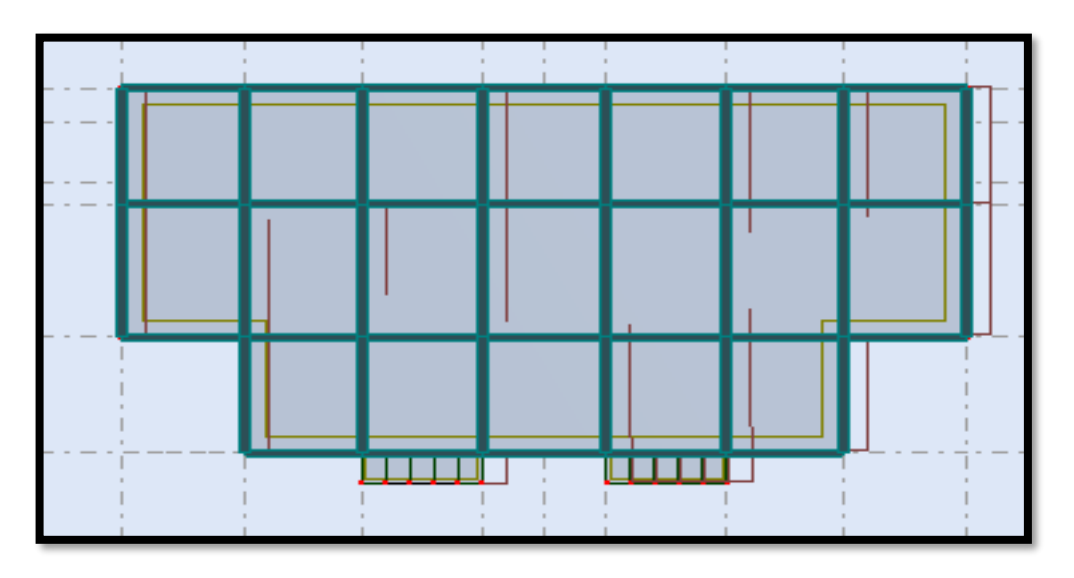
Cas/Mode	Période [sec]	Masses Cumulées UX [%]	Masses Cumulées UY [%]	Masse Modale UX [%]	Masse Modale UY [%]
3/ 1	0,58	66,87	0,15	66,87	0,15
3/ 2	0,54	67,05	66,20	0,18	66,04
3/ 3	0,34	67,22	66,67	0,16	0,48
3/ 4	0,15	86,64	66,68	19,42	0,00
3/ 5	0,14	86,64	86,05	0,01	19,37
3/ 6	0,09	86,72	86,16	0,08	0,11
3/ 7	0,07	92,47	86,16	5,74	0,00
3/ 8	0,06	92,47	92,37	0,00	6,21
3/ 9	0,05	94,86	92,37	2,40	0,00

# • Interprétation

D'après le tableau de Résultat dynamique :

- -1<sup>er</sup>Mode est mode de translation suivant x-x
- -2<sup>eme</sup>Mode est mode de translation suivant y-y
- -3<sup>eme</sup>Mode est mode de torsion
  - Représenté les trios premier mode dans les trois figures suivant :

1<sup>er</sup>Mode de vibration de déformation : translation suivant x-x.



**Figure IV.3 : 1**<sup>er</sup>**Mode** translation selon x-x

 $2^{eme}$  Mode de vibration de déformation : translation suivant y-y

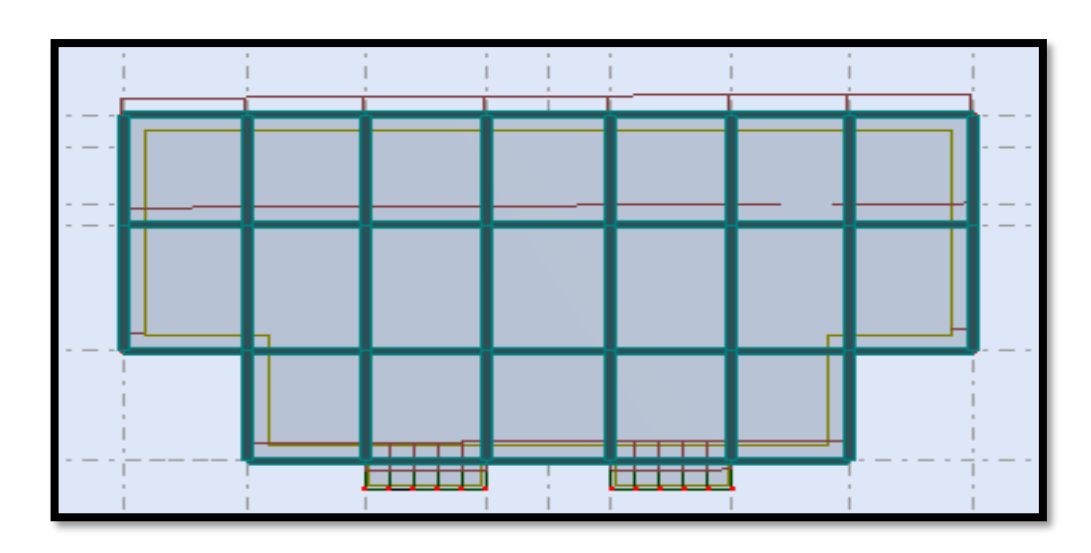
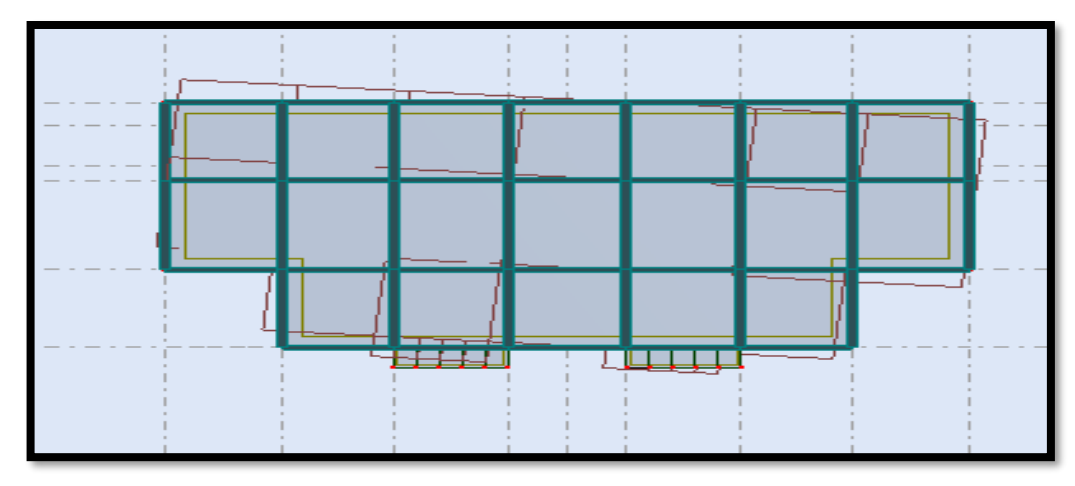


Figure IV.4: 2<sup>eme</sup>translation selon y-y

 $3^{\it eme}$  Mode de vibration de déformation : torsion suivant z-z



**Figure IV.5:** 3<sup>eme</sup> Mode est Mode torsion selon z-z.

# IV.6 Calcule les actions sismiques :

RPA99/version2003 art 4.3.6:

La résultante des forces sismiques à la base Vt obtenue par combinaison des valeurs modales ne doit pas être inférieure à 80% de la résultante des forces sismique déterminée par la méthode statique équivalent V pour une valeur de la période fondamentale donnée par la formule empirique appropriée.

Si Vt≤0,80 V, il faudra augmenter tous les paramètres de la réponse (forces,

Déplacements, moments, ...) dans le rapport 0.8V/Vt.

## IV.6.1 La période empirique T

La période empirique peut être calculée par deux méthodes, selon RPA99 :

$$T = C_T \times h_n^{\frac{3}{4}}$$
.....(1) **RPA99** (Formule 4.6)

 $h_n$ : Hauteur mesurée en mètre à partir de la base de la structure jusqu'au dernier niveau.

Pour notre cas  $h_n = 27,54m$ 

 $C_T$ : Coefficient, fonction du système de contreventement du type de remplissage et donnée par le tableau 4.6 du RPA99.

$$C_T = 0.05$$

$$T = C_T \times h_n^{\frac{3}{4}} = 0,60s$$

Et:

$$T = \frac{0.09 \times h_n}{\sqrt{D}}$$
.....(2) **RPA99** (Formule 4.7)

D : est la dimension du bâtiment à sa base dans la direction de calcul considérée

Donc:

$$T_{x} = \frac{0.09 \times h_n}{\sqrt{D}} = 0.47 \text{s}$$

$$T_y = \frac{0.09 \times h_n}{\sqrt{D}} = 0.65$$
s

$$T_x = \min(T_x; T) = \min(0.47; 0.60) = 0.47s$$

$$T_y = \min(T_x; T) = \min(0.65; 0.60) = 0.60s$$

Donc la période fondamentale majorée de 30% est :

### IV.6.2-Calcul facteur d'amplification :

On a:

$$0 \le T_x = 0.47s \le 0.50s$$

 $D_x$ : Calculé par la formule :

$$D_x = 2.5\eta = 2.205$$

et  $0.50s \le T_y = 0.60s \le 3s$ 

 $D_y$ : Calculé par la formule :

$$D_y = 2.5\eta (T_2/T)^{2/3} = 1.95$$

### IV.6.3-Calcule La force sismique totale V

 $V_x = 2271,16KN$ 

 $V_{v} = 2087,96$ KN

**Tableau IV.6:** Vérification de l'effort tranchant à la base.

$\sum F$	$V_{dyn}(KN)$	$0.8V_{st}(KN)$	observation
$\sum F_{x}$	1882,54	1816,93	vérifiée
$\sum F_{y}$	1999,20	1670,37	Vérifiée

### IV.7érification nécessaires :

### IV.7.1-Vérification de masse participant

Selon RPAV2003, Le taux de participation massique doit être supérieur à 90%

D'après le tableau de représentatif de la période et la masse participante :

Les valeurs de la masse cumulées UX [%]etla masse cumuléesUY[%] dans le dernier mode sont supérieur à 90[%]......CV

# IV.7.2 Vérification des déplacements : (vérification de l'article 5.10 RPA 2003)

Les déplacements d'un étage par rapport à l'étage qui lui est adjacent ne doivent pas dépasser 1% de la hauteur d'étage.

Le déplacement horizontal à chaque niveau (k) de la structure est calculé par :

$$\delta_k = R\delta_{ek}$$
 (Article 4.4.3 RPA99/v2003).

### Avec $\mathbf{R} = \mathbf{5}$

Le déplacement relatif du niveau (K) par rapport au niveau (K-1) est égale à :

$$\Delta_K = \delta_k - \delta_{k-1}$$

Sens x-x Sens y-y Niveau Hauteur  $\delta_{ek}$  $\delta_k$  $\delta_k$ 1%h cond  $\delta_{ek}$  $\Delta_K$  $\Delta_K$ (m) (m) (m) (m) (m) (m) (m) (m) ition 1 3.06 0,0019 0.0095 0,00164 0.00820.0082 0.0306  $\mathbf{C.V}$ 0.0095 2 3.06 C.V 0,00365 0.019 0.0088 0,00324 0.0162 0.008 0.0306 3 C.V 3.06 0,00472 0.0236 0.0046 0,0043 0.0215 0.0053 0.0306 0,0057 0.0285 0.0049 0,00523 C.V 4 3.06 0.0266 0.0051 0.0306 5 3.06 0,00632 0.0316 0.0031 0,00582 0.0291 0.0025 0.0306 C.V 0.0016C.V 0,00663 0,00613 6 3.06 0.0331 0.0307 0.0016 0.0306 7 3.06 0,00618  $\mathbf{C.V}$ 0,00666 0.0333 0.0002 0.0309 0.0003 0.0306 8 3.06 0,00653 0.0326 -0.0007 0,00605 0.0303 -0.0007 C.V 0.0306 9 0.00620 0.031 -0.0017 0,00587 0.0294 -0.0009 0.0306 C.V 3.06

**Tableau IV.7**: Les déplacements horizontaux à chaque niveau selon les deux sens.

# IV.7 .3-Vérification de l'effet $P - \Delta$

L'effet du second ordre (ou effet de P - $\Delta$ ) peut être négligé lorsque la condition suivante est satisfaire à tous les niveaux

### L'article 5.9 du RPA99/version2003 :

$$\theta = {}^{{I\!\!P}_K \times \Delta_K}/{}_{{I\!\!V}_K \times {I\!\!H}_K} \le 0,1$$

Avec:

 $P_K$ : Poids total de la structure et des charges d'exploitation associée au-dessus de Niveau k.

 $V_K$ : effort tranchant d'étage au niveau k.

- Les valeurs des effort tranchant d'étage au niveau k :
  - Sens x-x :

**Tableau IV.8 :** La valeur d'effort tranchant d'étage au niveau k x-x

Niveau	$V_x$
1	1882,56
2	1836,80
3	1750,69
4	1642,55
5	1502,14
6	1323,42
7	1102,37
8	835,94
9	501,95

# - Sens y-y:

Tableau IV.9: La valeur effort tranchant d'étage au niveau k y-y

Niveau	$V_y$
1	1999,22
2	1955,75
3	1862,87
4	1743,95
5	1597,91
6	1406,79
7	1173,89
8	896,65
9	536,16

 $\Delta_{\textit{K}}$  : Déplacement relatif du niveau k par rapport au niveau k-1.

 $H_K$ : Hauteur de l'étage k.

# - Sens x-x:

**Tableau IV.10:** Vérification à L'effet P- selon x-x.

Niveau	$P_K(KN)$	$\Delta_{K}(\mathbf{m})$	$V_{\chi}(KN)$	$H_K(\mathbf{m})$	θ	<b>≤ 0, 1</b>
1	32698,54	0.0095	1882,56	3,06	0,053	CV
2	28556,55	0.0088	1836,80	3,06	0,045	CV
3	24841,02	0.0046	1750,69	3,06	0,021	CV
4	21208,07	0.0049	1642,55	3,06	0,021	CV
5	17715,85	0.0031	1502,14	3,06	0,012	CV
6	14225,51	0.0016	1323,42	3,06	0,006	CV
7	10735,18	0.0002	1102,37	3,06	0,001	CV
8	7244,48	-0.0007	835,94	3,06	-0,002	CV
9	3770,67	-0.0017	501,95	3,06	-0,004	CV

 $V_{\nu}$ Niveau  $P_K$  $\Delta_{K}$  $H_K$  $\leq$  0, 1 1 32698,54 0.0082 1999,22 3,06 0,043 CV2 28556,55 0.008 1955,75 3,06 0,038 CV3 24841,02 0.0053 1862,87 3,06 0,023 CV 4 CV21208,07 0.0051 1743,95 3,06 0,02 5 0.0025 3,06 0,01 CV17715,85 1597,91 6 14225,51 0.0016 1406,79 3,06 0,01 CV7 10735,18 0.00031173,89 0,001 CV3,06 8 7244,48 -0.0007 896,65 3,06 -0,002CV9 3770,67 -0,002 CV-0.0009 536,16 3,06

**Tableau IV.11:** Vérification à L'effet P - $\Delta$  selon y-y

### Remarque:

Tous les valeurs de  $\theta$  sont inferieur à 0,1 donc l'effetP –  $\Delta$  n'a pas d'influence sur la structure.

### IV.7.4. Vérification de l'excentricité accidentelle :

Après le RPA99V2003 (art 4.3.7) la valeur de l'excentricité accidentelle donnée par les formules suivant :

Sens  $x : e_{acc} = 0.05L_{xi}$ 

Sens-y:  $e_{acc} = 0.05L_{vi}$ 

La détermination de centre de masse est basée sur le calcule des centres de masse de chaque élément de la structure. Les cordonnées des centres de masses sont déterminés par les formules suivantes :

$$X_G = \sum \frac{M_i \times X_i}{M_i}$$

$$Y_G = \sum \frac{M_i \times Y_i}{M_i}$$

Avec:

M<sub>i</sub>: la massede l'élément i

X<sub>i</sub> etY<sub>i</sub>: cordonnées des centres de gravité de l'élément i par rapport au repère globale :

Tableau IV-12: centre de masse et centre de torsion.

	Position de centre de		Position de centre de	
	masse		torsion	
Niveau	$\mathbf{X}_{\mathbf{G}}$	$\mathbf{Y}_{\mathbf{G}}$	$X_R$	Y <sub>R</sub>
RDC	8.75	7.57	8.74	8.02
1	8.75	7.57	8.74	8.03
2	8.75	7.57	8.74	8.03
3	5	7.57	4	7.05
4	5	7.57	5	8.06
5	5	7.57	5	8.06
6	5	7.57	5	8.06
7	4	7.56	5	8.06
8	5	7.53	5	7.7

# Calcule l'excentricité:

L'excentricité théorique

$$\mathbf{e}_{\mathbf{x}} = |\mathbf{X}_{\mathbf{G}};\!\mathbf{X}_{\mathbf{R}}|\;;\; \mathbf{e}_{\mathbf{y}} = |\mathbf{Y}_{\mathbf{G}};\!\mathbf{Y}_{\mathbf{R}}|$$

L'excentricité accidentelle:

Sens 
$$x$$
- $x$   $e_{acc} = 0.05L_x$ 

Sens y-y 
$$e_{acc} = 0.05L_y$$

Tableau IV.13 : Vérification de l'excentricité accidentelle.

	L'excent théorique		L'excentricité accidentelle		observation
Niveau	e <sub>x</sub>	$\mathbf{e}_{\mathbf{y}}$	e <sub>acc x</sub>	e <sub>acc y</sub>	$\mathbf{e}_{ ext{th\'eorique}} < e_{ ext{acc}}$
RDC	0	0.45	1.39	0.715	C.V
1	0	0.46	1.39	0.715	C.V
2	0	0.46	1.39	0.715	C.V
3	1	0.48	1.39	0.715	C.V
4	0	0.49	1.39	0.715	C.V
5	0	0.49	1.39	0.715	C.V
6	0	0.49	1.39	0.715	C.V
7	1	0.5	1.39	0.715	C.V
8	0	0.17	1.39	0.715	C.V

# IV.7 .5-Justification vis-à-vis de l'équilibre d'ensemble

La vérification vis-à-vis de l'équilibre d'ensemble se fera pour les deux sens par la formule suivant :

$$M_s/M_r \ge 1,5$$

Mr: moment de renversement provoqué par les charges horizontales.

Ms: moment stabilisateur provoqué par les charges verticales.

$$Ms = W \times L/2$$

W: le poids total de la structure

#### - Sens x-x

**Tableau IV.14 :** Le moment de renversement provoqué par effort sismique sens X-X

FX [KN]	Hi[m]	Hi[m] FX [KN]				
1882,56	3,06	5760,63				
1836,80	6,12	11241,22				
1750,69	9,18	16071,33				
1642,55	12,24	20104,81				
1502,14	15,3	22982,74				
1323,42	18,36	24298				
1102,37	21,42	23604,84				
835,94	24,48	20463,11				
501,95	27,54	13823,7				
M	$M_{Dx} = 158350,38$ KM.m					

$$Ms = W \times L/2 = 453692,243 \text{ KN.m}$$

$$\frac{M_{sx}}{M_{rx}} = 2,86 \ge 1,5....$$

- Sens y-y

 $Ms = W \times L/2 = 32698,54 \times 14,35/2 = 234612,025KN*m$ 

FY [KN]	Hi[m]	Hi[m] FY [kN]
1999,22	3,06	6117,61
1955,75	6,12	11969,19
1862,87	9,18	17101,15
1743,95	12,24	21345,95
1597,91	15,3	24448,02
1406,79	18,36	25828,66
1173,89	21,42	25144,72
896,65	24,48	21950
536,16	27,54	14765,85
Totale		$M_{DY} = 168671,14$ KN.m

Tableau IV.15: Le moment de renversement provoqué par effort sismique sens Y-Y

### IV.7.6. Vérification de l'effort normal réduit

Selon l'article **7.4.3.1 du RPA99/2003**, dont le but d'éviter ou limiter le risque de rupture fragile sous sollicitations d'ensemble dues au séisme, l'effort normal de compression de calcul est limité par la condition suivante :

$$V = \frac{N_d}{B \times f_{c28}} \le 0.3$$

Avec:

 $N_d$ : L'effort normal de compression s'exerçant sur la section du po8teau.

B: l'aire de la section transversale du poteau.

Tableau IV.16: Vérification de l'effort normal réduit.

POTEAU	Br(m <sup>2</sup> )	Nd(KN)	V	Observation
60x60	0,36	2304,15	0,256	CV
55x55	0,3025	2000,38	0,264	CV
45x45	0,2025	1438,58	0,284	CV

# **IV.8Conclusion**

Reposons sur ces résultats obtenus dans cette étude dynamique, on peut dire que notre bâtiment est bien dimensionné et peut résister aux déférents chocs extérieurs, tel que le séisme après un ferraillage correct.

Chapitre V : Calcul des éléments résistants

### V.1 Introduction

Les éléments principaux, sont les éléments qui interviennent dans la résistance aux actions sismique, ainsi qu'aux actions dues aux charges permanentes et les charges d'exploitation.

Le ferraillage de ces éléments doit être calculé de manière à résister les combinaisons de différentes actions, en considérant le cas le plus défavorable.

Les règlementations en vigueur « BAEL91et RPA99 » nous dictent un certain nombre de combinaison avec lesquelles nous allons travailler.

Les objectifs de la détermination des sections d'aciers nécessaires pour assurer les critères relatifs à la résistance, la ductilité, et la stabilité des éléments constructifs de notre ouvrage.

# V.2 Etude des poteaux :

Les poteaux sont soumis à des efforts normaux, des moments fléchissant et à des efforts tranchants, ils seront donc calculés en flexion composée, avec un cas de fissuration jugé peu nuisible à l'ELU de stabilité de forme, on considérant les sollicitations suivants :

Effort normal.
Effort tranchant.
Moment fléchissant.

Donc ils doivent être ferraillés en flexion composée selon la combinaison la plus défavorable et dans les situations suivantes :

- Situation durable :
  - Béton :  $\gamma_b$ =1,5 ; fc28=25MPa ;  $\sigma$ bc = 14,17MPa
  - Acier : γs=1,15 ; Nuance FeE400 ; σs=348MPa
- > Situation accidentelle:
  - Béton :  $\gamma b=1,15$  ;  $f_{c28}=25MPa$  ;  $\sigma_{bc}=18,48MPa$
  - Acier :  $\gamma_s$ =1,00 ; Nuance FeE400 ;  $\sigma_s$ =400MPa

Chacune des trois combinaisons donne une section d'acier. La section finale choisit correspondra au max des trois valeurs (cas plus défavorable).

Les poteaux sont soumis aux efforts suivants :

_ Effort normal.	
☐ Effort tranchant.	
☐ Moment fléchissant.	

### a. Combinaison spécifique de calcul :

☐ Combinaisons fondamentales « BAEL 91 révisée 99 » :

$$1,35 \times G + 1,5 \times Q$$
 ..... (ELU)

☐ Combinaisons accidentelles « RPA 99 / version 2003 » art 5.2 :

$$G + Q \pm E \dots (ACC)$$

$$0.8G \pm E$$
 ..... (ACC)

Chacune des trois combinaisons donne une section d'acier. La section finale choisit correspondra au max des trois valeurs (cas plus défavorable).

Les poteaux sont soumis aux efforts suivants :

- Effort normal.
- Effort tranchant.
- Moment fléchissant.

Ils seront donc calculés en flexion composée. Dans les calculs on peut avoir l'un des trois cas suivants :

- Section entièrement comprimée SEC.
- Section entièrement tendue **SET**.
- Section partiellement comprimée **SPC**.

Le ferraillage des poteaux doit être mené conformément aux exigences du CBA et aussi aux prescriptions du RPA données ci-après :

### b. Les armatures longitudinales :

- Les armatures longitudinales doivent être à haute adhérence droites et sans crochets.
- Leur pourcentage minimal sera de 0.8% (zone II).
- Leur pourcentage maximal sera de 4% en zone courante et de 6% en zone de recouvrement.
- La longueur minimale de recouvrement est de  $40 \Phi$  (zone II).
- La distance entre les barres verticales dans une surface du poteau ne doit pas dépasser
   25cm (zone II).
- La jonction par recouvrement doit être faite si possible à l'extérieure des zones nodales (zones critiques)
- h' = Max (he/6, b1, h1, 60cm).

Les valeurs numériques relatives aux prescriptions du RPA concernant notre ouvrage sont apportées dans le tableau suivant :

#### c. Les armatures transversales :

D'après [RPA99version2003] (Art 7.4.2.2):

Les armatures transversales des poteaux sont calculées à l'aide de la formule suivant :

$$\frac{A_t}{t} = \frac{\rho_a \times V_u}{h_1 \times f_e} \dots (1)$$

Vu : l'effort tranchant de calcul.

h<sub>1</sub>: hauteur totale de la section brute.

fe: contrainte limite élastique de l'acier d'armature transversale.

 $\rho_a$ : Coefficient correcteur qui tient compte du mode fragile de la rupture par l'effort tranchant ; il est pris égale à :

$$\rho_a = 2.5....\lambda_g \ge 5$$

$$\rho_a = 3.75...\lambda_g \le 5$$

 $\lambda_{\rho}$  Estl'élancement géométrique du poteau :

$$\lambda_g = \frac{l_f}{a} Ou \frac{l_f}{b}$$

Les armatures transversales des poteaux sont calculées à l'aide de la formule suivante :

$$\phi_t = \min(\frac{h}{35}; \frac{b}{10}; \phi_1)....BAEL91/99$$

t : Espacement des armatures transversales dont la valeur est déterminé dans la Formule

(1); par ailleurs la valeur maximum de cet espacement est fixée comme suit :

 $\square$  dans la zone nodale :  $t \le Min (10\Phi_1, 15cm)$  en zone IIa.

 $\square$  dans la zone courante : t' $\le$  15  $\Phi_1$  en zone IIa.

Où  $\Phi_1$ est le diamètre minimal des armatures longitudinales du poteau.

### d. Vérification spécifique sous sollicitations normales :

Avant de calculer le ferraillage il faut d'abord faire la vérification prescrite par le RPA99/2003 article 7.4.3 dans le but d'éviter ou limiter le risque de rupture fragile sous sollicitation d'ensemble dues au séisme.

L'effort normal de compression est limité par la condition suivante :

$$V = \frac{N_d}{B_C \times f_{C28}} < 0.3$$

Avec .

N<sub>d</sub> : L'effort du poteau le plus sollicité sous combinaison sismique.

B<sub>c</sub>: L'aire (la section brute obtenue après calcul sismique) de cette dernière.

 $f_{c28}$ : La résistance caractéristique du béton à 28 jours.

**Tableau V.1**: Vérification des nouveaux poteaux sous les sollicitations normales.

poteaux	N <sub>d</sub> (t)	B <sub>c</sub> ( cm <sup>2</sup> )	F <sub>c28</sub>	V≤0.3	observation
60x60	230.415	60x60	25	0.25	CV

# > Calcul des armatures longitudinales :

**Tableau V.2:** sollicitations dans les poteaux

	M <sup>max</sup>	N <sup>corr</sup>	N <sup>max</sup>	M <sup>corr</sup>	N <sup>min</sup>	M <sup>corr</sup>
60×60	71.14	1243.71	2304.15	9.83	172.02	59.92
55×55	104.27	66.46	2000.38	9.28	171.76	63.60
45×45	116.07	92.93	1432.58	7.87	86.3	63.80

### Remarque

Les résultats obtenus dans le tableau ci-dessus correspondants aux combinaisons les plus défavorables pour les poteaux.

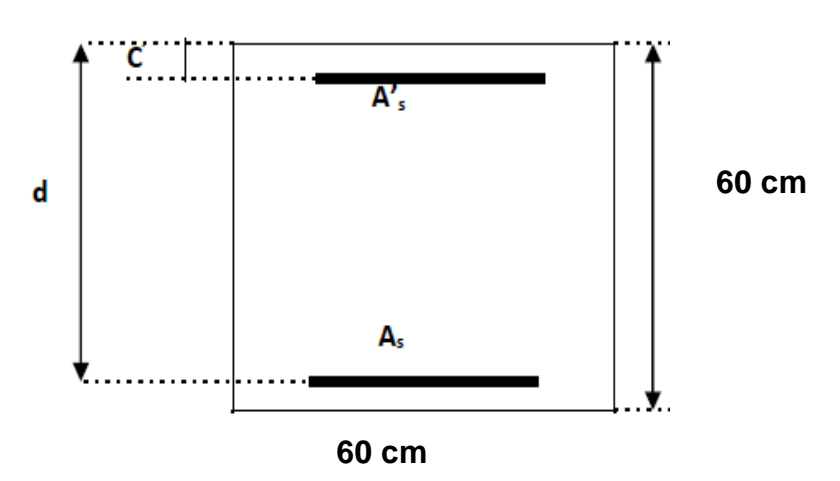
# ➤ Ferraillage des Poteaux (60x60) cm:

b = h = 60cm

d = 0.9h = 54cm = 0.54m

c = 2cm = 0.02m;  $\sigma_{sc} = 348MPa$ 

Nuance Fe400; Fissuration préjudiciable.



**Figure V.1:** Représentation schématique Poteau (60×60)

# Exemple de calcul:

ELU:

 $N_{max} = 2304.15KN$ 

 $M_{corr} = 9.83 \text{ KN.m}$ 

Calcul de l'excentricité « e »:

 $e = e_1 + e_2$ 

 $e_1 = e_a + e_0$ 

e1: excentricité du premier ordre de la résultante des contraintes normales avant application des excentricités additionnelles.

e<sub>a</sub> : excentricité additionnelle traduisant les imperfections géométriques initiales (après exécution).

 $e_a = max (2 cm; L/250) = 2 cm.$ 

$$e_1 = \frac{M_u}{N_u}$$
;  $e_a = \max\left(2cm, \frac{L}{250}\right)$ ;  $e_2 = \frac{3l_f^2}{10000h}(2 + \alpha\phi)$ 

#### Avec:

L: longueur du poteau.

l<sub>f</sub>: longueur de flambement du poteau.

h: hauteur totale de la section du poteau dans la direction du flambement.

α: Rapport du moment du premier ordre, dû aux charges permanentes et quasipermanentes, au moment total du premier ordre.

$$\alpha = \frac{M_G}{M_G + M_O} \quad O\dot{u} \quad \alpha = 10 \left(1 - \frac{M_u}{1.5 M_{ser}}\right)$$

φ : Rapport de la déformation finale due au fluage à la déformation instantanée, ce rapport est généralement pris égale à 2.

Les sollicitations de calcul deviennent ainsi :  $N_u$  inchangé,  $M_u = N_u$  ( $e_1 + e_a + e_2$ ).

### > Détermination des sections d'acier :

### Exemple de calcul:

Calcul excentricité:

1ercas:

 $N_{\text{max}} = 2304.15 \text{ KN}$ 

Mcorr=9.83 KN.m

$$e_0 = \frac{Mu}{Nu} = \frac{9.83}{2304.15} = 0.0042m$$

Calcul de l'excentricité additionnelle e<sub>a</sub>: (BAEL A.4.3.5) [3]

$$e_a = \max \left[ 2cm, \frac{L}{250} \right] = e_a = \max \left[ 2cm, 1.22cm \right] = 0.02m$$

$$e_1 = e_0 + e_a = 2.42cm$$

$$\frac{l_f}{h} = 3.57 \le \max(15;20 \frac{e_1}{h}) = \max(15;20 \times \frac{0.0242}{0.6}) = \max(15;1.04) = 15.....CV$$

Donc le calcul se faire dans la flexion composée :

Donc on calcul e<sub>2</sub>.

Vérification de l'excentricité due aux effets du second ordre : (CBA93 A.4.3.5) [2]

$$e_2 = \frac{3 \times L_f^2}{10000 \times h} \times (2 + \alpha \phi)$$

 $\alpha$ : le rapport de moment de première ordre de la charge permanente au moment total de premier ordre.

$$\varphi = 2.$$

$$\alpha = \frac{M_G}{M_G + M_Q} = \frac{19.75}{19.75 + 6.77} = 0.744$$

$$e_2 = \frac{3 \times (0.7 \times 3.06)^2}{10^4 \times 0.6} \times (2 + 0.744 \times 2) = 0.008m$$

$$e_2 = 0.80cm$$

$$e = e_1 + e_2 = 3.22cm$$

Il faut vérifier que:

$$\begin{split} M_{u} &= N \times e = 2304.15 \times 0.0322 = 74.193KN.m \\ M_{ua} &= M_{u} + N_{u} (d - \frac{h}{2}) = 74.193 + 2304.15(0.54 - 0.3) = 627.189KN.m \\ M_{u} &< M_{ua} \\ \mu_{bu} &= \frac{M_{uA}}{bd^{2}fbu} = \frac{627.189 \times 10^{6}}{600 \times 540^{2} \times 14.2} = 0.252 \\ \mu_{bu} &= 0.252 \prec \mu_{l} = 0.392......A' = 0 \\ \alpha &= 1.25 \times (1 - \sqrt{1 - 2 \times \mu_{bu}}) = 1.25 \times (1 - \sqrt{1 - 2 \times 0.226}) = 0.369 \\ \beta &= 1 - 0.4\alpha = 1 - 0.4(0.324) = 0.852 \\ Mu \end{split}$$

$$A_{s} = \frac{Mu}{\beta d\sigma_{s}}$$

$$A_{s} = \frac{627.189 \times 10^{3}}{0.852 \times 0.54 \times 347.82}$$

# $A_{s} = 39.19cm^{2}$

### > Revenir à la flexion composée

$$A' = S$$

$$A_{s1} = S - N/\sigma s = 3515 - 2304150 / 400 = -2245.375 \text{ mm}^2$$

 $A_{s1} = -22.45 \text{ cm}^2 < 0$ ; signifie que la section du béton résiste sans ferraillage.

### ≥2emecas

$$\mathbf{N^{min}} = -172.02$$
$$\mathbf{M^{corr}} = -59.92$$

$$e_G = \frac{Mu}{Nu} = \frac{= -59.92}{-172.02} = 0.348m$$

$$e_G \le d - \frac{h}{2} = (0.54 - \frac{0.60}{2}) \Rightarrow 0.348cm \ge 0.24m....CNV$$

N est un effort de traction donc la section est entièrement tendue.

$$e_{a1} = h/2 - d' + /e / = 0.30 - 0.06 + 0.348 = 58.8 \text{ cm}$$

$$e_{a2} = h/2 - d' - /e / = 0.30 - 0.06 - 0.348 = 10.8 cm$$

$$A1 = (N * eA2)/(eA1 + eA2)\sigma s = 403.7 \text{ mm}^2 \rightarrow A1 = 4.04 \text{ cm}^2$$

$$A2 = (N * eA1)/(eA1 + eA2)\sigma s = 66.73 \text{ mm}^2 \rightarrow A2 = 0.66 \text{ cm}^2$$

$$A = A_1 + A_2 = 4.70 \text{ cm}^2$$

Calcul A<sub>min</sub>:

$$A_{\min} = \frac{B \times f_{t28}}{f_e} = 18.90cm^2$$

#### **≥**3eme cas

### Calcul excentricité:

$$e_0 = \frac{Mu}{Nu} = \frac{71.14}{1243.71} = 0.057m$$

Calcul de l'excentricité additionnelle ea: (BAEL A.4.3.5) [3]

$$e_a = \max \left[ 2cm, \frac{L}{250} \right] = e_a = \max \left[ 2cm, 1.22cm \right] = 0.02m$$

$$e_1 = e_0 + e_a = 7.7cm$$

$$\frac{l_f}{h} \le \max(15;20 \times \frac{e_1}{h})$$

$$\frac{2.14}{0.6} = 3.57 \le \max(15;20 \times \frac{0.077}{0.6})$$

$$3.57 \prec 15.....CV$$

Donc le calcul se faire dans la flexion composée : - Donc on calcul e<sub>2</sub>

Vérification de l'excentricité due aux effets du second ordre : (CBA93 A.4.3.5) [2].

$$e_2 = \frac{3 \times L_f^2}{10000 \times h} \times (2 + \alpha \phi)$$

$$\alpha = \frac{M_G}{M_G + M_O} = \frac{19.75}{19.75 + 6.77} = 0.744$$

$$e_2 = \frac{3 \times (0.7 \times 3.06)^2}{10^4 \times 0.6} \times (2 + 0.74 \times 2) = 0.0079m$$

$$e_2 = 0.79cm$$

$$e = e_1 + e_2 = 8.49cm$$

# Il faut vérifier que :

La section est partiellementcomprimée et le calcul sera fait par assimilation à laflexion simple :

$$M_u = N_u \times e = 1243.71 \times 0.0849 = 105.59 \text{KN.m}$$

$$M_{uA} = M + N_u (d - \frac{h}{2}) = 105.59 + 1243.71(0.54 - \frac{0.6}{2}) = 404.08KN.m$$

$$\mu_{bu} = \frac{M_{uA}}{bd^2 fbu} = \frac{404.08 \times 10^6}{600 \times 540^2 \times 14.2} = 0.162$$

$$\mu_{bu} = 0.162 \prec \mu_l = 0.392.....A' = 0$$

$$\alpha = 1.25 \times (1 - \sqrt{1 - 2 \times \mu_{bu}}) = 1.25 \times (1 - \sqrt{1 - 2 \times 0.162}) = 0.222$$

$$\beta = 1 - 0.4\alpha = 1 - 0.4(0.222) = 0.911$$

$$A_1 = \frac{Mu}{\beta d\sigma_s}$$

$$A_1 = \frac{404.08 \times 10^3}{0.911 \times 0.54 \times 347.82} = 2360.34 mm^2 \Rightarrow A_1 = 23.60 cm^2$$

# > Revenir à la flexion composée

$$A' = S$$

$$A_{s1} = S - N/\sigma s = 2360 - 1243710/400 = -749.275 \text{ mm}^2$$

 $A_{s1} = -7.49 \text{ cm}^2 < 0$ ; signifie que la section du béton résiste sans ferraillage

### **Armatures finales:**

$$Af = \max(A_{calculer}, A_{BAEL}, A_{RPA})$$

# > Sections minimales exigée par le RPA99/version2003 :

• Poteaux (60 x 60)

$$As = 33.64 \text{ cm}^2$$

Les sections d'acier sont représentées dans le tableau suivant :

Les sections de calcul sont obtenues pour les sollicitations défavorables prescrites dans le tableau ci-dessus.

Tableau V.3: ferraillage du poteau

Sections Poteaux	Section d'a	cier de calcu	ıl (cm2)	Section Min RPA	Section retenue	Choix des barres
(cm²)	Comb 01	Comb 02	Comb 03	(cm²)	(cm²)	
60x60	39.19	18.90	23.60	33.64	39.27	8HA25
55x55	34.79	15.88	3.47	30.25	37.70	12HA20
45x45	26.82	10.63	7.02	20.25	26.89	6HA20+4HA16

### • Calcul des armatures transversales :

# D'après [RPA99version2003] (Art 7.4.2.2):

Les armatures transversales des poteaux sont calculées à l'aide de la formule suivant :

$$\frac{A_t}{S_t} = \frac{\rho_a \times V_u}{h_1 \times f_a} \dots (1)$$

Vu : l'effort tranchant de calcul.

h<sub>1</sub>: hauteur totale de la section brute.

fe: contrainte limite élastique de l'acier d'armature transversale.

 $\rho_a$ : Coefficient correcteur qui tient compte du mode fragile de la rupture par l'effort tranchant ; il est pris égale à :

$$\rho_a = 2.5....\lambda_g \ge 5$$

$$\rho_a = 3.75...\lambda_g \le 5$$

 $\lambda_g$  Estl'élancement géométrique du poteau :

$$\lambda_g = \frac{l_f}{a} Ou \frac{l_f}{b}$$

$$\lambda_g = \frac{l_f}{a} = \frac{2.14}{0.6} = 3.56 < 5$$

Donc:

$$\rho_a = 3,75.$$

### **Espacement:**

- dans la zone nodale :  $t \le Min (10\Phi 1, 15cm)$  en zone IIa.
- dans la zone courante :  $t \le 15 \Phi 1$  en zone IIa.

 $\Phi$ 1 (min)= 16 mm.

 $\Phi$ l: diamètre minimal longitudinal On prend: t = 10 cm.

### Espacement des cadres :(BAEL 91) :

St= min (12  $\Phi$ 1; a/2;30 cm) = 19.2 cm. (en zone courante, a la plus petit dimension).

St= min  $(8 \Phi 1; a/4; 15 cm) = 12.8 cm$  (en zone critique).

On prend le min St = (RPA, BAEL) Donc :

Zone critique St = 10 cm.

Zone courante St= 14 cm.

### • Détermination de At:

$$\frac{A_t}{S_t} = \frac{\rho_a \times V_u}{h_1 \times f_e}$$

Vu = 55.91KN

$$A_t = \frac{\rho_a \times V_u}{h_1 \times f_2} \times S_t = \frac{3.75 \times 55.91}{600 \times 400} \times 100$$

Soit une section de :

 $A t = 0.87 \text{ cm}^2$ , Choix des barres : 6HA8=3.01cm<sup>2</sup>

### IV.3-Vérification nécessaires

### • Vérification des poteaux à l'effort tranchant :

$$\tau_u = \frac{V_u}{b \cdot d} = \frac{55.91}{600 \times 540} = 0.17 MPa$$

$$\tau_u = 0.17 \text{MPa}$$

# **❖Selon BAEL99[3]**

$$\overline{\tau_{ad}} = \min(0.15 f_{c28}, 4 MPa) = 2.5 MPa$$

### **♦** Selon RPA99 v 2003[1]

$$\bar{\tau} = \rho_b \cdot f_{c28} = 0.04 \times 25 = 1MPa$$

$$\begin{cases} \rho_b = 0.075 & \text{si } \lambda_g > 5 \\ \rho_b = 0.04 & \text{si } \lambda_g \le 5 \end{cases}$$

Avec:

λ: L'élancement du poteau.

i: Rayon de giration.

I : Moment d'inertie de la section du poteau dans la direction considérée.

B : Section du poteau.

L<sub>f</sub>: Longueur de flambement.

# • Vérification de la condition de non fragilité :

$$\begin{split} A_{S \min} & \geq \frac{0.23 \times b \times d \times f_{t28}}{f_e} = \frac{0.23 \times 600 \times 540 \times 2.1}{400} = 3.91 cm^2 \\ A_{S \min} & \geq \frac{0.23 \times b \times d \times f_{t28}}{f_e} = \frac{0.23 \times 600 \times 540 \times 2.1}{400} = 3.91 cm^2 \\ A_{S \min} & = 3.91.....CV \end{split}$$

### • Vérification vis à vis de l'état limite de service :

Les contraintes sont calculées à l'état limite de service sous (Mser, Nser), La fissuration est considérée comme peu nuisible, donc il n'est pas nécessaire de vérifier la contrainte dans les aciers tendus.

$$\overline{\sigma_{bc}} = 0.6 f_{c28} = 15 MPa$$

# • Détermination de La Position de L'axe Neutre :

$$by^2/2 + nA' (y-c') - n$$
. As  $(d-y)= 0$   
 $30y^2 - 15 \times 37.68 \times (54-y) = 0$   
 $y^2 + 18.84y^2 - 1017.36 = 0$ 

y=23.83 cm.

### Moment d'inertie :

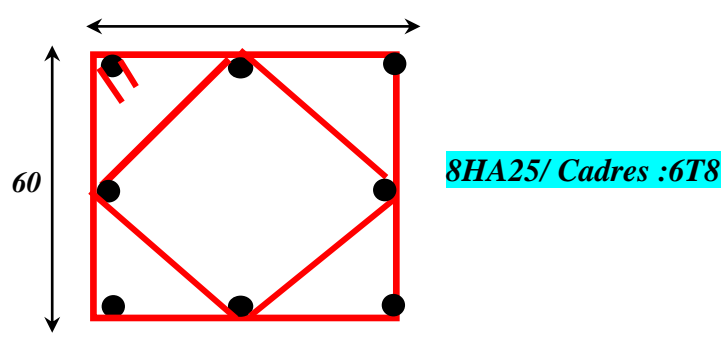
$$I = b y^3 + nA' (y - c') + n$$
. As  $(d - y)^2 = 40 (23.83)^3 + 15 \times 37.68 (54 - 23.83)^2 = 1055754 cm^4$ .

### • Vérification Des Contraintes :

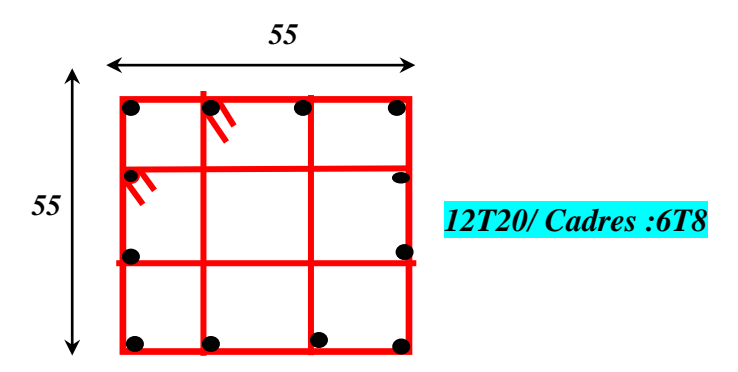
### - Contrainte de Béton :

$$\sigma_b = \frac{7.9 \times 10^6 \times 238.3}{1055754 \times 10^4} = 0.17 \le \overline{\sigma}_{bc} = 15 \to cv$$

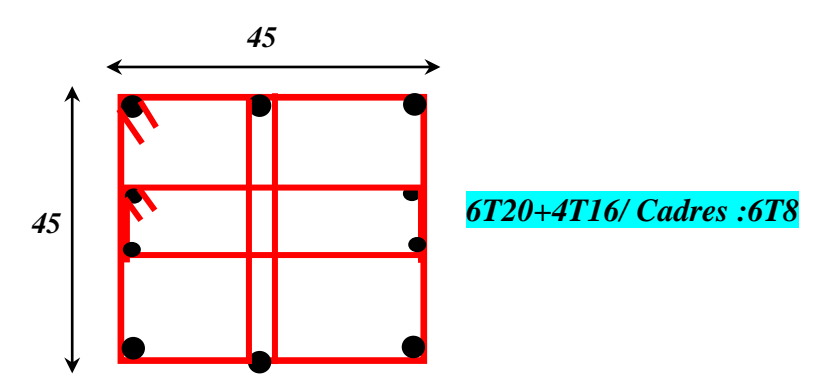
# $\checkmark$ Schéma des ferraillages des poteaux : $_{60}$



**Figure V.2:** Schéma de ferraillage des poteaux60×60.



**Figure V.3:** Schéma de ferraillage des poteaux 55×55.



**Figure V.4:** Schéma de ferraillage des poteaux45×45.

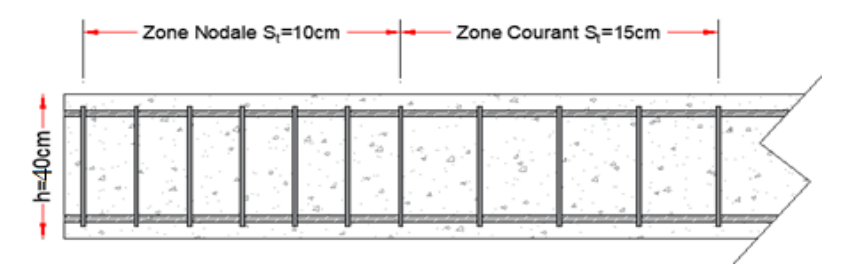


Figure V.5: Schéma de l'espacement zone courante et zone nodale.

# V.4 ferraillage des poutres :

Les poutres sont les éléments horizontaux qui ont le rôle de transmettre les charges apportées par les dalles aux poteaux.

Les poutres seront calculées en flexion simple d'après les règlements du BAEL 91, on se rapportera aussi au RPA 99/version 2003 pour la vérification.

- Les combinaisons d'action sont les suivantes :
- ➤ La combinaison fondamentale **BAEL 91**:

$$1.35 G + 1.5 Q \qquad ELU$$

$$G + Q \qquad ELS$$

➤ Combinaisons accidentelles **RPA 99V2003**:

$$G + Q \pm E$$

#### 0.8 G ±E

✓ Dans notre projet on a deux poutres à étudier :

Poutres principales (35\*40)

Poutres secondaires (30\*35)

### V.4.1 Recommandations du RPA99/2003:

### Les armatures longitudinales : RPA 99/2003 (Article 7.5.2.1)

Le pourcentage total minimum des aciers longitudinaux sur toute la longueur de la poutre est de 0.5% de la section du béton en toute section :

Le pourcentage total maximum des aciers longitudinaux est de :

- ✓ La section du béton en zone courante.
- ✓ La section du béton en zone de recouvrement.
- $\checkmark$  La longueur minimale des recouvrements est de  $40\Phi$  en zone.

Les poutres supportent de faibles charges verticales et sollicitées principalement par les forces latérales sismiques doivent avoir des armatures symétriques avec une section en travée au moins égale à la moitié de la section sur appui.

✓ Les armatures transversales : RPA 99/2003 (article 7.5.2.2)

La quantité d'armatures transversales minimales est donnée par :

Avec espacement maximum entre les armatures transversales est déterminé comme suit :

En zone nodale.

$$S_{t} \leq \min(\frac{h}{4};12\phi)$$

# En zone courante

$$S_t \leq \frac{h}{2}$$

La valeur du diamètre des armatures longitudinales à prendre est le plus petit diamètre utilisé. Dans le cas d'une section en travée avec armatures comprimées, c'est le diamètre le plus petit des aciers comprimés.

Les premières armatures transversales doivent être disposées à 5cm au plus du nu d'appui ou de l'encastrement.

### V.4.2. Ferraillage Poutre principale:

#### a) Les armatures transversales :

Pour le calcul on va prendre les moments maximums (en travée et sur appui). D'après les résultats du logiciel **ROBOT 2014.** 

**Tableau V.4 :** Sollicitations de la poutre principale.

		En Appuis	En Travée		
Section	M ELU	$M_{ELS}$	$T_{max}$	$M_{\mathrm{ELU}}$	$M_{ELS}$
35*40	-109.30	-78.57	-125.37	83.71	45.10

# • Ferraillage sous la combinaison 1.35G + 1.5 Q :

### > Ferraillage en travée :

$$M_{t max} = 83.71 \text{ KN.m}$$

$$h = 40cm$$
;  $b = 35 cm$ ;  $d = 0.9 \times h = 36 cm$ 

$$\mu = \frac{M_U}{bd^2 f_{bu}}$$

$$f_{bu} = \frac{0.85 \times f_{c28}}{\theta \times \gamma_b} = \frac{0.85 \times 25}{1 \times 1.5} = 14.17 MPa$$

$$\mu = \frac{M_U}{bd^2 f_{bu}} = \frac{83.71 \times 10^3}{35 \times 36^2 \times 14.17} = 0.130$$

 $\mu$ < 0.186  $\Rightarrow$  donc il n'est pas nécessaire de mettre des armatures comprimées

On se trouve dans le domaine 1,

$$\mu_{bu} = 0.130 \le \mu_{ab} = 0.186 \rightarrow pivot...A$$

$$\mu_{bu} = 0.130 \le \mu_{l} = 0.392 \rightarrow A' = 0$$

$$\alpha = 1.25(1 - \sqrt{1 - 2\mu}) = 0.147$$

$$Z = d(1 - 0.4\alpha) = 360(1 - 0.4 \times 0.123) = 338.83mm$$

### Section des armatures :

$$A_s = \frac{M_U}{Z \times \frac{f_e}{\gamma_s}} = \frac{83.71 \times 10^6}{338.83 \times \frac{400}{1.15}} = 7.10cm^2$$

### • Vérification de la condition de non fragilité :

$$\begin{split} A_{MIN} &= 0.23 \times b \times d \times \frac{f_{t28}}{f_e} = 0.23 \times 350 \times 360 \times \frac{2.1}{400} \Longrightarrow A_{MIN} = 152.145 mm^2 = 1.52 cm^2 \\ f_{t28} &= 0.6 + 0.06 \times f_{c28} = 2.1 MPa \end{split}$$

$$A_S = max (A_{MIN}, A_{CAL}) = max (1.52; 7.10) \rightarrow A_S = 7.10 cm^2$$

On prend: 3HA16+3HA12=9.42cm<sup>2</sup>

# > Ferraillage en appui :

$$M_{t max} = -109.30 \text{ KN.m}$$

$$b = 35 \text{ cm}$$
;  $h = 40 \text{cm}$ ;  $d = 0.9 \times h = 36 \text{ cm}$ 

$$\mu = \frac{M_U}{bd^2 f_{bu}}$$

$$f_{bu} = \frac{0.85 \times f_{c28}}{\theta \times \gamma_b} = \frac{0.85 \times 25}{1 \times 1.5} = 14.17 MPa$$

$$\mu = \frac{M_U}{bd^2 f_{bu}} = \frac{122.71 \times 10^6}{350 \times 360^2 \times 14.17} = 0.190$$

 $\mu$ > 0.186  $\Rightarrow$ donc il est nécessaire de mettre des armatures comprimées :

On se trouve dans le domaine 1,

$$\mu_{bu} = 0.190 \le \mu_l = 0.392 \rightarrow A' = 0$$

$$\alpha = 1.25(1 - \sqrt{1 - 2\mu}) = 0.265$$

$$Z = d(1 - 0.4\alpha) = 360(1 - 0.4 \times 0.265) = 321.84mm$$

### • Section des armatures :

$$A_s = \frac{M_U}{Z \times \frac{f_e}{\gamma_s}} = \frac{122.71 \times 10^6}{321.84 \times \frac{400}{1.15}} = 9.76cm^2$$

### • Vérification de la condition de non fragilité :

$$A_{MIN} = 0.23 \times b \times d \times \frac{f_{t28}}{f_e} = 0.23 \times 350 \times 360 \times \frac{2.1}{400} \Rightarrow A_{MIN} = 152.145 mm^2 = 1.52 cm^2$$

$$f_{t28} = 0.6 + 0.06 \times f_{c28} = 2.1MPa$$

 $A_{S}= \max (A_{MIN}, A_{CAL}) = \max (1.52; 9.76) \rightarrow A_{S}=9.76 \text{ cm}^{2}$ 

# On prend: 6HA16=12.06cm<sup>2</sup>

**Tableau V.5 :** Ferraillage des poutres principales.

Position	Mu	В	h	d	Ubu	α	Z	As	Amin	A
Travée	83.71	35	40	36	0.13	0.147	338.83	7.10	1.52	3HA16+3HA12=9.42
Appuis	-109.30	35	40	36	0.19	0.265	321.84	9.76	1.52	6HA16=12.06

### • Vérification du ferraillage des poutres principales :

Section minimale: RPA 99 (article 7.5.2.1).

**Amin** = 
$$0.5\%$$
 (b x h) =  $0.005$  (35\*40) = 7 cm<sup>2</sup>.

Section maximale: RPA 99 (article 7.5.2.1)

4% b\*d : En zone courante (A<sub>min</sub>=0.04\*35\*36=50.4cm<sup>2</sup>).

6% b\*d: En zone de recouvrement ( $A_{min}=0.06*35*36=75.6cm^2$ ).

### > Vérification à L'ELU :

# > Vérification de la contrainte de cisaillement :

$$\tau_u \leq \bar{\tau}_u$$

Fissuration peu préjudiciable :

$$\overline{\tau_u} = \min \left\{ 0.2 \times \frac{f_{c28}}{\gamma_b}; 5Mpa \right\} = \min \left\{ 3.33MPa; 5MPa \right\} = 3.33MPa$$

$$\bar{\tau}_u = 3.33MPa$$

$$\tau_u = \frac{v_u}{b \times d} = \frac{125370}{350 \times 360} = 0.995MPa$$

$$v = 29.24KN$$

$$\tau_{u} = 1MPa \le \overline{\tau}_{u} \Longrightarrow cv$$

# Calcul du ferraillage transversal:

Avec: b = 35 cm; d = 36 cm

> Calcul de la section des armatures transversales :

Choix du diamètre :

On a: 
$$\phi_t \le \min(\frac{h}{35}; \frac{b}{10}; \phi \min) = \min(11.4; 35; 12)$$

Soit: 
$$\phi_t = 11.4cm$$

On prend: 
$$\phi_t = 8mm \Rightarrow A_t = 4HA8 = 2.01cm^2$$
 (1cadre + 1 étrier)

**Espacement des barres :** Selon BAEL91

$$S_t \le \min(0.9d; 40cm) \Rightarrow S_t = \min(0.9*36; 40cm)$$
  
 $St_1 = 32.4cm$ 

$$S_t \le \frac{At \times fe}{0.4 \times b} \Rightarrow S_t = \frac{2.01 \times 400}{0.4 \times 35}$$

$$St_2 = 57.42cm$$

$$S_{t} \leq \frac{0.9 \times At \times fe}{\gamma s \times b \times (\pi u - 0.3 ft 28)} \Rightarrow S_{t} = \frac{0.9 \times 400 \times 2.01}{1.15 \times 35 \times (1 - 0.3 \times 2.1)}$$
$$St_{3} = 48.59 cm$$

$$S_t = \min(st1; st2; st3)) \Rightarrow S_t = \min(32.4;57.42;44.94)$$
  
 $St = 32.4cm$ 

### Selon RPA99:

### En zone nodale:

$$S_t \le \min(\frac{h}{4}; 12\phi) \Rightarrow S_t = \min(\frac{40}{4}; 12 \times 1.2)$$
  
 $St \le 10cm$ 

#### En zone courante:

$$S_t \le \frac{h}{2} = \frac{40}{2}$$
$$St \le 20cm$$

### Donc on adopte:

### St=10cm En zone nodale

# St=15cm En zone courante.

> Vérification de la section minimale des armatures transversales selon le RPA 99 :

$$A_{t \min} \le A_{t}$$
  
 $A_{t \min} = 0.003 \times S_{t} \times b = 0.003 \times 15 \times 35 = 1.575 cm^{2}$   
 $A_{t \min} = 1.57 \le A_{t} = 2.01 \rightarrow cv$ 

➤ La longueur minimale des recouvrements des armatures longitudinales :

D'après le RPA99V2003 la longueur minimale de recouvrement dans la zone  $\,$  IIa est de  $\,$   $40\phi$   $\,$ 

$$Lr = 40 \times \phi l = 40 \times 1.2 = 48cm$$

On adopte :  $L_r = 60cm$ 

$$Lr = 40 \times \phi l = 40 \times 1.6 = 64cm$$

On adopte: L<sub>r</sub>=70cm

### • Vérification à L'ELS :

Vérification de l'état limite de compression du béton :

$$\begin{split} &\sigma_{bc} \leq \overline{\sigma}_{bc} \\ &\sigma_{b} = \frac{M_{ser}}{I} \ y \leq \overline{\sigma}_{bc} \\ &\overline{\sigma}_{bc} = 0.6 \times f_{c28} = 0.6 \times 25 = 15 MPa \end{split}$$

### En travée:

$$M_t = 45.10 \text{ KN.m}$$

### Position de l'axe neutre :

$$\frac{b}{2} \times y^2 + \eta \times A'_s(y - c') - n \times A_s(d - y) = 0$$

$$Avec \to n = 15$$

$$\eta \times A'_s(y - c') = 0$$

$$\frac{35}{2}y^2 - 15 \times 9.42(36 - y) = 0$$

$$y^2 + 8.70y - 290.67 = 0$$

$$\Delta = b^2 - 4ac = 1238.37$$

$$y = 13.24cm$$

### Moment d'inertie :

$$I = \frac{b \times y^3}{3} + n \times A_s (d - y)^2$$

$$I_t = \frac{35 \times 13.24^3}{3} + 15 \times 9.42 \times (36 - 13.24)^2 = 100273.51 cm^4$$

$$\sigma_b = \frac{45.10 \times 10^6 \times 132.4}{100273.51 \times 10^4} = 5.95 \le \overline{\sigma}_{bc} = 15 \to cv$$

# En appuis:

$$M_a = -78.57 \text{ KN.m}$$

### Position de l'axe neutre :

$$\frac{b}{2} \times y^2 + \eta \times A'_s(y - c') - n \times A_s(d - y) = 0$$

$$Avec \to n = 15$$

$$\eta \times A'_s(y - c') = 0$$

$$\frac{35}{2}y^2 - 15 \times 12.06(36 - y) = 0$$

$$y^2 + 10.33y - 372.13 = 0$$

$$\Delta = b^2 - 4ac = 478.83$$

$$y = \frac{-10.33 + 21.88}{2} = 5.77cm$$

### Moment d'inertie :

$$I = \frac{b \times y^3}{3} + n \times A_s (d - y)^2$$

$$I_t = \frac{35 \times 5.77^3}{3} + 15 \times 12.06(36 - 5.77)^2 = 167557.14cm^4$$

$$\sigma_b = \frac{78.57 \times 10^6 \times 57.7}{167557.14 \times 10^4} = 2.70 \le \overline{\sigma}_{bc} = 15 \to cv$$

<b>Tableau V.6</b> : Vérification a l'	ELS de la	a poutre	principale.
--	-----------	----------	-------------

	M(KN.m)	Y(cm)	I(cm <sup>4</sup> )	$\sigma_{bC}$ (MPa)	$\overline{\sigma}_{bc}$ (MPa)	
Travée	45.10	13.24	100273.51	5.95	15	CV
Appuis	-78.57	5.77	167557.14	2.70	15	CV

### Vérification de la flèche : BAEL 91(article B.6.5.1)

Si les trois conditions suivantes de la flèche sont vérifiées, le calcul de la flèche ne s'imposera pas : h=40cm; L=4.65m; b=35cm; As=5.95cm<sup>2</sup>;

$$\frac{h}{l} \ge \frac{1}{16}..... \Rightarrow \frac{0.40}{4.55} = 0.086 \ge 0.0625...CV$$

$$\frac{h}{l} \ge \frac{Mt}{10M_0} = \frac{0.85M_0}{10M_0}..... \Rightarrow 0.086 \ge 0.085...CV$$

$$\frac{As}{bd} \le \frac{4.2}{fe}..... \Rightarrow 4.72 \times 10^{-3} \le 0.0105...CV$$

# Calcul de la flèche par la méthode d'inertie fissurée :

Il faut que:

$$f = \frac{Mt}{10 \times Ei \times I_{fi}} = \frac{45.10}{10 \times 32164.2 \times 82536.1} = 1.69 \times 10^{-9} \le \bar{f} = 0.05cm + \frac{L}{1000} = 0.515cm$$

$$I_{fi} = \frac{1.1 \times I_{0}}{1 + \lambda i \times u} = 82536.1$$

$$u = 1 - \frac{1.75 \times ft28}{4 \times \rho \times \sigma s + ft28} = 0.57$$

$$\rho = \frac{A_{s}}{b \times d} = \frac{5.95}{35 \times 36} = 0.0047$$

$$\lambda i = \frac{0.05ft28}{\rho \left(2 \times 3\frac{b0}{b}\right)} = 4.46$$

$$f = 1.69 \times 10^{-9} \le \bar{f} = 0.515cm$$
 ...... Donc la flèche est Vérifiée.

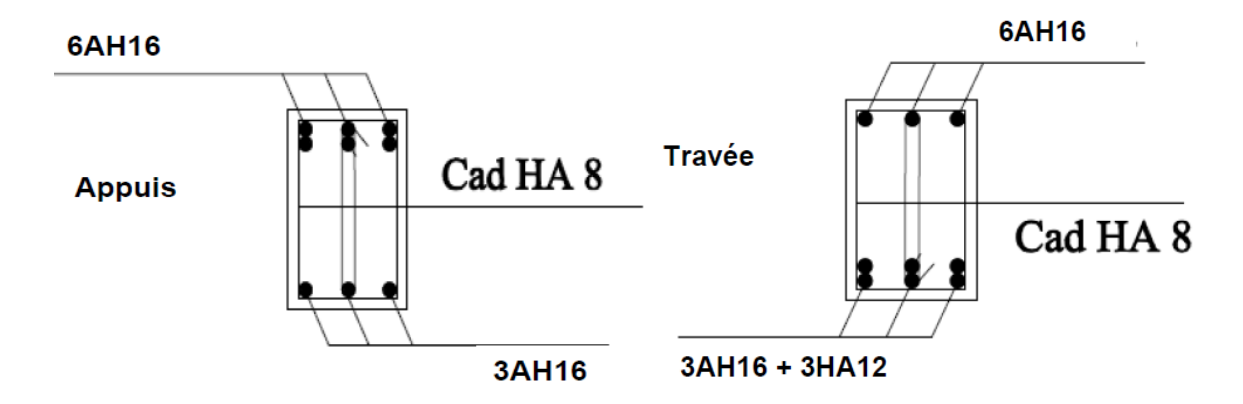


Figure V.6: Schéma de ferraillage des poutres principales.

### V.4.3Ferraillage Poutre secondaires:

**Tableau V.7:** Ferraillage des poutres secondaires.

Position	Mu	В	h	D	Ubu	α	Z	As	Amin	A
Travée	37.91	30	35	31.5	0.089	0.116	300.384	3.62	1.14	5HA12=5.65
Appuis	-62.47	30	35	31.5	0.148	0.204	289.296	6.20	1.14	5HA14=7.70

# Vérification du ferraillage des poutres secondaires :

Section minimale: RPA 99 (article 7.5.2.1):

$$A_{min} = 0.5\%$$
 (b x h) = 0.005 (30\*35) =5.25cm<sup>2</sup>.

Section maximale: RPA 99 (article 7.5.2.1):

4% b\*d: En zone courante (A<sub>min</sub>=0.04\*30\*31.5=37.8cm<sup>2</sup>).

6% b\*d: En zone de recouvrement ( $A_{min}=0.06*30*31.5=56.7$ cm<sup>2</sup>).

### > Vérification à L'ELU:

Vérification de la contrainte de cisaillement :

$$\tau_u \leq \overline{\tau}_u$$

### Fissuration peu préjudiciable :

$$\overline{\tau_u} = \min \left\{ 0.2 \times \frac{f_{c28}}{\gamma_b}; 5MPa \right\} = \min \left\{ 3.33MPa; 5MPa \right\} = 3.33MPa$$

$$\bar{\tau}_{u} = 3.33MPa$$

$$\tau_u = \frac{v_u}{b \times d} = \frac{39.49 \times 10^3}{300 \times 315} = 0.41 MPa$$

$$v = 39.49 KN$$

$$\tau_{\mu} = 0.41 MPa \le \overline{\tau}_{\mu} \Longrightarrow cv$$

# Calcul du ferraillage longitudinal :

Avec: 
$$b = 30cm$$
;  $d = 31.5cm$ 

### > Calcul de la section des armatures transversales :

Choix du diamètre:

On a: 
$$\phi_t \le \min(\frac{h}{35}; \frac{b}{10}; \phi \min) = \min(10;30;12)$$

Soit:  $\phi_t = 1cm$ 

On prend:  $\phi_t = 8mm \Rightarrow A_t = 4HA8 = 2.01cm^2$  (1cadre + 1 étrier)

Espacement des barres : Selon BAEL91

$$S_t \le \min(0.9d; 40cm) \Rightarrow S_t = \min(0.9*31.5, 40cm)$$
  
 $St_1 = 28.35cm$ 

$$S_{t} \leq \frac{At \times fe}{0.4 \times b} \Longrightarrow S_{t} = \frac{2.01 \times 400}{0.4 \times 30}$$

$$St_2 = 67cm$$

$$S_{t} \leq \frac{0.9 \times At \times fe}{\gamma s \times b \times \left(\pi u - 0.3 \text{ ft} 28\right)} \Rightarrow S_{t} = \frac{0.9 \times 400 \times 2.01}{30 \times 1.15 \times \left(0.41 - 0.3 \times 2.1\right)}$$

$$St_3 = 99.26cm$$

$$S_t = \min(st1; st2; st3)) \Rightarrow$$

$$St = 28.35cm$$

### Selon RPA99:

En zone nodale:

$$S_t \le \min(\frac{h}{4}; 12\phi) \Rightarrow S_t = \min(\frac{35}{4}; 12 \times 1.2)$$

$$St \le 8.75cm$$

En zone courante:

$$S_t \le \frac{h}{2} = \frac{35}{2}$$

$$St \le 17.5cm$$

Donc on adopte:

 $S_t$ =8cm En zone nodale.

 $S_t=15$ cm En zone courante.

➤ Vérification de la section minimale des armatures transversales selon le RPA 99 :

$$At_{\min} \leq At$$

$$At_{\min} = 0.003 \times St \times b = 0.003 \times 15 \times 30 = 1.35 cm^2$$

$$At_{\min} = 1.35 \le At = 2.01 \rightarrow cv$$

La longueur minimale des recouvrements des armatures longitudinales :

D'après le RPA99V2003 la longueur minimale de recouvrement dans la zone  $\,$  IIa est de  $\,40\phi$  .

$$Lr = 40 \times \phi l = 40 \times 1.2 = 48cm$$

On adopte :  $L_r = 60cm$ 

$$Lr = 40 \times \phi l = 40 \times 1.6 = 64cm$$

On adopte :  $L_r = 70 \text{cm}$ 

### ➤ Vérification à L'ELS :

Vérification de l'état limite de compression du béton :

$$\sigma_{bc} \leq \overline{\sigma}_{bc}$$

$$\sigma_b = \frac{M_{ser}}{I} \, y \le \overline{\sigma}_{bc}$$

$$\overline{\sigma}_{bc} = 0.6 \times f_{c28} = 0.6 \times 25 = 15MPa$$

### > En travée :

Mt=17.49 KN.m.

### Position de l'axe neutre :

$$\frac{b}{2} \times y^2 + \eta \times A'_s(y - c') - n \times A_s(d - y) = 0$$

$$Avec \rightarrow n = 15$$

$$h \times A'_{s} (y - c') = 0$$

$$15y^2 - 15 \times 5.65(31.5 - y) = 0$$

$$y^2 + 5.65y - 177.97 = 0$$

$$\Delta = b^2 - 4ac = 743.80$$

$$y = \frac{-7.70 + 17.37}{2} = 10.81cm$$

### Moment d'inertie :

$$I = \frac{b \times y^3}{3} + n \times A_s (d - y)^2$$

$$I_{t} = \frac{30 \times 10.81^{3}}{3} + 15 \times 5.65 \times (31.5 - 10.81)^{2} = 48911.59cm^{4}$$

$$\sigma_b = \frac{17.49 \times 10^6 \times 108.1}{48911.59 \times 10^4} = 3.86 \le \overline{\sigma}_{bc} = 15 \to cv$$

# > En appuis :

$$M = -27.06 \text{ KN.m}$$

### Position de l'axe neutre :

$$\frac{b}{2} \times y^2 + \eta \times A'_s(y - c') - n \times A_s(d - y) = 0$$

$$Avec \to n = 15$$

$$h \times A'_s(y - c') = 0$$

$$\frac{30}{2}y^2 - 15 \times 7.70(31.5 - y) = 0$$

$$y^2 + 7.7y - 242.55 = 1029.49$$

$$y = \frac{464.6 - 82.95}{2 \times 17.5} = 12.19cm$$

### Moment d'inertie :

$$I = \frac{b \times y^3}{3} + n \times A_s (d - y)^2$$

$$I_t = \frac{30 \times 12.19^3}{3} + 15 \times 7.70(31.5 - 12.19)^2 = 61181.04cm^4$$

$$\sigma_b = \frac{27.06 \times 10^6 \times 121.9}{61181.04 \times 10^4} = 5.39 \le \overline{\sigma}_{bc} = 15 \to cv$$

Tableau V.8: Vérification a l'ELS de la poutre secondaire

	M(KN.m)	Y(cm)	I(cm <sup>4</sup> )	$\sigma_{bC}$ (MPa)	$\overline{\sigma}_{bc}$ (MPa)	
Travée	17.49	10.81	48911.59	3.86	15	CV
Appuis	- 27.06	12.19	61181.04	5.39	15	CV

### Vérification de la flèche : BAEL 91(article B.6.5.1)

Si les trois conditions suivantes de la flèche sont vérifiées, le calcul de la flèche ne

s'imposera pas : L=3.45m ; h=35cm ; As=5.65c m²; b=30; 
$$\frac{h}{l} \ge \frac{1}{16} \dots \longrightarrow \frac{0.35}{3.45} = 0.101 \ge 0.062 \dots CV$$
 
$$\frac{h}{l} \ge \frac{Mt}{10M_0} = \frac{0.85M_0}{10M_0} \dots \longrightarrow 0.11 \ge 0.085 \dots CV$$
 
$$\frac{As}{bd} \le \frac{4.2}{fe} \dots \longrightarrow \frac{5.65}{30*31.5} = 5.97 \times 10^{-3} \le 0.010 \dots CV$$

Les trois conditions sont vérifiées, donc la vérification de la flèche n'est pas nécessaire.

### Vérification de la compression du béton :

Les résultats sont regroupés dans les tableaux suivants :

$$T \max < 0.4 \times b \times a \times \frac{fc28}{\gamma b}$$
  
 $a = \min(a'; 0.9 \times d)$   
 $a' = 30 - c - 2 = 35 - 3 - 2 = 25cm$ 

Tableau V.9 : Vérification de la compression du béton

Section	T <sub>max</sub> (KN)	$0.4 \times b \times a \times \frac{fc28}{\gamma b}$	Vérification
Pp(35*40)	125.37	700	Oui
Ps(30*35)	39.49	583.33	Oui

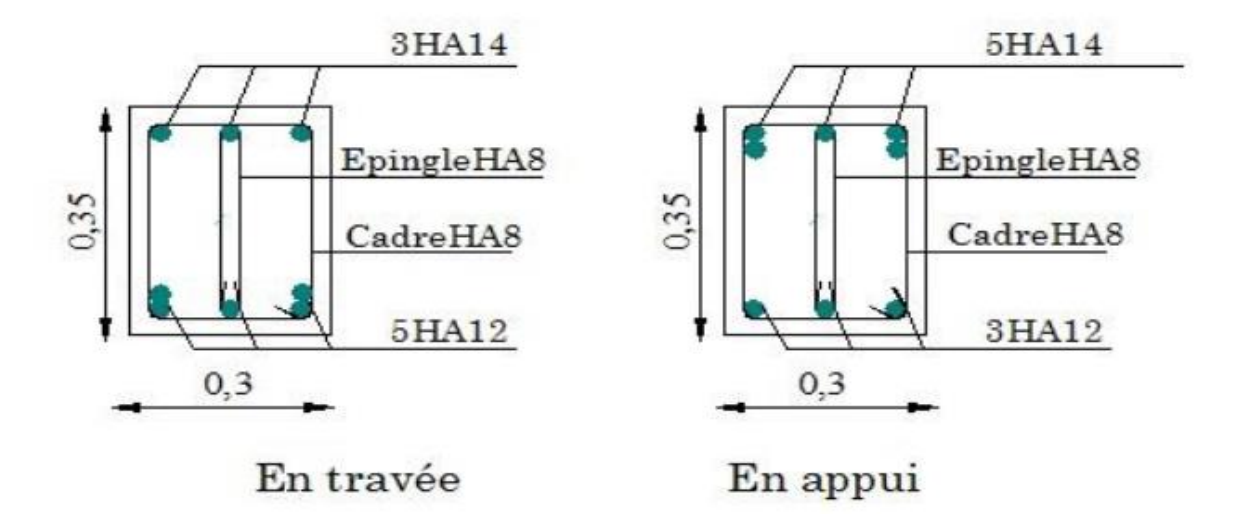


Figure V.7: Schéma de ferraillage des poutres secondaire.

# V.5 Étude des voiles :

### **V.5.1 Introduction:**

Le modèle le plus simple d'un voile est celui d'une console parfaitement encastrée à sa base soumise à une charge verticale due à la combinaison des charges permanentes, d'exploitation, et une charge horizontale due à l'action du vent, ou d'un séisme. Donc, le voile est sollicité par un effort normal N, un effort tranchant V, et un moment fléchissant qui est maximum dans la section d'encastrement. Ce qui implique que les voiles seront calculés en flexion composée et au cisaillement, leur ferraillage est composé d'armatures verticales et d'armatures horizontales.

### V.5.2 Stabilité des constructions vis-à-vis des charges latérales :

Du point de vue de la stabilité sous charges horizontales (vent, séisme), on distingue différents types des structures en béton armé :

- Structures auto-stables.
- Structures contreventées par des voiles.

Dans notre projet, la structure est contreventée par les voiles dont le but est assurer la stabilité (et la rigidité) de l'ouvrage vis-à-vis des charges horizontales.

#### V.5.3 Rôle de contreventement :

Le contreventement a principalement pour objet :

- Assure la stabilité des constructions non auto-stables vis-à-vis des charges horizontales et de transmettre jusqu'au sol.
- Raidir les constructions, car les déformations excessives sont sources des dommages aux éléments non structuraux et à l'équipement.

# V.5.4 Les avantages des voiles :

- Leur présence limite les déformations latérales.
- Leur rigidité permet de protéger les éléments non structuraux et quelques poteaux existant. Leur présence permet de s'affranchir du difficile problème posé par la réalisation du ferraillage des nœuds des portiques.
- Elle permettre de ne pas être pénalisées dans le choix du coefficient de comportement en cas du panneau de remplissage.

### V.5.5Les Combinaisons des actions :

Selon le règlement parasismique algérien (RPA99/V2003) et le BAEL 99, les combinaisons des actions ont considéré pour la détermination des sollicitations et des déformations sont :

o Selon le BAEL91 [3]: {  $G + Q \pm E$ 

$$0.8G \pm E$$

Selon le RPA 99 [1]: { 1.35G + 1.5Q

$$G + Q$$

### V.5.6 Les recommandations du RPA99 :

#### a) Aciers verticaux:

La disposition du ferraillage vertical se fera de telle qu'il reprendra les contraintes de la flexion composée en tenant compte des prescriptions imposées par le RPA99/V2003.

 L'effort de traction engendré dans une partie du voile doit être repris en totalité par les armatures dont le pourcentage minimal est de 0.2% de la section horizontale du béton tendu. Les barres verticales des zones extrêmes devraient être ligaturées avec des cadres horizontaux dont l'espacement ne doit pas être supérieur à l'épaisseur des voiles.

- Si des efforts importants des compressions agissent sur l'extrémité, les barres verticales doivent respecter les conditions imposées aux poteaux. Les barres verticales du dernier niveau doivent être munies de crochets à partie supérieure. Toutes les autres barres n'ont pas de crochets (jonction par recouvrement).
- À chaque extrémité du voile l'espacement des barres doit être réduit de moitié sur (1/10) de la largeur du voile, cet espacement doit être au plus égal à 15 cm.

### b) Aciers horizontaux:

- Les aciers horizontaux seront disposés perpendiculairement aux faces des voiles
- Elles doivent être munies de crochets à 90° ayant une longueur de 10Φ.
- Dans le cas où il existe des talons de rigidité, les barres horizontales devront être ancrées sans crochets si les dimensions des talons permettent la réalisation d'un ancrage droit.

### V.5.7 Règles communes :

- Le pourcentage minimal des armatures verticales et horizontales est : Amin = 0.15
   % section globale du voile. Amin = 0.1 % zone courante.
- L'espacement des barres (horizontales et verticales)  $St \le min (1.5e;30cm)$ .
- Diamètre des barres (horizontales et verticales) ne devrait pas dépasser 1/10 de l'épaisseur du voile. Le calcul se fera pour des bandes verticales dont la largeur d est déterminée à partir de :

 $d \le \min$  (he, 2 L/3)

L' : est la longueur de la zone comprimée.

### • Longueur de recouvrement :

 $L_r = 40$ : En zone qui peut être tendue.

 $L_r = 20$ : En zone comprimée sous toutes les combinaisons.

# V.5.8 Ferraillage des voiles :

Pour déterminer les armatures verticales, on utilisera la méthode des contraintes. Cette méthode consiste à déterminer le diagramme des contraintes à partir des sollicitations les plus défavorables (N, M) et pour connaître la nature de la section on utilise la méthode de la RDM dite « **formule de Navier Bernoulli** »:

Avec:

$$\sigma_a = \frac{N}{A} + \frac{M \times Y}{I}$$
  $\sigma_b = \frac{N}{A} - \frac{M \times Y}{I}$ 

N : effort normal agissant sur le voile considéré.

M : moment de flexion agissant sur le voile considéré.

I : moment d'inertie du voile considéré.

Y : centre de gravité de la section du voile dans les sens du plan moyen.

### Détermination des sollicitations sous les combinaisons :

Nous exposerons un exemple de calcul pour les voiles du niveau RDC (Groupe 1), et le reste des résultats des autres niveaux seront donnés dans un tableau récapitulatif.

$$I = \frac{e \times l^3}{12}$$
$$B = e \times l$$
$$V = \frac{h}{2}$$

#### > Armatures verticales :

Nous allons déterminer les contraintes sollicitant le voile selon la formule suivante :

$$\sigma_a = \frac{N}{A} + \frac{M \times Y}{I}$$

$$\sigma_b = \frac{N}{A} - \frac{M \times Y}{I}$$

### • Exemple de calcule

### Cas:

$$L = 4.55 \text{ m;} d = 1.45 \text{m}, e = 0.15 \text{m}, d' = 0.05 \text{m}$$

$$N_{max} = -1822.19 \text{ KN.m} \text{ (traction)}; M_{Corr} = -263.44 \text{KN.m}$$

$$\sigma = \frac{N}{A} \pm \frac{M.V}{I}$$

Avec:

$$S = e \times 1 = 0.15 \times 4.55 = 0.68 \text{ m}^2$$

$$I = \frac{e.L^3}{12} = 1.18 \text{ m};$$

$$V = \frac{L}{2} = 2.275 \text{m}.$$

### **Calcul des contraintes :**

$$\begin{split} \sigma_{max} &= \frac{N}{A} + \frac{M.V}{I} = \frac{-1822.19}{0.68} + \frac{-263.44 \times 2.275}{1.18} = -3187.6 \text{KN/m}^2 \\ \sigma_{min} &= \frac{N}{A} - \frac{M.V}{I} = \frac{-1822.19}{0.68} - \frac{-263.44 \times 2.275}{1.18} = -2171.79 \text{KN/m}^2 \end{split}$$

 $\sigma_a, \sigma_b$  sont de signes différents, donc la section du voile est entièrement tendue.

• La longueur tendue est égal à « L » .....:  $L_t = L$ 

# ➤ Le ferraillage se fait par bonde de d de largeur Art : 7.7.4 [RPA03]:

$$\begin{split} F_{traction} &= \frac{\sigma_{min} + \sigma_{l}}{2} \times L \times e = \frac{3187.6 + 2171.79}{2} \times 4.55 \times 0.15 = 1828.89 \text{KN/m}^{2} \\ A_{s} &\geq \frac{F_{traction}}{f_{e}} = 45.72 \text{ cm}^{2} \end{split}$$

**Tableau V.10:** Sollicitations et ferraillage du voile (L = 4.55 m).

	1 <sup>er</sup> cas	2 <sup>éme</sup> cas	3 <sup>éme</sup> cas
Effort normal N(KN)	-1292.58	-1822.19	-437.4
Moment de flexion (KN.m).	-1483.76	-263.44	-1274.33
$\sigma_{\text{max}} == \frac{N}{A} + \frac{M.V}{I} (KN/m^2).$	-4761 .5	-3187.6	-3100.1
$\sigma_{\min} = \frac{N}{A} - \frac{M.V}{I}(KN/m^2).$	959.79	-2171.79	1813,63
La longueur de la zone comprimée $L_{c}(m)$ .	0.76	//	1.68
La longueur de la zone tendu $L_{t}(\mathbf{m})$ .	3.79	//	2.87
$\tan \alpha (KN/m^3)$	253.24	//	631.93
$\sigma_{l}$ (KN/m <sup>2</sup> )	833.16	//	1105.88
$\sigma_{moy}$ (KN/m <sup>2</sup> )	896.47	//	1459.76
F <sub>traction</sub> (KN).	67.24	//	245.24
Section d'armature $A_s$ (cm <sup>2</sup> ).	1,86	45.72	6.13
Nature de la section	P.C	E.C	P.C

### Section minimale d'armature verticale :

- Selon RPA99/V2003:

$$A_{min}$$
= 0.2 %.e. $L_t$  = 0.002 × 0.15 × 4.55 = 13.65cm<sup>2</sup>

- Selon BAEL:

$$A_{\min} \ge 0.23 \times 4.55 \times 0.15 \times \frac{2.1}{400} = 8.24 \text{ cm}^2$$

### > L'espacement :

$$\begin{cases} \text{Zone d'bout}: \left(\frac{L}{10}\right) = \left(\frac{455}{10}\right) = \ 45.5\text{cm} \rightarrow & S_t = 10 \text{ cm} \\ \text{Zone courante}: L - 2\left(\frac{L}{10}\right) = 455 - 2\left(\frac{455}{10}\right) = \ 364\text{cm} \rightarrow & S_t = 20\text{cm} \end{cases}$$

Donc:

$$A_{cal} = max (A_{calcul\acute{e}e}; A_{RPA}; A_{BAEL}) = max (45.72; 13.65; 8.24)$$

 $A_{cal} = 45.72 \text{cm}^2$  (pour les deux façades)

{ Zone d'bout : 
$$2 \times 4HA 12$$
  $\rightarrow A_s = 9.04cm^2$    
 { Zone courante :  $2 \times 18HA12$   $\rightarrow A_s = 40.72cm^2$ 

$$A_{s \text{ adopt\'ee}} = 49.76 \text{cm}^2$$

#### > Armatures horizontales :

- Selon RPA:

$$A_h = 0.15\% \times L \times e = 0.0015 \times 455 \times 15 = 10.24 \ cm^2$$

- Selon le BAEL:

$$A_h = \frac{A_v}{4} = \frac{47.84}{4} = 12.44 \text{ cm}^2$$

$$A_h = max (A_{rpa}; A_{bael}) = max (10.24; 12.44)$$

$$A_{h ad} = 11.96 cm^2$$

Soit :  $2 \times 8 \text{HA} 10$ ;  $A = 12.56 \text{cm}^2$ 

Les résultats de calcul du ferraillage des autres voiles, sont donnés par les tableaux suivants :

**Tableau V.11:** Sollicitations et ferraillage du voile (L = 4.55 m).

Voile	A <sub>h</sub> adoptée	Choix de barres		S <sub>t</sub>	
		RDC Etagecourant		RDC	EtageCourant
Voile (4.55m)	12.56	36HA12	36HA12	20	20

#### ✓ Vérification de contrainte de cisaillement :

#### > Selon le RPA:

La contrainte de cisaillement dans le béton est limitée selon le RPA99 [art 7.7.2]:

$$\tau_{adm} = 0.2 f_{c28} = 5 MPa.$$

D'après les résultats obtenus par l'analyse on a :  $T_{\rm u} = 25.53~{\rm KN}$ 

$$\tau = 1.4 \frac{T_u}{bd} = 1.4 \frac{25.53 \times 10^3}{150 \times 4095} = 0.06 MPa$$

$$\tau$$
 = 0.05 Mpa  $\leq \tau_{adm} = 5$ Mpa.

#### ➤ Selon le BAEL:

On doit vérifier que :  $T_u \le T$ 

$$\bar{\tau}_u = \min\left(\frac{0.2f_{c28}}{\gamma_b}; 5Mpa\right) \longrightarrow \bar{\tau}_u = \min(3.33 \text{ Mpa}; 5Mpa) \text{ (fissuration préjudiciable)}$$

$$\tau_{\rm u} = \frac{T_{\rm u}}{\rm bd}$$

$$\tau_{\rm u} = \frac{25.53 \times 10^3}{150 \times 4095} = 0.04 \text{Mpa}$$

 $\tau_u$ = 0.04 MPa $\leq$  3.33 Mpa.....vérifie.

#### ✓ Vérification à L'ELS :

On doit vérifier que :  $\sigma_{bc} \leq \overline{\sigma_{bc}}$ 

$$\overline{\sigma_{bc}} = 0.6 f_{c28}$$

$$\overline{\sigma_{bc}} = 15 \text{ Mpa}$$

$$\sigma_{bc} = \frac{N}{B + 15A}$$

Avec:

B: section du béton

A: section d'armatures

 $N_s$  : Effort normal de service sous (G+Q)

$$\sigma_{bc} = \frac{N}{B+15A} = \frac{835.16 \times 10^3}{200 \times 4550 + 71760} = 0.87 MPa$$

$$\sigma_{bc}$$
 = 0.87 MPa  $\leq \overline{\sigma_{bc}}$  = 15 Mpa ... ... vérifie.

#### ✓ Schéma de ferraillage de des voiles :

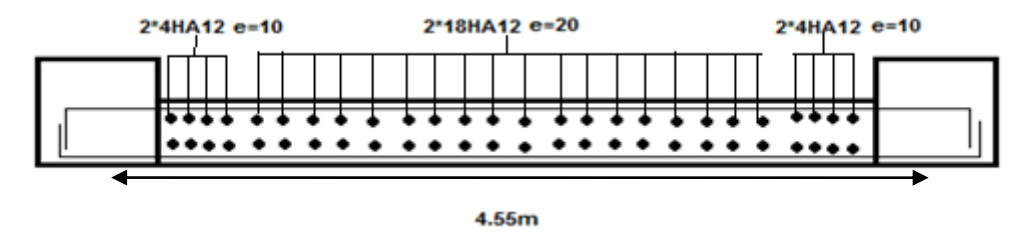


Figure V.8: Schéma de ferraillage des voiles.

#### V.6Conclusion

Les éléments principaux (poutres, poteaux et voiles) jouent un rôle prépondérant dans larésistance et la transmission des sollicitations. Ils doivent donc être correctement dimensionnés et bien armés.

Dans la détermination des ferraillages des différents éléments Principaux ; il a été tenu

compte des ferraillages obtenus par logiciels de calcul (ROBOT) ainsi que le ferraillage minimum édicté par les règles parasismiques Algériennes.

**Chapitre VI:** 

**Etude des Fondations.** 

### **VI.1 Introduction**

Les fondations d'une constriction sont composées par les parties de l'ouvrage qui sont contact directement avec le sol, elles ont pour le bute transmettre les surcharges et les charge de la superstructure au sol.

### VI.2 Calcification des fondations

On distingue deux types de fondation :

- > Fondation superficiel:
- Semelle isolées.
  - Semelle filantes.
  - Radiers générales.
  - > Fondation superficiel
- Semelles sur pieux
- Semelles sur puits
- Semelles sur les parois moulées

### VI .3 Chois de type de fondation

Il dépond de :

- La nature du terrain
- Le type de l'ouvrage
- La charge totale transmise au sol
- La facilité et rapidité des exécutions

### VI.4Caractéristique du sol

- La nature des sols : c'est un sol meuble.
- La contraint des admissibles du sol.
- Profond d'ancrage est de 2,5m.

#### VI.5 Chois des fondations :

La surface des semelles doit être inférieure à 50% de la totale surface du bâtiment :

$$\frac{S_s}{S_h} \le 50\%$$

La surface de la semelle donnée par la formule suivante :

$$S_s \ge \frac{N_{ser}}{\overline{\sigma_{sol}}}$$

Avec:

 $N_{ser}$ : Effort normale appliqué sur la fondation

 $\overline{\sigma_{sol}}$ : contraint des admissibles du sol

 $S_s$ : Surface totale des semelles

 $S_b$ : Surface totale du bâtiment

$$N_{ser} = 36789,41KN$$
 
$$\overline{\sigma_{sol}} = 200KN/m^2$$
 
$$S_s \ge \frac{36789,41}{200} = 183,94m^2$$

La surface du bâtiment :

$$S_b = 398,21m^2$$

Donc:

$$\frac{S_s}{S_b} \le 50\%$$

La surface de la semelle ne dépasse pas 50% de la surface totale du bâtiment. Donc on utilise les deux types de semelle :

- Semelle isolée sous poteau
- Semelle filante sous viole

### VI.6 vérification de la Semelle isolée :

$$N_{ser} = 1675,71,KN$$
  
 $N_{u} = 2304,15KN$ 

#### VI.6.1 Dimensionnement de la semelle isolée ELS

• Dimensionnement A et B de la semelle :

La surface de la semelle calculée par la formule suivante :

$$S_s \ge \frac{N_{ser}}{\overline{\sigma_{sol}}}$$

$$S_s \ge \frac{1675,71}{200} = 8,38m^2$$

$$S_s = A \times B$$

Le poteau est carré donc la semelle est carré (A=B).

• Calculer A et B par la relation suivant :

$$A = \sqrt{S_s} = \sqrt{8,38} = 2,89m$$

On adopte:

A=B=3,2m

 $L_{min} = 3.85m$ 

Il faut vérifie  $L_{min} > 1.5 \times B$ 

Donc d'après les résultats on remarque qu'il un chevauchement des semelles isolée.

### VI.7 Semelles Filantes sous poteaux :

#### \* méthode de calcul :

Nous proposons en premier lieu de vérifier la condition suivante qui nous permet de choisir soit des semelles filantes soit un radier général.

La surface des semelles doit être inférieure à 50% de la surface totale du bâtiment:

$$\frac{S_{\text{semelle}}}{S_{\text{batiment}}} < 50\%$$

La surface de la semelle est donnée par :

$$S_{\text{semelle}} \ge \frac{N}{\sigma_{\text{sol}}}$$

- Détermination de la hauteur de la semelle :

$$\frac{L}{9} \le h \le \frac{L}{6}$$

Avec:

L : distance entre les poteaux

 $N = \Sigma N_i$  de chaque file de poteaux

 $S=B \times L$ 

. B : Largeur de la semelle

L : Longueur de la file considérée

 $\overline{\sigma_{sol}}$ : Contrainte du sol

- -La méthode de calcul d'une semelle filante est la même que pour une semelle isolée sauf que le calcul se fait dans un sens : le sens transversal. (On utilise la Méthode de bielle) ;
- Les armatures principales sont les aciers transversaux, les armatures secondaires servent de chainages st d'aciers de répartition ;
- Le calcul du ferraillage est obtenu pour un mêtre de longueur de la semelle, la hauteur est calculée de la même maniéré que pour une semelle isolée ;
- Une semelle est dite continue si B est très petite devant sa longueur, elle doit vérifier la Condition suivante : L/B > 5.

### **Exemple de calcul :**

### A. Détermination de la charge totale transmise par les poteaux :

**Tableau VI. 1 :** Charge due sur la semelle.

Filante	N <sub>ser</sub> (KN)	L (m)	$\overline{\sigma_{sol}}(KN/m^2)$	S (m²)	B (m)	L/B >5
1	1982.77	9.8	200	3.79	1.012	cv
2	3734.94	14.35	200	17.04	1.3	cv
3	4630.04	14.35	200	22.58	1.61	cv
4	5279 .83	14.35	200	14.65	1.84	cv
5	5285.24	14.35	200	9.36	1.84	cv
6	4636.6	14.35	200	9.89	1.62	cv
7	3702.23	14.35	200	15.03	1.3	cv
8	1970.81	9.8	200	22.60	1.005	cv

Note: On va prendre une valeur de B = 1 m

$$B \ge \frac{P_{ser}}{\overline{\sigma_{sol}}}$$

$$S_{semelle} = 156.237 \text{ m}^2$$

$$S_{batiment} = 392.66 \text{ m}^2$$

Le rapport de la surface des semelles par rapport a la surface totale de la structure est de :

$$\frac{156.237}{392.66}$$
 = 0.39 < 50%

Le type des fondations adéquates pour notre structure sera les semelles filantes.

### B. Calcul de la hauteur de la semelle :

La hauteur de la semelle est donnée par la relation : h = d + 0.05

D'où : 
$$d \ge \frac{B-b}{4}$$

B: L'épaisseur de voile.

$$d \ge \frac{100 - 0.6}{4} = 10 \text{cm} \ \rightarrow d \ge 30 \text{ cm}$$

Soit : d = 35 cm h = 40 cm

d: hauteur utile

b : coté du Poteau

C. Vérification du poinçonnement : BAEL91 [Art : A.5.2.4.2]

$$Q_u \leq 0.045 \; x \; h \; x \; u_c \; x \, \frac{f_{c28}}{\gamma_b} \label{eq:Qu}$$

Qu : Charge de calcul à l'ELU

u<sub>c</sub> : Périmètre du contour sur lequel agit la charge

h : hauteur de la semelle filante

Note : La vérification se fait pour le point le plus sollicité du la semelle en effort normal appliqué Par le poteau le plus sollicité.

$$u_c = (a + b + 2 x h) x 2$$

$$u_c = (0.45 + 0.45 + 2 \times 0.4) \times 2 = 4 \text{ m}$$

$$Q_u = 2304.15 \text{ KN} \le 0.045 \text{ x } 0.4 \text{ x } 4 \text{ x } \frac{25}{1.5} = 1200 \text{KN} \dots \text{CNV}$$

- Pour éviter le poinçonnement on va augmenter l'hauteur de la semelle, on va prendre

$$h = 0.7 \text{ m}$$

$$u_c = (0.6 + 0.6 + 2 \times 0.7) \times 2 = 5.2m$$

$$Q_u = 2304.15 \text{ KN} \le 2730 \text{ KN}....\text{CV}$$

### D. Vérification au renversement :

On doit vérifier que : 
$$e = \frac{M}{N} < \frac{B}{4}$$
]; Art : A.10.1.5]

$$M = 179.73$$
 KN.m

$$N = 0.034KN.$$

$$e = 0.034 < 0.25 \dots cv$$

Donc il n'y a pas de risque de renversement.

### VI.7.1 calcul de ferraillage:

### > Ferraillage principale:

N : Effort amené par l'ouvrage sur la semelle.

B : Largeur de la semelle.

d : Hauteur de la semelle moins l'enrobage.

$$A_{s//B}=\,\frac{{\scriptscriptstyle N(B-b)}}{{\scriptscriptstyle 8d\sigma_s}}$$

$$A_{s//B} = \frac{5285.24 \times 10^3 (1000 - 600)}{8 \times 450 \times 348} = 16.87 cm^2$$

Soit : 
$$5HA16 + 5HA16 = 20.10$$
cm<sup>2</sup>.

$$S_t = 15 \text{ cm}$$

### > Ferraillage de répartition :

$$A_r = \frac{20.10}{4} = 5.03 \text{ cm}^2$$

Soit : 
$$6HA12 = 6.79cm^2$$

$$S_t = 20 \text{ cm}$$

### **Schéma du ferraillage :**

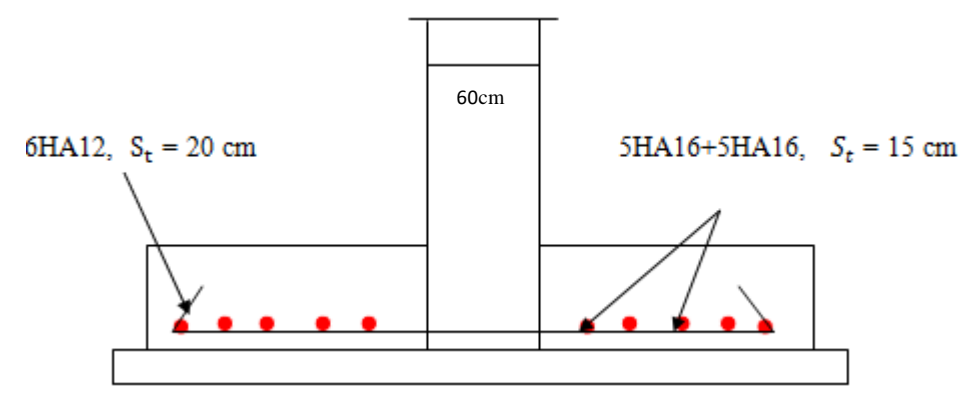


Figure VI.1 : Schéma de ferraillage de la semelle filante sous poteaux.

#### VI.8 Semelle filante sous viole

#### VI.8.1Dimensionnement de la semelle filant ELS

#### Les données

L=4.55m

$$N_{ser} = 1810,9KN$$
$$N_u = 2544,9KN$$

#### • Calculde la largeur B

Dans le sens A il n'y a pas de moment de flexion, donc sera déterminée B pour une semelle filant de section 1m\*B par la méthode des bielles.

La largeur B est déterminée par la condition suivant :

$$B \ge \frac{P_{ser}}{\sigma_{Sol}} \quad \text{et} \quad P_{ser} = \frac{N_{ser}}{L} = \frac{1810.9}{4.55} = 398KN/m$$
 
$$B \ge \frac{398}{200} = 2m$$

Soit:B=2,2m

### • Épaisseur de la semelle

La hauteur de la semelle donnée par la condition :

H=d+0.05

Avec : 
$$d \ge \frac{B-a}{4} = \frac{2,2-0,15}{4} = 0,5m$$

Soit : d=0,65

$$h = d + 5 = 65 + 5 = 70cm$$

### • Poids propre de la semelle

$$P_s = \rho_{b\acute{e}ton} \times S_s \times 1 = 38,5KN$$
 
$$N_{ser\ noveau} = P_{ser} + P_s = 398 + 38,5 = 436,5KN$$

Vérification des dimensions de la semelle :

$$\frac{N_{sernoveau}}{A \times B} \le \sigma_{sol} \xrightarrow[2,2 \times 2,2]{436.5} = 198,41 \text{KN/m}^2 \le \sigma_{sol} = 200 \text{KN/m}^2 \dots \text{CV}$$

### VI.8.2 Ferraillage de la semelle

Le calcul des armatures de la semelle se fera par la méthode des bielles :

La semelle carrée donc le même Ferraillage dans les deux sens :

La formule utiliser pour calcule la section des armatures est :

$$A_s = \frac{N_{u\,nouveau} \times (B-b)}{8d\sigma_s}$$

Avec:

$$N_{u\,nouveau} = \frac{N_u}{L} + 1,35P_s = 611,3KN$$

$$A_s = \frac{611,3 \times 10^3 \times (2000 - 150)}{8 \times 650 \times 348} = 6,24cm^2$$

Soit :  $A_s = 12,06cm^2$  **A<sub>S</sub>=6HA16** 

### Calcul les armatures de répartition

$$A_r = \frac{A_s}{4} = \frac{12,06}{4} = 3,015cm^2$$

Soit: 6HA16=12,06cm<sup>2</sup>

#### • Disposition des barres

$$L_S = \frac{\Phi}{4} \times \frac{f_e}{\tau_u}$$

Avec 
$$\tau_u = 0.6 \Psi^2 f_{t28}$$

 $\Psi = 1, 5 \text{ Pour HA}$ 

$$\tau_u = 0.6 \times 1.5^2 \times 1.2 = 2.835 MPa$$

$$L_s = \frac{1.6}{4} \times \frac{400}{2,835} = 56,44 \text{ cm}$$

$$\frac{B}{4} = \frac{220}{4} = 55cm$$

$$L_S \geq \frac{B}{A}$$

$$L_s \ge \frac{B}{4}$$
  $\searrow$   $L_s = 56,44 \ge \frac{B}{4} = 55cm...$ CV

#### Schéma de ferraillage de la semelle filante :

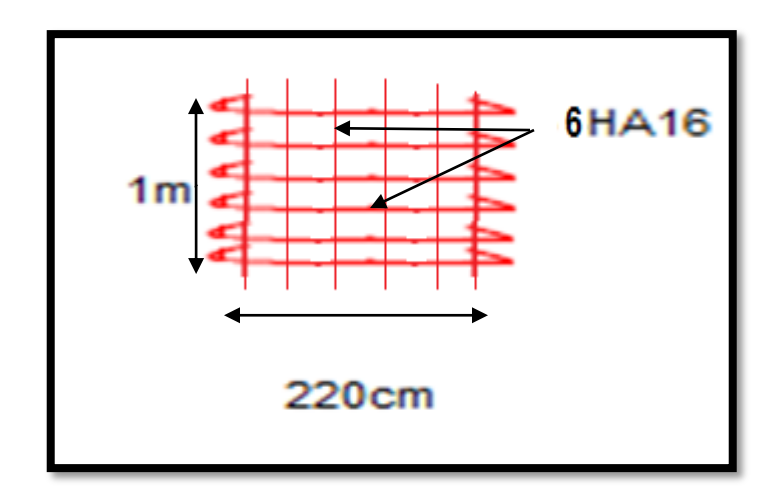


Figure VI.2: Schéma de ferraillage de la semelle filante sous viol.

### VI.9 Longrine

Les longrines sont des poutres relient les poteaux au niveau de l'infrastructure, leurs calcules se fait comme étant une pièce soumise à un moment provenant de la base du poteau et un effort de traction <F>.

### VI.9.1 Dimensionnement de la longrine

Selon [RPA 99] (art.10-1-1), les dimensions minimales de la section transversale des origine sont:

- ✓ (25x30) cm².....sites de catégorie S2, S3
- ✓ (30x30) cm².....site de catégorie S4

Pour des raisons constructives nous adopterons les dimensions suivantes :

b = 60cm

h = 60cm

### VI.9.2 Calcule de ferraillage

### > Armature longitudinale

Les longrines doivent calculées pour résister à la traction sous l'action d'une forces est égale à

$$F = \frac{N_{u(max)}}{\alpha} > 20KN$$

α : Coefficient fonction de la zone sismique et de la catégorie de site considérée.

D'après [RPA99/2003]:

 $\alpha$  = 12 (site S3, zone IIa).

N<sub>u(max)</sub>: L'effort normal ultime du poteau le plus sollicité.

 $N_{u(max)} = 2304.15KN$ 

$$F = \frac{2304.15}{12} = 192.01 \text{ KN} > 20 \text{KN}.$$
 Vérifiée

$$A_s = \frac{F}{\sigma_s} = \frac{192.01 \times 10^3}{348} = 5.51 \text{ cm}^2$$

#### **Etat limite service**

Si la fissuration est considérée comme préjudiciable :

$$\sigma_{\rm a} = \min (2/3f_{\rm e}; 150\eta)$$

 $\eta = 1.6$ 

 $\sigma_a = \min (2/3 \times 400 ; 150 \times 1.6) = 240 \text{ MPa.}$ 

 $N_{ser} = 1675.71 \text{ KN}$ 

$$\sigma_{\rm ser} = \frac{\left(\frac{N_{\rm ser}}{\alpha}\right)}{A_{\rm S}} \le \sigma_{\rm a}$$

$$A_s = \frac{\left(\frac{N_{ser}}{\alpha}\right)}{\sigma_s} = (1675.71 \times 10^3 / 12) / 240 = 5.82 \text{ cm}^2$$

### Vérification de la condition de non fragilité

$$\begin{split} A_{smin} & \geq \frac{0.23 \times b \times d \times f_{t28}}{f_e} = \frac{0.23 \times 60 \times 54 \times 2.1}{400} \\ A_{smin} & = 3.91 cm^2 .....condition vérifiée \end{split}$$

### > Recommandation de [RPA 99 v2003] :

Le ferraillage minimum doit être de 0,6 ½ de la section de béton y compris les armatures longitudinales et les armatures transversales, tel que l'espacement des cadres ne doit pas dépasser le minimum de :

La section d'armature est donnée par les armatures minimales :

 $A=0.6\%\times b\times h$ 

 $A_s = 0.006 \times 60 \times 60 = 21.6 \text{ cm}^2$ 

On adopter:  $A_s = 22.24 \text{ cm}^2 = 6\text{HA}20 + 3\text{HA}12$ 

#### > Armatures transversales :

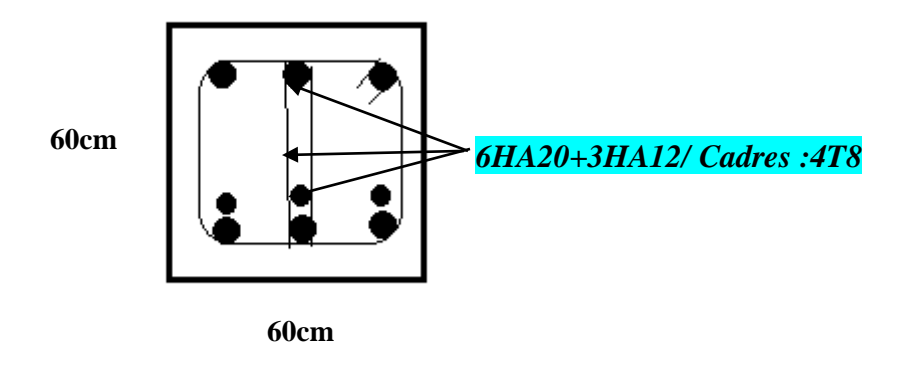
On prend :  $4\phi 8 (A_s = 2.01 \text{ cm}^2)$ 

Avec espacement de:

Espacement :  $S_t \le \min (20 \text{ cm}; 15 \Phi_l)$ .

 $S_t = 20 \text{ cm}$ 

### ✓ Schéma de ferraillage de longrine :



**Figure VI.3:** Schéma de ferraillage de longrine60×60.

### VI.10. Le voile périphérique:

#### VI.10.1. Pré-dimensionnement :

D'après RPA99/2003 (Art 10.1.2) [3], le voile périphérique doit avoir les caractéristiques minimales ci-dessous :

- L'épaisseur du voile doit être supérieure ou égale a 15 cm.
- Les armatures sont constituées de deux nappes.
- Le pourcentage minimal est de 0,10% dans les deux sens horizontal et vertical.
- Les ouvertures dans le voile ne doivent pas réduire sa rigidité d'une manière importante.

On adopte : une épaisseur : e = 16 cm.

La hauteur du voile périphérique : h = 2.5 m.

Longueur du panneau max : L = 5.25 m.

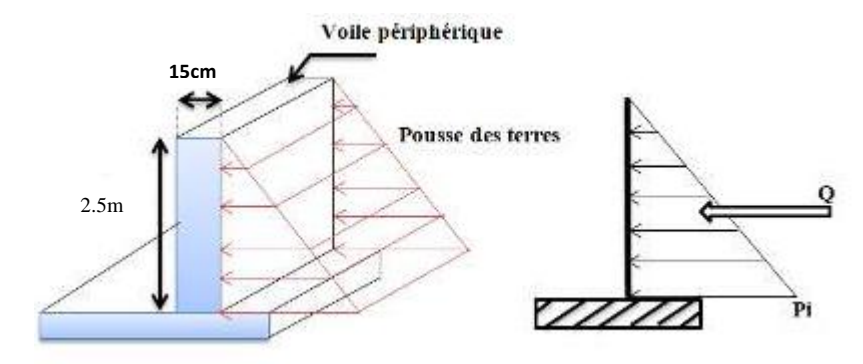
• Caractéristiques du sol :

Poids volumique du remblai: γ=18KN/m3

• Angle de frottement :  $\phi = 30^{\circ}$ 

#### VI.10.2 Evaluation des charges et surcharges :

On prend comme hypothèse pour le calcul des voiles, un encastrement parfait au niveau du massif des fondations et libre a l'autre coté.



FigureVI.4 : Schéma statique d'un voile périphérique.

Les charges exercées sur le voile périphérique sont dues à trois effets principaux :

- Effet de la poussée des terres.
- Effet de surcharge.
- La charge pondérée.
- > Sollicitations:

On  $\partial P_i = \gamma_d \times h \times K_0$ 

Avec : γ<sub>d</sub>: Poids spécifique du remblai.

**K**<sub>0</sub>:Coefficient de poussee (surface horizontale).

h: Hauteur du voile.

$$K_0 = tg^2(45 - \frac{\varphi}{2})$$

$$K_0 = tg^2(45 - \frac{30}{2})$$

$$K_0 = 0.33$$

Donc 
$$P_i = 18 \times 2.5 \times 0.33 = 14.85 KN/m^2$$

### VI.10.3. Calcul du ferraillage:

$$\mathbf{q_u} = 1.35 \times \mathbf{P_i}$$

$$\mathbf{q_u} = 1.35 \times 14.85$$

$$q_{11} = 20.05 \text{ KN/m}^2$$

$$\rho = \frac{L_x}{L_y} = \frac{2.5}{5.25} = 0.48 > 0.4$$
La dalle travaille dans les deux sens.

Le mur sera calcule comme des dalles encastrées sur quatre cotes avec les poteaux et les poutres, et chargées par la poussée des terres ; déterminer les moments unitaires  $\mu_x$ ,  $\mu_y$  L'étude se fait pour le cas d'une dalle uniformément chargée.

Pour le calcul des moments on utilise les dispositions indiquées a l'annexe E3 des règles BAEL91 :

- Le sens de la petite portée :  $M_x = \mu_x \times q_u \times L_x^2$ 

- Le sens de la grande portée :  $M_y = M_x \times \mu_y$ 

Les coefficients  $\mu_a$  et  $\mu_e$  sont fonction de :  $\rho = \frac{L_x}{L_v} et v$ 

Tableaux VI.2 : Valeur de coefficients  $\mu_x$ ,  $\mu_y$  et $\nu$  .

	ELU	ELS
$\mu_{\mathbf{x}}$	0.0994	0.1028
$\mu_{\mathbf{y}}$	0.25	0.3491
N	0	0.2

### > ELU:

$$M_x = \mu_x \times q_u \times L_x^2 = 0.0994 \times 20.05 \times 2.5^2 = 12.45 KN. m$$

$$M_v = M_x \times \mu_v = 12.45 \times 0.25 = 3.11 KN. m$$

### Moments en travée :

$$M_{tx} = 0.75 \times M_x = 0.75 \times 12.45 = 9.34 KN. m$$

$$M_{tv} = 0.85 \times M_v = 0.85 \times 3.11 = 2.64 KN. m$$

### Moments sur appuis :

$$M_{ax} = M_{ay} = 0.5 \times M_x = 0.5 \times 12.45 = 6.23 KN. m$$

Le calcul des armatures se fait à la flexion simple pour une bande de 1m de largeur.

b = 100cm; h=15cm; d=14cm

#### > En travées:

$$\mu_{bu} = \frac{M_{tx}}{f_{bu} \times d^2 \times b} = \frac{9.34 \times 10^6}{14,17 \times 135^2 \times 1000} = 0,036. < \mu l = 0,186 \text{ pivot A}$$

 $\mu_{bu}$ =0,011.<  $\mu$ l =0,392 (les armature comprimée ne sont pas nécessaires)

$$\alpha = 1,25(1-\sqrt{1-2\mu_{bu}})$$

$$\alpha = 0.046$$

$$Z=d \times (1-0,4 \alpha)$$

$$A_s = \frac{M_t}{\sigma_s \times \mathbf{Z}} = \frac{9.34 \times 10^6}{348 \times 132.5} = 2,03 \text{ cm}^2$$

Sens y-y 
$$\mu_{bu} = \frac{M_{tx}}{f_{bu} \times d^2 \times b} = \frac{2.64 \times 10^6}{14,17 \times 135^2 \times 1000} = 0,01 < \mu l = 0,186 \text{ pivot A}$$

 $\mu_{bu}$ =0,01.<  $\mu$ l =0,392 (les armature comprimée ne sont pas nécessaires)

$$\alpha = 1,25(1-\sqrt{1-2\mu_{bu}})$$

$$\alpha = 0.013$$

$$Z = d \times (1-0.4 \alpha)$$

$$A_s = \frac{M_t}{\sigma_s \times \mathbf{Z}} = \frac{2.64 \times 10^6}{348 \times 134.3} = 0,56 \text{cm}^2$$

### ➤ En appuis

$$\mu_{bu} = \frac{M_a}{f_{bu} \times d^2 \times b} = \frac{6.23 \times 10^6}{14,17 \times 135^2 \times 1000} = 0,024 < \mu l = 0,186 \text{ pivot A}$$

 $\mu_{bu}$ =0,024.<  $\mu$ l =0,392 (les armature comprimée ne sont pas nécessaires)

$$\alpha = 1,25(1-\sqrt{1-2\mu_{bu}})$$

$$\alpha = 0.03$$

$$Z=d \times (1-0,4 \alpha)$$

$$A_s = \frac{M_t}{\sigma_s \times \mathbf{Z}} = \frac{6.23 \times 10^6}{348 \times 133.4} = 1,34 \text{ cm}^2$$

#### • Condition non fragilité :'

D'après le BAEL91:

$$A_{min} = 0.001 \times b \times h$$

$$A_{min}=1,5$$
cm<sup>2</sup>

### • Choix d'armatures :

$$A_s = \max(A_{calcule}; A_{\min})$$

Tableau VI.3: Ferraillage de voile périphérique.

Position	En 1	travée	En appui	
Sens	х-х у-у		x-x=y-y	
$A_{calcule}$	2.03	0.56	1.34	
$A_{\min}$	1.5	1.5	1.5	
$\max(A_{calcule}; A_{\min})$	2.03	1.5	1.5	
$A_{ m adpt}$	4HA10=3.14	4HA10=3.14	4HA10=3.14	

### **\*** Espacement :

#### Sens x-x:

 $s_{\rm t} \leq \min(2e; 25)$ 

 $s_{\rm t} \leq \min(2 \times 15; 25)$ 

On prend  $s_t$ =20cm

### Sens y-y:

 $s_{\rm t} \leq \min(3e; 33cm)$ 

 $s_t \le \min(3 \times 15; 25)$ 

On prend  $s_t$ =20cm

#### **❖** Vérification de l'effort tranchant :

Les armatures transversales ne sont pas nécessaires si la condition ci-dessous est vérifiée.

$$\tau_u = \frac{T_u}{b \times d} \le \bar{\tau} = 0.05 f_{c28} = 1.25 \text{MPa}$$

$$T_u^x = \frac{q_u \times L_x \times L_y}{2 \times L_x \times L_y}$$

$$T_u^x = \frac{20.05 \times 2.5 \times 5.25}{2 \times 2.5 \times 5.25} = 25.67 KN$$

$$T_u^y = \frac{q_u \times L_x}{3}$$

$$T_u^y = \frac{20.05 \times 2.5}{3} = 16.713KN$$

$$T_u^{max} = \max(T_u^x; T_u^y)$$

$$T_u^{max} = \max(25.67; 16.713)$$

$$T_{y}^{max} = 25.67KN$$

$$\tau_u = \frac{T_u}{b \times d} = \frac{25.67}{1000 \times 135} = 0.19 MPa \le \bar{\tau} = 1.25 MPa$$
 ......CV

### **&** ELS

$$M_x = \mu_x \times q_{ser} \times L_x^2 = 0.1028 \times 14.85 \times 2.5^2 = 9.54 KN. m$$

$$M_v = M_x \times \mu_v = \times 0.3491 = 3.33$$
KN. m

### Moments en travée :

$$M_{tx} = 0.75 \times M_x = 0.75 \times 9.54 = 7.155 KN. m$$

$$M_{ty} = 0.85 \times M_y = 0.85 \times 3.33 = 2.831 KN. m$$

### Moments sur appuis :

$$M_{ax} = M_{ay} = 0.5 \times M_x = 0.5 \times 9.54 = 4.77 KN. m$$

### • Vérification à LES:

### Vérification des contraintes de béton :

$$\sigma_{\mathrm{bc}} = \frac{M_s \times y}{I} \le \overline{\sigma_{bc}} = 0.6 f_{c28}$$

$$\overline{\sigma_{bc}} = 0.6 f_{c28} = 0.6 \times 25 = 15 \text{MPa}$$

### **\*** En travée :

#### Sens x-x:

$$M_{tx} = 7.155KN.m$$
;  $A_s = 3.14cm^2$ 

La position des l'axe neutres :

$$\frac{1}{2}b \times y^2 \times n \times (y-c) \times A'_s - n \times A_s(d-y) = 0$$

Avec n=15 
$$A'_{s} = 0$$

$$\frac{1}{2}100 \times y^2 \times n \times (y-c) \times A'_s - n \times A_s(d-y) = 0$$

$$50 \times y^2 - 15 \times 3.14(13.5 - y) = 0$$

$$50 \times y^2 + 47.1y - 635.85 = 0$$

$$\sqrt{\Delta}$$
= 359.71

$$y = 3.13cm$$

### > Moment d'inertie :

$$I = \frac{1}{3}100 \times y^{3} + n \times (d - y) \times A'_{s} + n \times A_{s}(d - y)^{2}$$

$$I = \frac{1}{3}100 \times 3.13^3 + 15 \times 3.14(13.5 - 3.13)^2$$

 $I=6087.13cm^4$ 

$$\sigma_{bc} = \frac{M_S \times y}{I} = \frac{7.155 \times 10^6 \times 31.3}{6087.13 \times 10^4} = 3.68 < 15 MPa$$
 ......CV

#### Sens y-y

$$M_{tY} = 2.831KN.m$$
;  $A_s = 3.14cm^2$ 

La position des l'axe neutres :

$$\frac{1}{2}b \times y^2 \times n \times (y-c) \times A_s' - n \times A_s(d-y) = 0$$

$$A_{s}' = 0$$

$$\frac{1}{2}100 \times y^2 \times n \times (y-c) \times A_s' - n \times A_s(d-y) = 0$$

$$50 \times y^2 - 15 \times 3.14(13.5 - y) = 0$$

$$50 \times y^2 + 47.1y - 635.85 = 0$$

$$\sqrt{\Delta}$$
= 359.71

y=3.13cm

### Moment d'inertie :

$$I = \frac{1}{3}100 \times y^{3} + n \times (d - y) \times A'_{s} + n \times A_{s}(d - y)^{2}$$

$$I = \frac{1}{3}100 \times 3.13^3 + 15 \times 3.14(13.5 - 3.13)^2$$

 $I=6087.13cm^4$ 

$$\sigma_{\rm bc} = \frac{M_s \times y}{I} = \frac{2.831 \times 10^6 \times 31.3}{6087.13 \times 10^4} = 1.45 MPa < 15 MPa \dots CV$$

### En appui:

$$M_a = 4.77KN.m$$
;  $A_s = 3.14cm^2$ 

La position des l'axe neutres :

$$\frac{1}{2}b \times y^2 \times n \times (y-c) \times A_s' - n \times A_s(d-y) = 0$$

Avec n=15 
$$A'_s = 0$$

$$\frac{1}{2}100 \times y^2 \times n \times (y-c) \times A_s' - n \times A_s(d-y) = 0$$

$$50 \times y^2 - 15 \times 3.14(13.5 - y) = 0$$

$$50 \times y^2 + 47.1y - 635.85 = 0$$

$$\sqrt{\Delta}$$
= 359.71

y = 3.13cm

#### Moment d'inertie :

$$I = \frac{1}{3}100 \times y^{3} + n \times (d - y) \times A'_{s} + n \times A_{s}(d - y)^{2}$$

$$I = \frac{1}{3}100 \times 3.13^3 + 15 \times 3.14(13.5 - 3.13)^2$$

 $I=6087.13cm^4$ 

$$\sigma_{\rm bc} = \frac{M_s \times y}{I} = \frac{4.77 \times 10^6 \times 31.3}{6087.13 \times 10^4} = 2.45 MPa < 15 MPa \dots CV$$

# Vérification des contraintes au niveau d'acier :

 $\sigma_{\rm s} \leq \bar{\sigma_{\rm s}}$ 

$$\sigma_{\rm s} = \frac{n \times M_{\rm s} \times (d-y)}{I} \le \overline{\sigma_{\rm s}} = \min(\frac{2}{3}f_e; 110\sqrt{\eta f_{c28}})$$

Avec :  $\eta = 1.6$  : la fissuration est préjudiciable

$$\overline{\sigma}_s = \min(266.66; 201.63)$$

 $\bar{\sigma}_{\rm s} = 201.66 \text{MPa}$ 

$$\sigma_{\rm S} = \frac{n \times M_{\rm S} \times (d - y)}{I} = \frac{17 \times 7.155 \times 10^6 (135 - 31.2)}{6087.13 \times 10^4} = 183.01 \text{MPa}$$

$$\sigma_s = 183.01 \text{MPa} < \overline{\sigma_s} = 201.63 \text{MPa} \dots \text{CV}$$

Tableau VI.4 : Vérification des contraintes au niveau d'acier.

Position	Sens	$M_{s}$	$\sigma_{ m s}$	$\overline{\sigma_{\scriptscriptstyle S}}$	$\sigma_{\rm s} \leq \overline{\sigma_{\rm s}}$
Travée	Sens x-x	7.155	183.01	201.63	CV
	Sens y-y	2 .831	72.34	201.63	CV
Appui	Sens x-x	4.77	121.01	201.63	CV
	Sens y-y				

### Schéma de ferraillage :

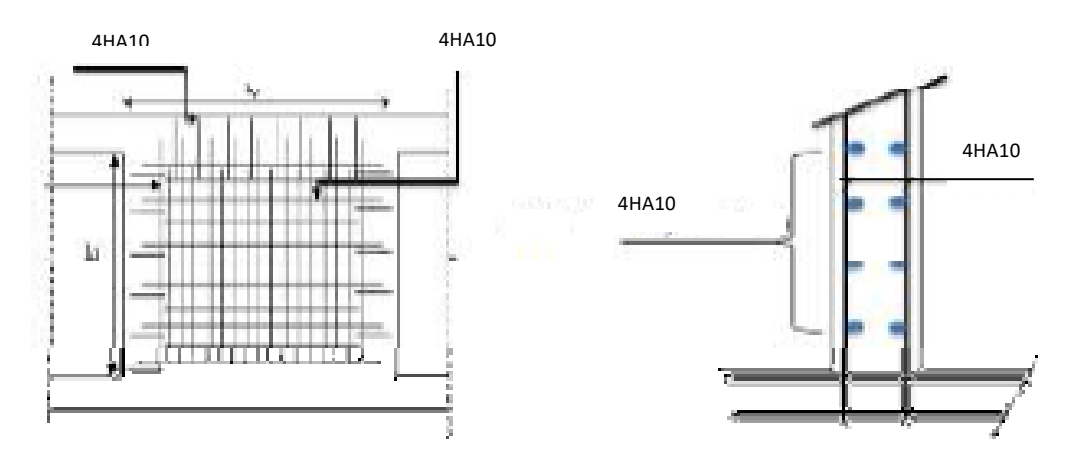
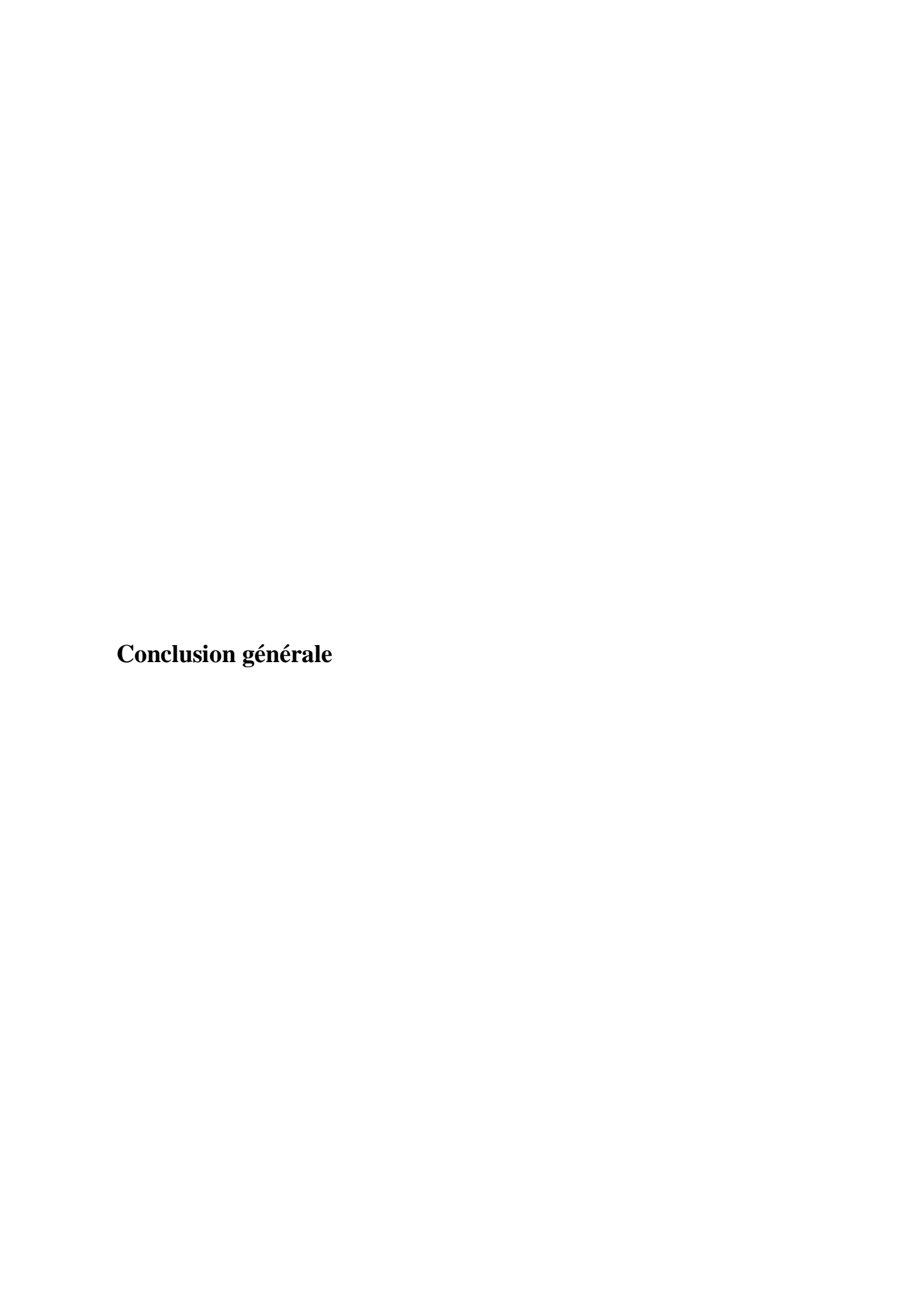


Figure VI.5: Schéma de ferraillage du voile périphérique.

### VI.11. Conclusion

L'étude de l'infrastructure composée une étape très importante dans le calcul de la structure. Le choix de la fondation dépend de plusieurs paramètres liés aux caractéristiques du sol, et les caractéristiques géométriques de la structure.

Pour notre structure le type de fondation choisie est semelle semelle filante. Le ferraillage adopté a été vérifié et s'est avéré satisfaisant.



### Conclusion générale

Ce projet de fin d'étude, nous a beaucoup aidé à mettre en pratique toutes nos connaissance sacquises durant notre cycle de formation d'ingénieur, d'approfondir nos connaissances en basantsur les documents techniques et même d'application des règlements et de certaines méthodes, demettre en évidence quelques principes de base qui doivent être pris en considération dans laconception des structures en portiques contreventée par voiles.

D'après l'étude qu'on a faite, il convient de signaler que pour la conception parasismique, il esttrès important que l'ingénieur civil et l'architecte travaillent en étroite collaboration dès le début deprojet pour éviter toutes les conceptions insuffisantes et pour arriver à une sécurité parasismiqueréalisée sans surcoût important.

Notons qu'à la fin de ce projet qui constitue pour nous une première expérience, quel'utilisation de l'outil informatique pour l'analyse et le calcul des structures est très bénéfique entemps et en effort à condition de maîtriser les notions de bases des sciences de l'ingénieur, ainsi queles logiciels « robot et autoCAD » lui mêmes.



## Références Bibliographiques

#### **REGLEMENT:**

- Règles parasismiques Algérien RPA99V2003.
- Règles de conception et calcul des structures en béton armé CBA93.
- Règles de calcul de béton armé aux états limite BAEL91.
- Charges permanentes et charges d'exploitation D.T.R.C 2.2.

#### **COURS**

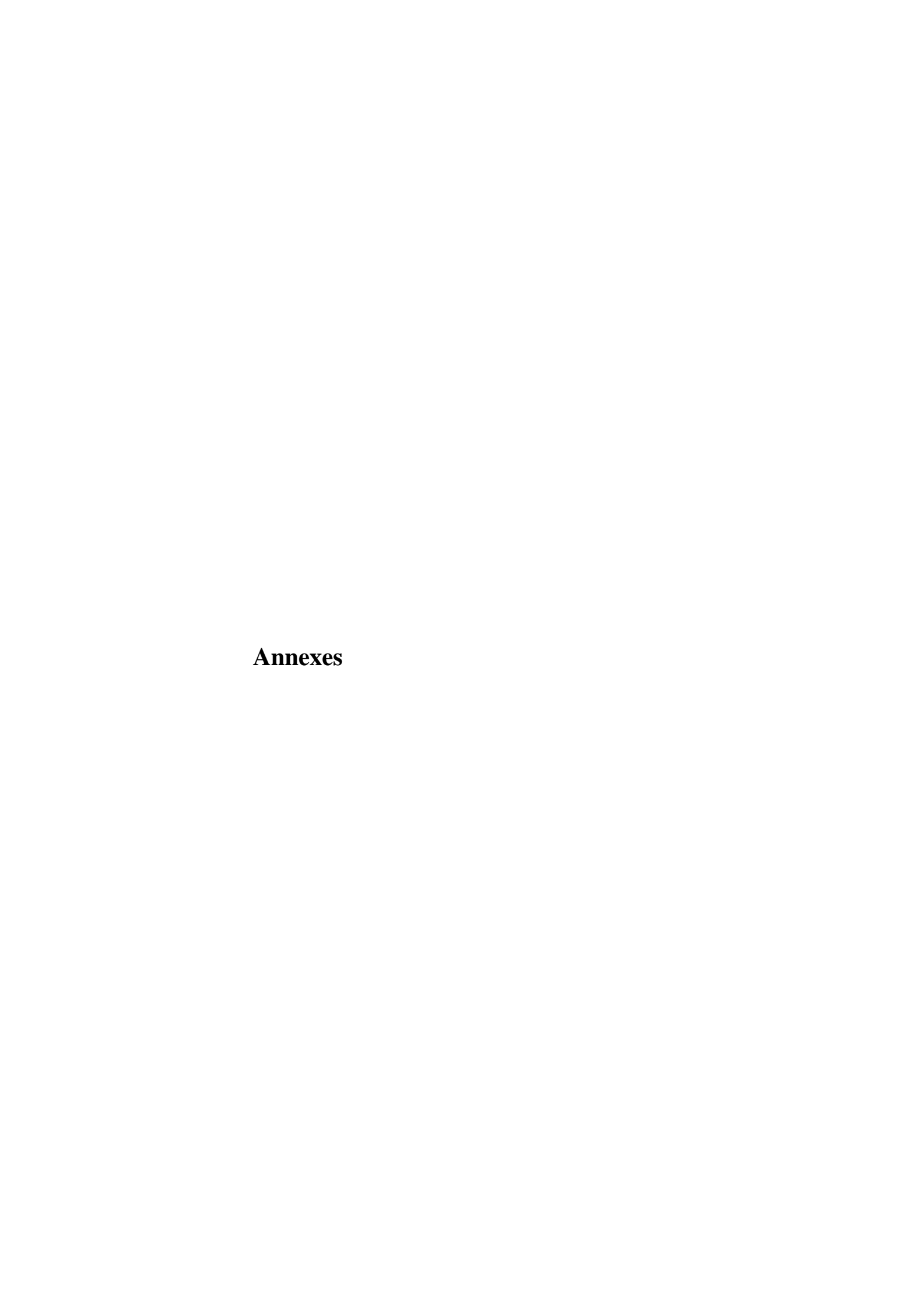
- Génie parasismique (master2G.C).
- Cour béton armé (3<sup>eme</sup> année).

#### Thèse

- Etude d'unBâtiment R+7 de contreventement mixte à usage d'habitation 2019
- Etude d'unBâtiment R+8 usages d'habitation (SYSTEME PORTIQUE CONTREVENTE PAR VOILE) 2019

### Logiciels

- Logiciel ROBOT structure analysais 2014.
- Word 2007



# Annexes

Annexe 1 : Sections en  $(cm^2)$  de N armatures de diamètre  $\phi$  en (mm).

φ:	5	6	8	10	12	14	16	20	25	32	40
1	0.20	0.28	0.50	0.79	1.13	154	2.01	3.14	4.91	8.04	12.57
2	0.39	0.57	1.01	1.57	2.26	3.08	4.02	6.28	9.82	16.08	25.13
3	0.59	0.85	1.51	2.36	3.39	4.62	6.03	9.42	14.73	24.13	37.70
4	0.79	1.13	2.01	3.14	4.52	6.16	8.04	12.57	19.64	32.17	50.27
5	0.98	1.41	2.51	3.93	5.65	7.70	10.05	15.71	24.54	40.21	62.83
6	1.18	1.70	3.02	4.71	6.79	9.24	12.06	18.85	29.45	48.25	75.40
7	1.37	1.98	3.52	5.50	7.92	10.78	14.07	21.99	34.36	56.30	87.96
8	1.57	2.26	4.02	6.28	9.05	12.32	16.08	25.13	39.27	64.34	100.53
9	1.77	2.54	4.52	7.07	10.18	13.85	18.10	28.27	44.18	72.38	113.10
10	1.96	2.83	5.03	7.85	11.31	15.39	20.11	31.42	49.09	80.42	125.66
11	2.16	3.11	5.53	8.64	12.44	16.93	22.12	34.56	54.00	88.47	138.23
12	2.36	3.39	6.03	9.42	13.57	18.47	24.13	37.70	58.91	96.51	150.8
13	2.55	3.68	6.53	10.21	14.70	20.01	26.14	40.84	63.81	104.55	163.36
14	2.75	3.96	7.04	11.00	15.83	21.55	28.15	43.98	68.72	112.59	175.93
15	2.95	4.24	7.54	11.78	16.96	23.09	30.16	47.12	73.63	120.64	188.5
16	3.14	4.52	8.04	12.57	18.10	24.63	32.17	50.27	78.54	128.68	201.06
17	3.34	4.81	8.55	13.35	19.23	26.17	34.18	53.41	83.45	136.72	213.63
18	3.53	5.09	9.05	14.14	2036	27.71	36.19	56.55	88.36	144.76	226.2
19	3.73	5.37	9.55	14.92	21.49	29.25	38.20	59.69	93.27	152.81	238.76
20	3.93	5.65	10.05	15.71	22.62	30.79	40.21	62.83	98.17	160.85	251.33

Annexe 2: Dalles rectangulaires uniformément chargées articulées sur leur contour.

$\alpha = Lx / Ly$	ELU $v = 0$		<b>ELS</b> $v = 0.2$			
	μх	μу	μх	μу		
0.40	0.1101	0.2500	0.0121	0.2854		
0.41	0.1088	0.2500	0.1110	0.2924		
0.42	0.1075	0.2500	0.1098	0.3000		
0.43	0.1062	0.2500	0.1087	0.3077		
0.44	0.1049	0.2500	0.1075	0.3155		
0.45	0.1036	0.2500	0.1063	0.3234		
0.46	0.1022	0.2500	0.1051	0.3319		
0.47	0.1008	0.2500	0.1038	0.3402		
0.48	0.0994	0.2500	0.1026	0.3491		
0.49	0.0980	0.2500	0.1013	0.3580		
0.50	0.0966	0.2500	0.1000	0.3671		
0.51	0.0951	0.2500	0.0987	0.3758		
0.52	0.0937	0.2500	0.0974	0.3853		
0.53	0.0922	0.2500	0.0961	0.3949		
0.54	0.0908	0.2500	0.0948	0.4050		
0.55	0.0894	0.2500	0.0936	0.4150		
0.56	0.0880	0.2500	0.0923	0.4254		
0.57	0.0865	0.2582	0.0910	0.4357		
0.58	0.0851	0.2703	0.0897	0.4456		
0.59	0.0836	0.2822	0.0884	0.4565		
0.60	0.0822	0.2948	0.0870	0.4672		
0.61	0.0808	0.3075	0.0857	0.4781		
0.62	0.0794	0.3205	0.0844	0.4892		
0.63	0.0779	0.3338	0.0831	0.5004		
0.64	0.0765	0.3472	0.0819	0.5117		
0.65	0.0751	0.3613	0.0805	0.5235		
0.66	0.0737	0.3753	0.0792	0.5351		
0.67	0.0723	0.3895	0.0780	0.5469		
0.68	0.0710	0.4034	0.0767	0.5584		
0.69	0.0697	0.4181	0.0755	0.5704		
0.70	0.0684	0.4320	0.0743	0.5817		
0.71	0.0671	0.4471	0.0731	0.5940		
0.72	0.0658	0.4624	0.0719	0.6063		
0.73	0.0646	0.4780	0.0708	0.6188		
0.74	0.0633	0.4938	0.0696	0.6315		
0.75	0.0621	0.5105	0.0684	0.6447		
0.76	0.0608	0.5274	0.0672	0.6580		
0.77	0.0596	0.5440	0.0661	0.6710		
0.78	0.0584	0.5608	0.0650	0.6841		
0.79	0.0573	0.5786	0.0639	0.6978		
0.80	0.0561	0.5959	0.0628	0.7111		
0.81	0.0550	0.6135	0.0617	0.7246		
0.82	0.0539	0.6313	0.0607	0.7381		
0.83	0.0528	0.6494	0.0956	0.7518		
0.84	0.0517	0.6678	0.0586	0.7655		
0.85	0.0506	0.6864	0.0576	0.7794		
0.86	0.0496	0.7052	0.0566	0.7932		
0.87	0.0486	0.7244	0.0556	0.8074		
0.88	0.0476	0.7438	0.0546	0.8216		
0.89	0.0466	0.7635	0.0537	0.8358		
0.90	0.0456	0.7834	0.0528	0.8502		
0.91	0.0447	0.8036	0.0518	0.8646		
0.92	0.0437	0.8251	0.0509	0.8799		
0.93	0.0428	0.8450	0.0500	0.8939		
0.94	0.0419	0.8661	0.0491	0.9087		
0.95	0.0410	0.8875	0.0483	0.9236		
0.96	0.0401	0.9092	0.0474	0.9385		
0.97	0.0392	0.9322	0.4065	0.9543		
0.98	0.0384	0.9545	0.0457	0.9694		
0.99	0.0376	0.9771	0.0449	0.9847		
1.00	0.0368	1.0000	0.0441	0.1000		